

การศึกษาความเป็นไปได้ของการเรือสังกะสีและทองแดงในผลีก
ไตรภาคีชั้นชัลเพต

ศิริพร พิมพ์โสดา¹
สาลินี สันวัง²

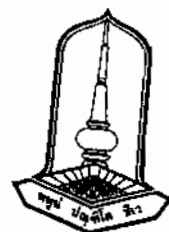
เสนอต่อมหาวิทยาลัยมหาสารคาม เพื่อเป็นส่วนหนึ่งของการศึกษาตามหลักสูตร
วิทยาศาสตรบัณฑิต สาขารัฐศาสตร์
เมษายน 2557
ลิขสิทธิ์เป็นของมหาวิทยาลัยมหาสารคาม

**FEASIBILITY STUDY OF DOPING ZINC AND COPPER INTO
TRIGLYCINE SULPHATE**

**SIRIPORN PIMSODA
SALINEE SUNWANG**

**PRESENTED IN PARTIAL FULFILLMENT OF REQUIREMENTS FOR
THE BACHELOR OF SCIENCE IN PHYSICS
APRIL 2014**

ALL RIGHTS RESERVED BY MAHASARAKHAM UNIVERSITY



คณะกรรมการสอบปริญญาบัณฑิต ได้พิจารณาปริญญาบัณฑิตของ นางสาวศิริพร พิมพ์โสดา และ นางสาวสาลินี สันวัง และเห็นสมควรรับเป็นส่วนหนึ่งของการศึกษาด้านหลักสูตรปริญญาตรี สาขาวิชาพลังก์ มหาวิทยาลัยมหาสารคาม

คณะกรรมการสอบปริญญาบัณฑิต

(ผู้ช่วยศาสตราจารย์ ดร. อรุรวรรณ ฤทธิเดช) ประธานกรรมการ

(อาจารย์ ดร. ปวีณา เหลาภูล) กรรมการ

(อาจารย์ ดร. สุชาติ โอบุคลัง) กรรมการและอาจารย์ที่ปรึกษาร่วม

(อาจารย์ ดร. ศุภชัย ฤทธิ์เจริญวงศ์) กรรมการและอาจารย์ที่ปรึกษา

(อาจารย์ ดร. ปวีณา เหลาภูล)

ประธานหลักสูตรสาขาวิชาพลังก์

(อาจารย์ ดร. นิติศักดิ์ ปางจะะ)

หัวหน้าภาควิชาพลังก์

วันที่ 10 เดือน เมษายน พ.ศ. 2557



กิตติกรรมประกาศ

โครงการพิสิกส์เรื่องนี้สำเร็จลุล่วงได้ด้วยดี ด้วยคำแนะนำและความช่วยเหลือจากอาจารย์ที่ปรึกษา ดร.ศุภชัย ฤทธิ์เจริญวัฒนา อาจารย์ที่ปรึกษาร่วม ดร.สุชาติ โوخศักดิ์ และ หัวหน้าภาควิชาพิสิกส์ ดร.นิติศักดิ์ ปาสาจะ ที่ช่วยสนับสนุนการจัดทำโครงการครั้นนี้ตลอดจนอาจารย์ประจำภาควิชาพิสิกส์ทุกท่าน ที่ให้ความรู้และคำแนะนำต่างๆ ผู้ทำโครงการจึงขอขอบพระคุณเป็นอย่างสูง

ขอขอบพระคุณ อาจารย์ ดร.อุฐธรี เจริญอินทร์ อาจารย์ที่ช่วยทำการวัดหาคุณสมบัติของผลึก และให้ความรู้แนะนำผู้ทำโครงการนี้ให้มีแนวทางในการทำโครงการที่ถูกต้องและสำเร็จลงได้

ขอขอบพระคุณภาควิชาพิสิกส์และศูนย์เครื่องมือกลาง คณะวิทยาศาสตร์ มหาวิทยาลัยมหาสารคาม สาขาวิชาพิสิกส์ สำนักวิชาวิทยาศาสตร์ มหาวิทยาลัยเทคโนโลยีสุรนารี ที่เอื้ออำนวยความสะดวกและให้การช่วยเหลือในด้านเครื่องมือวัดต่างๆ

ขอขอบคุณเพื่อนร่วมงานทุกท่านที่มีส่วนเกี่ยวข้องในการให้ความช่วยเหลือและให้คำปรึกษาในสิ่งที่เป็นองค์ความรู้ และให้กำลังใจส่งผลให้โครงการนี้สำเร็จลุล่วงไปได้ด้วยดี

ขอขอบพระคุณ ปิดา มารดา และญาติพี่น้องที่คอยสนับสนุนด้านการศึกษามาโดยตลอด สุดท้ายนี้ขอขอบคุณงามความดีของโครงการแฉผู้ที่มีส่วนเกี่ยวข้องทุกท่านที่ทำให้โครงการนี้สำเร็จและหวังว่าโครงการนี้จะเป็นประโยชน์สำหรับผู้ที่สนใจในด้านการปลูกผักต่อไป

ศิริพร พิมพ์โสดา
สาวิณี สันวัง

ชื่อเรื่อง	การศึกษาความเป็นไปได้ของการเจือสังกะสีและทองแดงในผลึก ไตรไกลซินชัลเฟต	
ผู้วิจัย	นางสาวศรีพร พิมพ์โสดา และ นางสาวสาลินี สันวัง	
ปริญญา	วิทยาศาสตรบัณฑิต (วท.บ.) สาขา ฟิสิกส์	
อาจารย์ที่ปรึกษา	อาจารย์ ดร.ศุภชัย ฤทธิ์เจริญวัฒนา	
อาจารย์ที่ปรึกษาร่วม	อาจารย์ ดร.สุชาติ โอะคลัง	
มหาวิทยาลัย	มหาวิทยาลัยมหาสารคาม	ปีที่พิมพ์ 2557

บทคัดย่อ

ผลึกไตรไกลซินชัลเฟต (TGS) เป็นผลึกที่มีคุณสมบัติที่โดดเด่นหลายด้าน แต่อย่างไรก็ตาม คุณสมบัติดังกล่าวไม่สามารถปรับเปลี่ยนได้ด้วยเงื่อนไขการปลูกผลึก ทำให้มีข้อจำกัดในการนำไปประยุกต์ใช้งาน ดังนั้น ในโครงการนี้จึงมีวัตถุประสงค์เพื่อที่จะศึกษาความเป็นไปได้ในการเจือผลึก TGS ด้วยทองแดง (Cu) และ สังกะสี (Zn) ซึ่งมีความเป็นไปได้ที่จะส่งผลต่อสมบัติทางกายภาพของ ผลึก TGS จากการศึกษา พบว่า สามารถปลูกผลึก TGS ที่เจือด้วย Cu และ Zn โดยผลการวิเคราะห์ ด้วย FT-IR ยืนยันว่า ผลึกที่ถูกเจือด้วย Cu และ Zn มีไม่แตกต่างไตรไกลซินชัลเฟตเป็นองค์ประกอบ พื้นฐาน แต่อย่างไรก็ตาม ผลการวิเคราะห์ด้วย XRD แสดงให้เห็นว่าการเจือด้วย Zn ไม่ส่งผลต่อ ลักษณะโครงสร้างของผลึก TGS ในขณะที่การเจือด้วย Cu ส่งผลกระทบต่อโครงสร้างของผลึก TGS อย่างมีนัยสำคัญ แม้ว่าโครงสร้างที่เกิดขึ้นจะแสดงลักษณะของผลึกในกลุ่มโมโนคลินิกเช่นเดียวกับ ผลึก TGS บริสุทธิ์ แต่นาดของหน่วยเซลล์มีขนาดใหญ่กว่าผลึก TGS บริสุทธิ์ ซึ่งลักษณะที่เกิดขึ้น แสดงความเป็นไปได้ที่การเจือด้วย Cu จะทำให้ TGS มีสมบัติทางกายภาพแตกต่างจากผลึก TGS บริสุทธิ์ แต่อย่างไรก็ตาม ต้องทำการศึกษาผลการเจือที่ความเข้มข้นสูง และศึกษาสมบัติทางกายภาพ ของผลึกที่ถูกเจือต่อไป

คำสำคัญ : ผลึก TGS บริสุทธิ์, ผลึก TGS เจือด้วย Cu, ผลึก TGS เจือด้วย Zn

TITLE	Feasibility study of doping zinc and copper into triglycine sulphate	
AUTHORS	Siriporn Pirmsoda and Salinee Sunwang	
DEGREE	Faculty of Science	MAJOR Physics
ADVISOR	Dr. Supachai Ritjareonwattu	
CO-ADVISOR	Dr. Suchart Osaklang	
UNIVERSITY	Mahasarakham University	DATE 2014

ABSTRACT

Triglycine sulphate (TGS) possesses some prominent properties. However, those properties cannot be changed by changing some growth conditions. The aim of this project is thus to study the potential of copper and zinc as the dopant of TGS. With their characteristics, they show a great potential to influence some physical properties of TGS crystals. Experimentally, it was successful to dope some copper or zinc ions into the TGS single crystal. The FT-IR spectra show that both Cu and Zn doped crystals composed of triglycine sulphate molecules. Additionally, the XRD results show that the copper dopant may have a significant influence on the TGS structure, while the zinc did not show any effect on the structure. Like the pure TGS, the crystal doped with Cu or Zn were belonged to the monoclinic family. The unit cell of the crystal with the copper dopant was larger than that of the pure TGS. In essence, the copper dopant showed some potential to improve some physical properties of TGS crystals. Nonetheless, some further studies are needed to investigate the influence of these dopants.

Key Words : Pure TGS, TGS doped Cu, TGS doped Zn

สารบัญ

	หน้า
กิตติกรรมประกาศ	ก
บทคัดย่อภาษาไทย	ข
บทคัดย่อภาษาอังกฤษ	ค
สารบัญ	ง
สารบัญตาราง	ช
สารบัญภาพประกอบ	ซ
บทที่ 1 บทนำ	1
1.1 ที่มาและความสำคัญ	1
1.2 วัตถุประสงค์	1
1.3 ขอบเขตของโครงการ	2
1.4 สถานที่ทำงาน	2
1.5 ประโยชน์ที่ได้รับ	2
บทที่ 2 ปริทัศน์เอกสารข้อมูล	3
2.1 ผลึก	3
2.1.1 โครงสร้างผลึก	3
2.1.2 ตำแหน่งเซลล์หน่วย	4
2.1.3 ทิศทางในเซลล์หน่วย	5
2.1.4 ระบบในเซลล์หน่วย	6
2.2 วิธีปลูกผลึกจากสารละลาย	6
2.2.1 เทคนิคการปลูกผลึกจากสารละลาย	6
2.2.2 สารเคมี	7
2.3 การวิเคราะห์สมบัติของผลึก	8
2.3.1 เทคนิคการเลี้ยวเบนรังสีเอกซ์	8
2.3.2 เทคนิคการวิเคราะห์โดย FT-IR	11
2.3.3 การวิเคราะห์ด้วยอย่างด้วยเทคนิคการดูดกลืนรังสีเอกซ์	12
2.3.4 การวิเคราะห์เชิงความร้อน	14
บทที่ 3 วิธีดำเนินการวิจัย	16
3.1 อุปกรณ์และสารเคมี	16
3.2 การทดลองเบื้องต้น	17



สารบัญ (ต่อ)

	หน้า
3.2.1 การศึกษาปัจจัยพื้นที่ผิวนเปิด	17
3.2.2 การศึกษาปัจจัยขนาดพื้นที่ของสารละลายน้ำ	18
3.2.3 การศึกษาปัจจัยตำแหน่งของพื้นที่ผิวนเปิด	18
3.3 ขั้นตอนการปลูกพลักจากสารละลายน้ำ	20
3.3.1 การปลูกพลัก TGS เพื่อรีคริสตอลไอลเซ็น	20
3.3.2 การรีคริสตอลไอลเซ็นพลัก TGS	20
3.4 ขั้นตอนการวิเคราะห์ผล	22
3.4.1 การวิเคราะห์หมู่พังก์ชันพลัก	22
3.4.2 การศึกษาการเลี้ยวเบน	22
3.4.3 การศึกษาเชิงความร้อน	22
3.4.4 การศึกษาการดูดกลืนของรังสีเอกซ์	23
บทที่ 4 ผลการวิจัยและการอภิปรายผลของผลลัพธ์ TGS บริสุทธิ์	24
4.1 ผลการทดลองเบื้องต้น	24
4.1.1 ผลการศึกษาปัจจัยพื้นที่ผิวนเปิด	24
4.1.2 ผลการศึกษาปัจจัยขนาดพื้นที่ของสารละลายน้ำ	27
4.1.3 ผลการศึกษาปัจจัยตำแหน่งของพื้นที่ผิวนเปิด	28
4.2 ผลการรีคริสตอลไอลเซ็นพลัก TGS	29
4.3 ผลของการปลูกพลัก TGS บริสุทธิ์ และอภิปรายผล	29
4.3.1 การวิเคราะห์หมู่พังก์ชันพลัก TGS บริสุทธิ์	30
4.3.2 การศึกษาการเลี้ยวเบนรังสีเอกซ์ของผลลัพธ์ TGS บริสุทธิ์	33
4.3.3 เทคนิคการวิเคราะห์เชิงความร้อนของผลลัพธ์ TGS บริสุทธิ์	35
4.4 ผลการวิจัยและการอภิปราย ของผลลัพธ์ TGS ที่เจือด้วย Cu	37
4.4.1 การวิเคราะห์หมู่พังก์ชันของผลลัพธ์ TGS ที่เจือด้วย Cu	37
4.4.2 การศึกษาการเลี้ยวเบนรังสีเอกซ์ของผลลัพธ์ TGS ที่เจือด้วย Cu	39
4.4.3 เทคนิคการวิเคราะห์เชิงความร้อนของผลลัพธ์ TGS ที่เจือด้วย Cu	42
4.4.4 การศึกษาการดูดกลืนรังสีเอกซ์ของผลลัพธ์ TGS ที่เจือด้วย Cu	43
4.5 ผลการวิจัยและการอภิปราย ของผลลัพธ์ TGS ที่เจือด้วย Zn	44
4.5.1 การวิเคราะห์หมู่พังก์ชันพลักของผลลัพธ์ TGS ที่เจือด้วย Zn	44

สารบัญ (ต่อ)

	หน้า
4.5.2 การศึกษาการเลี้ยวเบนรังสีเอกซ์ของผลึก TGS ที่เจือด้วย Zn	46
4.5.3 เทคนิคการวิเคราะห์เชิงความร้อน	49
4.5.4 การศึกษาการดูดกลืนรังสีเอกซ์	50
บทที่ 5 สรุปผลการทดลองและข้อเสนอแนะ	52
5.1 สรุปผลการทดลองผลึก TGS บริสุทธิ์	52
5.2 สรุปผลการทดลองผลึก TGS ที่ถูกเจือด้วย Cu	52
5.3 สรุปผลการทดลองผลึก TGS ที่ถูกเจือด้วย Zn	53
5.4 ปัญหาจากการทดลองและข้อเสนอแนะ	54
เอกสารอ้างอิง	55
ภาคผนวก	58
ประวัติย่อผู้เขียน	70



สารบัญตาราง

	หน้า
ตาราง 1.1 แกนแล็ตทิซกับมุมระหว่างแกนของระบบผลึกต่างๆ	5
ตาราง 4.1 ค่าเลขคณิตและการสั่นของพันธะของหมู่พังก์ชันของผลึก TGS บริสุทธิ์	32
ตาราง 4.2 แลตทิซพารามิเตอร์ TGS บริสุทธิ์	33
ตาราง 4.3 ค่าเลขคณิตและการสั่นของพันธะของหมู่พังก์ชันของผลึก TGS ที่เจือด้วย Cu	39
ตาราง 4.4 แลตทิซพารามิเตอร์ TGS ที่เจือด้วย Cu	40
ตาราง 4.5 ค่าเลขคณิตและการสั่นของพันธะของหมู่พังก์ชันของผลึก TGS ที่เจือด้วย Zn	46
ตาราง 4.6 แลตทิซพารามิเตอร์ TGS ที่เจือด้วย Zn	47

สารบัญภาพประกอบ

	หน้า
ภาพประกอบ 2.1 โครงสร้างแลตทิซ จุดแลตทิซ และเซลล์หน่วย	4
ภาพประกอบ 2.2 ตำแหน่งของatomในเซลล์หน่วยแบบ bcc	4
ภาพประกอบ 2.3 เวกเตอร์ทิศทางในเซลล์หน่วยลูกบาศก์พื้นฐาน	6
ภาพประกอบ 2.4 ความสามารถในการละลายของสารโดยทั่วไป	7
ภาพประกอบ 2.5 การเลี้ยวเบนรังสีเอกซ์	9
ภาพประกอบ 2.6 สเปกตรัมการเลี้ยวเบนรังสีเอกซ์ของผลึก TGS	10
ภาพประกอบ 2.7 สเปกตรัมการส่องผ่านจากเครื่อง FT-IR ของผลึก TGS	12
ภาพประกอบ 2.8 กลไกระบวนการดูดกลืนรังสีเอกซ์	13
ภาพประกอบ 2.9 การวัดการดูดกลืนรังสีเอกซ์	13
ภาพประกอบ 2.10 เครื่อง X-ray absorption spectroscopy	14
ภาพประกอบ 2.11 เครื่องคิพเพอเรนเซียล สแกนนิng คาลอริเมตري	15
ภาพประกอบ 3.1 (ก) พื้นที่ผิวเปิดจำนวน 1 รู มีรัศมีเท่ากับ 1.18 cm (ข) พื้นที่ผิวเปิดจำนวน 2 รู มีรัศมีเท่ากับ 0.59 cm (ค) พื้นที่ผิวเปิดจำนวน 3 รู มีรัศมีเท่ากับ 0.39 cm (ง) พื้นที่ผิวเปิดจำนวน 4 รู มีรัศมีเท่ากับ 0.29 cm	18
ภาพประกอบ 3.2 ขั้นตอนการทำเนินงาน	19
ภาพประกอบ 4.1 ความสัมพันธ์ระหว่างอัตราการระเหยกับพื้นที่ผิวเปิด	26
ภาพประกอบ 4.2 ความสัมพันธ์ระหว่างอัตราการระเหยกับพื้นที่ผิวเปิด	26
ภาพประกอบ 4.3 ความสัมพันธ์ระหว่างอัตราการระเหยกับขนาดพื้นที่ตารางลาย	27
ภาพประกอบ 4.4 ความสัมพันธ์ระหว่างอัตราการระเหยกับตำแหน่งของพื้นที่ผิวเปิด	28
ภาพประกอบ 4.5 การปลุกผลึกให้ใกล้ชินที่อุณหภูมิ 60 °C	29
ภาพประกอบ 4.6 ภาพถ่ายลักษณะภายนอกของผลึก TGS บริสุทธิ์	29
ภาพประกอบ 4.7 (ก) โครงสร้างโมเลกุลใกล้ชิน (ข) โครงสร้างโมเลกุลชั้นเฟส	30
ภาพประกอบ 4.8 สเปกตรัม FT-IR ของผลึก TGS บริสุทธิ์ (ก) กรณีที่ปัจจุบันได้จากการทดลอง (ข) กรณีจากการวิจัยของ Balu	31

สารบัญภาพประกอบ (ต่อ)

	หน้า
ภาพประกอบ 4.9 สเปกตรัมการเลี้ยวเบนของรังสีเอกซ์ของผลึก TGS บริสุทธิ์ (ก) กรณีที่ปั๊กได้จากโครงงาน (ข) กรณีจากการวิจัยของ Balu	34
ภาพประกอบ 4.10 การวิเคราะห์เชิงความร้อนของผลึก TGS บริสุทธิ์ (ก) กรณีที่ปั๊กได้จากโครงงาน (ข) กรณีจากการวิจัยของ Farhana และ Jiban	36
ภาพประกอบ 4.11 ภาพถ่ายลักษณะภายนอกของผลึก TGS ที่เจือด้วย Cu 5% mol	37
ภาพประกอบ 4.12 สเปกตรัม FT-IR ของผลึก TGS (ก) กรณีที่ถูกเจือ Cu 5% mol (ข) กรณีของสารบริสุทธิ์	38
ภาพประกอบ 4.13 สเปกตรัม XRD ของผลึก TGS (ก) กรณีที่ถูกเจือ Cu 5% mol (ข) กรณีของสารบริสุทธิ์	41
ภาพประกอบ 4.14 การวิเคราะห์เชิงความร้อนของผลึก TGS (ก) กรณีที่ถูกเจือ Cu 5% mol (ข) กรณีของสารบริสุทธิ์	42
ภาพประกอบ 4.15 สเปกตรัมการดูดกลืนรังสีเอกซ์แบบ XANES ของผลึก TGS (ก) กรณี TGS เจือ Cu 5% mol (ข) ค่าการเรืองแสงมาตรฐานของ Cu	43
ภาพประกอบ 4.16 ภาพถ่ายลักษณะภายนอกของผลึก TGS ที่เจือด้วย Zn 5% mol	44
ภาพประกอบ 4.17 สเปกตรัม FT-IR ของผลึก TGS (ก) กรณีที่ถูกเจือ Zn 5% mol (ข) กรณีของสารบริสุทธิ์	45
ภาพประกอบ 4.18 สเปกตรัม XRD ของผลึก TGS (ก) กรณีที่ถูกเจือ Zn 5% mol (ข) กรณีของสารบริสุทธิ์	48
ภาพประกอบ 4.19 การวิเคราะห์เชิงความร้อนของผลึก TGS (ก) กรณีที่ถูกเจือ Zn 5% mol (ข) กรณีของสารบริสุทธิ์	49

สารบัญภาพประกอบ (ต่อ)

หน้า	
	ภาพประกอบ 4.20 สเปกตรัมการดูดกลืนรังสีเอกซ์ของเมล็ด TGS
50	
	(ก) กรณีเมล็ด TGS เจือ Zn 5% mol
	(ข) ค่าการเรืองแสงมาตรฐานของ Zn

บทที่ 1

บทนำ

1.1 ที่มาและความสำคัญ

ปัจจุบันนี้วัสดุศาสตร์ก้าวเข้ามายึด主导 ทุกสาขา จากอัตโนมัติปัจจุบันการพัฒนาทางด้านวัสดุศาสตร์มีความเป็นมาอย่างยาวนาน โดยเกิดขึ้นควบคู่กับการพัฒนาเทคโนโลยีด้านต่างๆ ดังนั้น งานด้านวัสดุศาสตร์จึงมีความสำคัญต่อการพัฒนาวิทยาศาสตร์และเทคโนโลยี ตลอดจนสิ่งประดิษฐ์ต่างๆ ที่เป็นประโยชน์ต่อการดำเนินชีวิตของมนุษย์ ทำให้เทคโนโลยีด้านวัสดุศาสตร์มีบทบาทสำคัญต่อการพัฒนาประเทศ จากการความต้องการวัสดุเพื่อตอบสนองต่อเทคโนโลยีด้านต่างๆ ที่เพิ่มขึ้นอย่างต่อเนื่อง เทคโนโลยีทางแสงเป็นอีกเทคโนโลยีหนึ่งที่กำลังได้รับความสนใจอย่างกว้างขวาง และมีการพัฒนาอย่างรวดเร็ว ทำให้เกิดความต้องการวัสดุเชิงแสงเพิ่มขึ้น โดยเฉพาะอย่างยิ่ง วัสดุประเภทผลึก เนื่องจากเป็นวัสดุที่สามารถตอบสนองต่อแสงได้ดี และผลึกบางประเภทสามารถปรับเปลี่ยนสมบัติบางประการของแสงได้ [1] เช่น ผลึกที่มีสมบัติการตอบสนองที่ไม่เชิงเส้นต่อแสงย่างต่างๆ ซึ่งกำลังได้รับความสนใจและศึกษาจากนักวิจัยทั่วโลก [2] แต่อย่างไรก็ตาม ผลึกที่ตอบสนองต่อแสงแบบไม่เชิงเส้นจะมีสมบัติเฉพาะ ทำให้สามารถประยุกต์ใช้ผลึกเหล่านี้ในการสร้างอุปกรณ์ที่แตกต่างจากอุปกรณ์โดยทั่วไปได้ จึงนำไปสู่การพัฒนาคุณภาพผลึกเพื่อใช้งานในด้านต่างๆ อย่างกว้างขวางในการพัฒนาเทคโนโลยี เช่น อิเล็กทรอนิกส์ และการสื่อสารโทรคมนาคม เป็นต้น

การปักร่องลึกที่ตอบสนองต่อแสงแบบไม่เชิงเส้น นิยมปักร่องด้วยวิธีการปักร่องจากสารละลายเนื่องจากต้นทุนในการปักร่องต่ำ และอุปกรณ์หาได้ง่าย นอกจากนี้ งานวิจัยของ Sethuraman และคณะ [3] แสดงว่า ผลึกที่ปักร่องจากสารละลายมีคุณภาพที่ดีขึ้นทั้งสมบัติทางแสงและลักษณะทางกายภาพ ดังนั้น โครงการนี้จึงเลือกวิธีการปักร่องลึกจากสารละลาย ในการปักร่องลึกโดยไอลิฟฟินเจลเฟต (triglycine sulphate ; TGS)

ผลึกไอลิฟฟินเจลเฟต เป็นผลึกที่มีคุณสมบัติที่โดดเด่น แต่อย่างไรก็ตาม สมบัติดังกล่าวไม่สามารถปรับเปลี่ยนได้ด้วยเงื่อนไขการปักร่องลึก ทำให้มีข้อจำกัดในการนำไปประยุกต์ใช้งาน ดังนั้น ในโครงการนี้จึงมีเป้าหมายที่จะศึกษาความเป็นไปได้ในการเจือผงสี TGS เพื่อปรับปรุงคุณสมบัติของผลึกให้ได้ตามต้องการ ในโครงการนี้ จึงเลือกวิธีการเจือตัวยังคงแข็ง (copper ; Cu) และสังกะสี (zinc ; Zn) ซึ่งเป็นสารที่มีความเป็นไปได้ในการปรับเปลี่ยนสมบัติทางกายภาพของผลึก TGS

1.2 วัตถุประสงค์

1.2.1 เพื่อศึกษาการปักร่องลึกโดย TGS ที่เจือด้วย Cu

1.2.2 เพื่อศึกษาการปักร่องลึกโดย TGS ที่เจือด้วย Zn

1.2.3 เพื่อศึกษาและเปรียบเทียบการกำหนดคุณสมบัติและลักษณะเฉพาะต่างๆ ของผลึกที่ปลูกได้

1.3 ขอบเขตของโครงการ

- 1.3.1 ปลูกผลึก TGS ด้วยวิธีการปลูกผลึกจากสารละลาย
- 1.3.2 ใช้สาร $CuSO_4$ เป็นสารเจือ และศึกษาผลกระทบต่อสมบัติทางกายภาพของผลึก TGS
- 1.3.3 ใช้สาร $ZnSO_4$ เป็นสารเจือ และศึกษาผลกระทบต่อสมบัติทางกายภาพของผลึก TGS
- 1.3.4 ศึกษาสมบัติทางกายภาพของผลึก ได้แก่ โครงสร้างของผลึก หมู่ฟังก์ชัน และสมบัติเชิงความร้อน

1.4 สถานที่ทำโครงการ

- 1.4.1 ภาควิชาพิสิกส์ คณะวิทยาศาสตร์ มหาวิทยาลัยมหาสารคาม
- 1.4.2 ศูนย์เครื่องมือกลาง คณะวิทยาศาสตร์ มหาวิทยาลัยมหาสารคาม
- 1.4.3 ภาควิชาพิสิกส์ คณะวิทยาศาสตร์ มหาวิทยาลัยเทคโนโลยีสุรนารี

1.5 ประโยชน์ที่ได้รับ

- 1.5.1 ได้เงื่อนไขในการปลูกผลึก TGS ที่เจือด้วย Cu
- 1.5.2 ได้เงื่อนไขในการปลูกผลึก TGS ที่เจือด้วย Zn
- 1.5.3 ได้ข้อมูลลักษณะเฉพาะของผลึก TGS ที่ถูกเจือด้วย Cu
- 1.5.4 ได้ข้อมูลลักษณะเฉพาะของผลึก TGS ที่ถูกเจือด้วย Zn
- 1.5.5 สามารถนำองค์ความรู้เกี่ยวกับการปลูกผลึก TGS ไปประยุกต์ใช้ปลูกผลึกที่มีลักษณะคล้ายกัน

บทที่ 2

ปริทัศน์เอกสารข้อมูล

ในบทนี้จะกล่าวถึงรายละเอียดทั่วไปเกี่ยวกับกระบวนการที่สารเปลี่ยนสถานะเป็นของแข็งที่เรียกว่า โซลิดิฟิกेशัน (solidification) มี 3 อัญมณี ได้แก่ ผลึกเดี่ยว ผลึกหลากรูป และอัญมณี โดยเน้นการปลูกผลึกจากสารละลาย รวมถึงรายละเอียดเกี่ยวกับเทคนิคการตรวจสอบสมบัติทางกายภาพของผลึก ซึ่งมีรายละเอียดและหัวข้อต่างๆ ดังด่อไปนี้

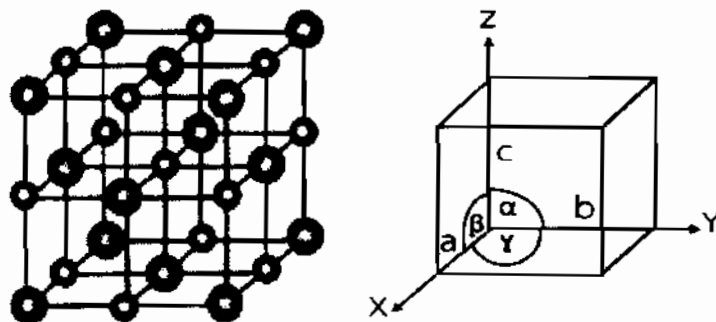
2.1 ผลึก

ผลึก เป็นของแข็งที่มีองค์ประกอบเป็นอะตอม ไอออน หรือโมเลกุล มีการเรียงตัวอย่างเป็นระเบียบในระบบสามมิติ ยึดกันด้วยแรงชนิดต่างๆ แล้วก่อตัวเป็นรูปเรขาคณิตเฉพาะตัวของสาร แต่ละชนิด ผลึกประกอบไปด้วยหน่วยผลึกที่มีขนาดเล็กจำนวนมากรวมตัวก่อรูปขึ้นเป็นผลึก โดยผลึกที่เกิดขึ้นมีลักษณะกึ่งของเหลวหรือของแข็ง ซึ่งผลึกเหลวคือสารที่อยู่ในสถานะพิเศษระหว่างของแข็งกับของเหลว จะมีความเป็นระเบียบในการจัดเรียงโมเลกุลในบางทิศทาง คล้ายกับของแข็งแต่จะเดียวกัน สามารถไหลไปได้ในบางทิศทางคล้ายกับของเหลว แต่ในโครงงานนี้จะเน้นที่ผลึกของแข็ง เพราะผลึกประเภทนี้มีโครงสร้างที่ประกอบด้วยอนุภาคเรียงกันอยู่อย่างมีระเบียบแบบแผน ประกอบกับเป็นผลึกที่พบง่ายและสามารถประยุกต์ใช้งานได้หลากหลาย

ในการปลูกผลึกเดี่ยว ขนาดของผลึกสามารถเปลี่ยนแปลงได้ขึ้นกับสภาวะขณะที่เกิดเป็นผลึก โดยผลึกขนาดใหญ่จะเกิดจากการตกผลึกที่ลະน้อย ในสารละลายที่อิ่มตัวยิ่งวดเล็กน้อย เช่น ผลึกที่เกิดในธรรมชาติจะมีขนาดใหญ่ แต่ถ้ามีการตกผลึกอย่างรวดเร็วจากสารละลายที่อิ่มตัวยิ่งวด จะได้ผลึกที่มีขนาดเล็กจำนวนมาก โดยอาจเกิดจากการเปลี่ยนแปลงอุณหภูมิอย่างรวดเร็ว ดังนั้นการควบคุมองค์ประกอบและสิ่งแวดล้อมต่างๆ จึงมีความสำคัญต่อกระบวนการปลูกผลึก

2.1.1 โครงสร้างผลึก

โครงสร้างของผลึกประกอบด้วยอะตอมหรือโมเลกุลที่มีการจัดเรียงตัวกันอย่างเป็นระเบียบเป็นโครงข่ายสามมิติ เรียกว่า แลตทิซ (lattice) และจุดตัดบนโครงข่ายดังกล่าว เรียกว่า จุดแลตทิซ (lattice point) อนุภาคพื้นฐานของผลึกจะอยู่ที่จุดแลตทิซอย่างเป็นระเบียบ และต่อเนื่องทั้งโครงข่าย แลตทิซ และอนุภาคที่จัดเรียงในโครงข่ายแลตทิซ (lattice) เรียกว่า เบชิส (basis) ดังภาพประกอบ 2.1



ภาพประกอบ 2.1 โครงสร้างแลตทิซ จุดแลตทิซ และเซลล์หน่วย [4]

เซลล์หน่วยเป็นองค์ประกอบพื้นฐานของผลึก ลักษณะลับบดีของเซลล์หน่วยของผลึกถูกกำหนดโดยบัตติความยาวทั้งสามด้าน (a b และ c) และมุมทั้งสาม (α β และ γ) ซึ่งเรียกรวมกันว่า แลตทิซพารามิเตอร์ (lattice parameters) แลตทิซพารามิเตอร์และสมบัติความสมมาตรของผลึกเป็นปัจจัยสำคัญในการกำหนดสมบัติต่างๆ ของผลึก เช่น ความแข็ง การดูดกลืนแสง และแยกพลังงาน อิเล็กทรอน [4] ในธรรมชาติมีการจัดเรียงจุดแลตทิซหลายแบบ ประกอบกับเบซิสแตกต่างกันไปตามชนิดของผลึก ทำให้แลตทิซพารามิเตอร์แตกต่างกัน ในปี ค.ศ.1848 Auguste Bravais นักผลึกวิทยาชาวฝรั่งเศส ได้เสนอการจัดระบบของโครงสร้างผลึกโดยแบ่งโครงสร้างผลึกเป็น 7 กลุ่ม ตามความยาวด้านทั้งสามและมุมทั้งสามของเซลล์หน่วย ดังตาราง 1.1

2.1.2 ตำแหน่งในเซลล์หน่วย

การบอกตำแหน่งภายในเซลล์หน่วยสามารถทำได้โดยใช้ระบบแกนตั้งฉาก x y z หรือที่เรียกว่า ระบบพิกัดคาร์ตีเซียน (cartesian coordinate) ดังภาพประกอบ 2.2

ภาพประกอบ 2.2 การระบุตำแหน่งอะตอมในเซลล์หน่วยแบบ bcc (body-centred cubic) ที่มุน ด้วยพิกัด 8 พิกัด คือ $(0,0,0)$ $(1,0,0)$ $(0,1,0)$ $(0,0,1)$ $(1,1,0)$ $(1,0,1)$ $(0,1,1)$ $(1,1,1)$ และตำแหน่งอะตอมที่เก็บกลางเซลล์หน่วยคือ $(\frac{1}{2}, \frac{1}{2}, \frac{1}{2})$

2.1.3 ทิศทางในเซลล์หน่วย

การบอกทิศทางในแลตทิซ ระบุด้วยเวกเตอร์ทิศทาง ชื่้นแทนด้วย $\vec{r} = [uvw]$ โดยที่ u v และ w เป็นองค์ประกอบเวกเตอร์ในแกน x y และ z ถูกทำให้เป็นจำนวนเต็มที่น้อยที่สุด จากภาพประกอบ 2.3 \overrightarrow{OA} ซึ่งจากจุดกำเนิดซึ่งมีพิกัด $(0,0,0)$ ไปยังจุดปลายซึ่งมีพิกัด $(1,0,1)$ ดังนั้น $\overrightarrow{OA} = [101]$

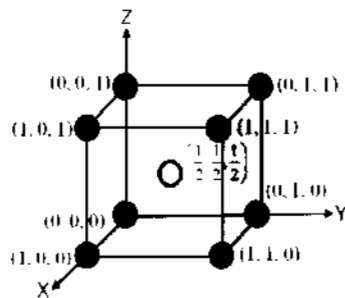
ตาราง 1.1 ผลพิชพารามิเตอร์ของผลึกระบบต่างๆ

ระบบผลึก	ความยาวด้าน	ขนาดมุม	ชนิดเซลล์หน่วย
ลูกบาศก์	$a=b=c$	$\alpha = \beta = \gamma = 90^\circ$	
เทตระโนนอล	$a=b \neq c$	$\alpha = \beta = \gamma = 90^\circ$	
รอมไบอีตัล	$a=b=c$	$\alpha = \beta = \gamma \neq 90^\circ$	
ເຍກະໂගນอล	$a=b \neq c$	$\alpha = \beta = 90^\circ, \gamma = 120^\circ$	
ອອໂຮຣອມປົກ	$a \neq b \neq c$	$\alpha = \beta = \gamma = 90^\circ$	
ໂມໂນຄລືນິກ	$a \neq b \neq c$	$\alpha = \gamma = 90^\circ \neq \beta$	
ໄຕຣຄລືນິກ	$a \neq b \neq c$	$\alpha \neq \beta \neq \gamma \neq 90^\circ$	

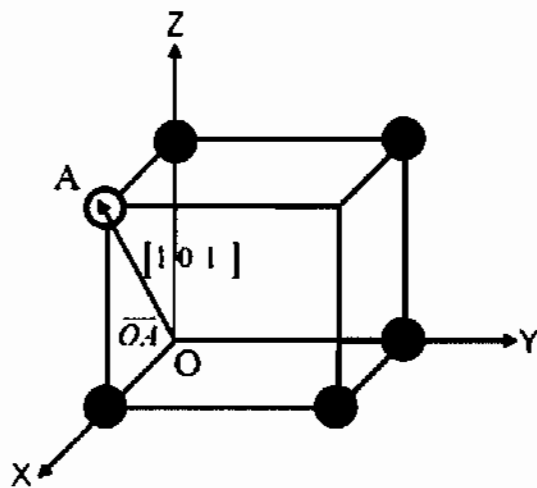
โดยที่ α คือ มุมระหว่างแกน c กับแกน b

β คือ มุมระหว่างแกน a กับแกน c

γ คือ มุมระหว่างแกน a กับแกน b



ภาพประกอบ 2.2 ตำแหน่งอะตอมในเซลล์หน่วยแบบ bcc [5]



ภาพประกอบ 2.3 เวกเตอร์ทิศทางในเซลล์หน่วยแบบลูกบาศก์พื้นฐาน [5]

2.1.4 ระบบในเซลล์หน่วย

ระบบในโครงสร้างผลึกหรือแลตทิซจะระบุด้วยดัชนีมิลเลอร์ (miller indices) โดยที่ค่านี้ คือ เทษส่วนกลับของจุดที่ระบบไปตัดแกน x y และ z ในเซลล์หน่วยลูกบาศก์ ซึ่งวิธีการหาดัชนีมิลเลอร์ ของระบบสามารถทำได้ดังนี้

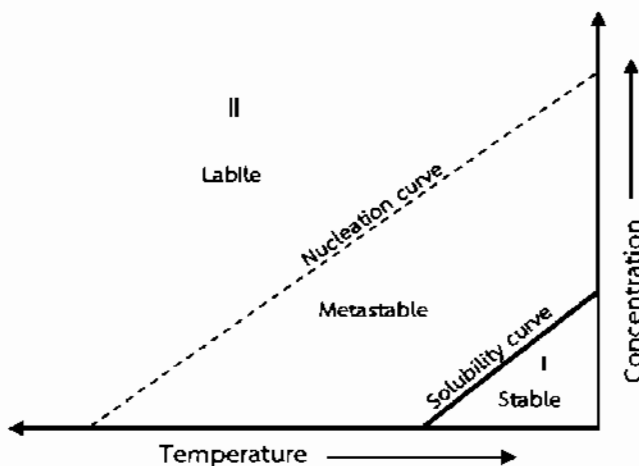
1. เลือกระบบที่มีผ่านจุด origin (0,0,0)
2. อ่านค่าจุดตัดบนแกน x y และ z
3. หาส่วนกลับของระยะตัดแกนแต่ละค่าในข้อ 2
4. ทำให้เป็นจำนวนเต็มที่น้อยที่สุด
5. เขียนชุดตัวเลขที่ได้ในข้อ 4 ในวงเล็บ ()

2.2 วิธีปัลกผลึกจากสารละลาย

2.2.1 กลไกการเกิดผลึกจากสารละลาย

การปัลกผลึกด้วยสารละลายเป็นการนำสารที่ต้องการปัลกไปละลายในตัวทำละลาย จนกระทั่งได้สารละลายอิ่มตัว ปล่อยให้ตัวทำละลายเกิดการระเหยอย่างช้าๆ สารละลายจะเกิดการอิ่มตัวยิ่งขึ้น จากนั้นสารที่ต้องการจะแยกตัวออกจากสารละลายในรูปของแข็ง กระบวนการนี้เรียกว่า การตกผลึก (precipitation) และสารละลายที่เหลืออยู่ในสารละลาย เรียกว่า mother liquor จากภาพประกอบ 2.4 จะเห็นว่า กราฟความเข้มข้นของสารละลายถูกแบ่งออกเป็นสองบริเวณด้วยเส้น ความสามารถในการละลาย (solubility curve) ที่อุณหภูมิต่างๆ ผลึกจะไม่สามารถเกิดในบริเวณที่

ต่ำกว่าเส้นความสามารถในการละลายได้ เพราะสารละลายในบริเวณนี้ไม่อิ่มตัว สำหรับจุดที่อยู่บนเส้นความสามารถในการละลายเป็นความเข้มข้นสูงคุณที่อุณหภูมิต่างๆ ซึ่งเป็นตำแหน่งที่สารละลายอิ่มตัว มีการเกิดผลึกและการละลายของสารสมดุลกัน ผลึกจะไม่มีการเจริญเติบโต ล้วนบริเวณที่อยู่เหนือเส้นความสามารถในการละลาย เป็นบริเวณที่สารละลายเกิดการอิ่มตัวยิ่งๆ ผลึกสามารถเจริญเติบโตได้ โดยสามารถแบ่งออกเป็นสองบริเวณคือ โซนลากาวย (labil zone) เป็นบริเวณที่สารละลายอยู่ในลักษณะอิ่มตัวยิ่งๆ บริเวณนี้ผลึกจะเกิดขึ้นอย่างรวดเร็วโดยไม่สามารถควบคุมอัตราการตกผลึกได้ ทำให้ได้ผลึกจำนวนมากและมีขนาดเล็ก และบริเวณโซนเก็บเสียร (metastable zone) เป็นบริเวณที่มีอุณหภูมิและความเข้มข้นของสารละลายเหมาะสมต่อการเกิดผลึก ผลึกจะสามารถเกิดขึ้นได้ เมื่อตัวทำละลายระเหยจนความเข้มข้นอยู่ในสภาวะอิ่มตัวและถูกหนีบวนนำตัวยผลึกส่อ (seed) ตั้งนั้น จึงต้องควบคุมอุณหภูมิและความเข้มข้นของสารละลายให้อยู่ในลักษณะที่เหมาะสมเพื่อให้ได้ผลึกที่มีขนาดใหญ่



ภาพประกอบ 2.4 ความสามารถในการละลายของสารโดยทั่วไป [8]

2.2.2 สารเคมี

ไตรไกลซินชัลเฟต

ไตรไกลซินชัลเฟต มีสูตรโมเลกุลคือ $(\text{NH}_2\text{CH}_2\text{COOH})_3\text{H}_2\text{SO}_4$ เกิดจากการสร้างพันธะระหว่างไกลซีนและกรดชัลฟิวริกในอัตราส่วนโดยไม่ 3:1 ซึ่งไกลซีนมีความสามารถในการละลายน้ำ 33 g/100 ml ที่อุณหภูมิ 25°C ทั้งนี้โครงสร้างผลึกไตรไกลซินชัลเฟตเป็นแบบโมโนคลินิกตามหลักการของบริราเวสโดยเซลล์หน่วยมีความยาวของแกนไม่เท่ากัน โดยแกน a ยาว 9.417 Å แกน b ยาว 12.643 Å และแกน c ยาว 5.735 Å นม α และ γ มีค่าเท่ากับ 90° แต่มุม β ทำมุมเท่ากับ 105.5° [6]

ซิงค์ชัลเฟต

ซิงค์ชัลเฟต มีสูตรโมเลกุล คือ ZnSO_4 มีโครงสร้างผลึกเป็น ออโรรมบิก ตามหลักของบริราเวส เป็นวัสดุทัศนศาสตร์ไม่เป็นเชิงเส้นทางลง ความสามารถเกิดผลึกโดยการระเหยตัวทำละลายให้กลایเป็นไอ

ซิงค์ซัลเฟตมีความสามารถในการละลายน้ำ 57 g/100 ml ที่อุณหภูมิ 20°C โดยมีผลติดพารามิเตอร์ แกน a ยาว 9.9810 Å แกน b ยาว 7.2500 Å และ แกน c ยาว 24.2800 Å มุม $\alpha = \beta = \gamma = 90^\circ$ [10]

คอปเปอร์ซัลเฟต

คอปเปอร์ซัลเฟต มีสูตรโมเลกุล คือ $CuSO_4$ เป็นวัสดุทัศนศาสตร์ไม่แข็งเส้น และมีสมบัติเพอร์โอลิเกททริก อยู่ในรูปสารประกอบที่มีน้ำและไม่มีน้ำอยู่ในโมเลกุล ในการณ์ที่ไม่มีน้ำอยู่ในโมเลกุล (anhydrous form) จะมีสีขาวเทา หากมีน้ำอยู่ในโมเลกุล (hydrated form, $CuSO_4 \cdot 5H_2O$) จะมีสีน้ำเงิน ซึ่งคอปเปอร์ซัลเฟตมีค่าความสามารถในการละลายน้ำ 31g/100 ml ที่อุณหภูมิ 26°C ทั้งนี้ โครงสร้างผลึกคอปเปอร์ซัลเฟตเป็นแบบโมโนคลินิก ตามหลักของบร้าเวส โดยเซลล์หน่วยมีความยาวของแกนไม่เท่ากัน โดยแกน a ยาว 6.1224 Å แกน b ยาว 10.7223 Å และแกน c ยาว 5.9681 Å มุม α เท่ากับ 90° มุม γ เท่ากับ 90° มุม และ β เท่ากับ 107.33° [11]

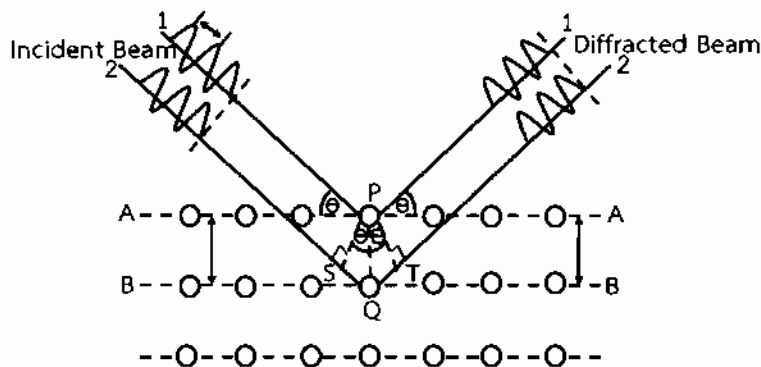
2.3 การวิเคราะห์สมบัติของผลึก

โครงการนี้มีวัตถุประสงค์เพื่อที่จะศึกษาการเจือสารลงในผลึกไตรไกลซินซัลเฟตอย่างไรก็ตาม เมื่อปลูกผลึกได้ตามเงื่อนไขที่ต้องการ อาจมีลักษณะสมบัติทางโครงสร้างและกายภาพเปลี่ยนแปลงไป ดังนั้น จึงนำผลึกที่ปลูกได้มาศึกษาสมบัติต่างๆ ได้แก่ สมบัติการเลี้ยวเบนของรังสีเอกซ์ หมุนผิวกำชันที่เป็นองค์ประกอบของผลึกโดยใช้เทคนิค Fourier transform infrared spectroscopy (FT-IR) การวิเคราะห์เขิงความร้อน และการดูดกลืนรังสีเอกซ์

2.3.1 เทคนิคเลี้ยวเบนของรังสีเอกซ์

รังสีเอกซ์เป็นคลื่นแม่เหล็กไฟฟ้าที่มีค่าความยาวคลื่นอยู่ในช่วง 0.01 ถึง 10 nm เกิดจาก การชนของอิเล็กตรอนที่ถูกเร่งในสนามไฟฟ้ากับเป้าที่ทำด้วยโลหะหนัก พลังงานคงที่ของอิเล็กตรอนจะถูกถ่ายเทให้กับเป้าโลหะและทำให้เกิดการเปลี่ยนแปลงระดับพลังงานของอิเล็กตรอนภายในโลหะที่เป็นเป้า ผลของการเปลี่ยนแปลงดังกล่าวทำให้เกิดรังสีเอกซ์ 2 ชนิดคือ รังสีเอกซ์ต่อเนื่อง (continuous X-ray) และรังสีเอกซ์เฉพาะตัว (characteristic X-ray) เมื่อรังสีเอกซ์เกิดอันตรกิริยา กับสารจะทำให้เกิดปรากฏการณ์ต่างๆ เช่น การเปล่งแสง การดูดกลืน การกระเจิงแสงหรือการเลี้ยวเบน ซึ่งปรากฏการณ์เหล่านี้ จะมีลักษณะเฉพาะที่ขึ้นอยู่กับสารตัวอย่างแต่ละชนิด เนื่องจากของแข็งที่เป็นผลึกจะมีการจัดเรียงของอะตอมอย่างเป็นระเบียบแบบสามมิติ เมื่อรังสีเอกซ์ตกกระทบบนผิวของชุดระบบนาบต่างๆ ด้วยมุมที่เหมาะสมจะทำให้เกิดพฤติกรรมการเลี้ยวเบนของรังสีเอกซ์ขึ้น

ขนาดความยาวคลื่นของรังสีเอกซ์อยู่ในช่วงเดียวกับระยะห่างระหว่างอะตอมในผลึกของของแข็ง ซึ่งทำให้รังสีเอกซ์สามารถเกิดการเลี้ยวเบนได้ดังแสดงในภาพประกอบ 2.5



ภาพประกอบ 2.5 การเลี้ยวเบนของรังสีเอกซ์

รังสีตอกกระทบทั้ง 2 สำา มีเฟลตรังกันทำมุน θ กับระนาบ รังสีที่ 1 ตกกระทบเข้ากับระนาบ A และละท้อนออกมานามุน θ กับระนาบ A รังสีที่ 2 ตกกระทบเข้ากับระนาบ B และสะท้อนออกมานามุน θ กับระนาบ B โดยรังสีเอกซ์ที่สะท้อนออกมายังชุดระนาบ จะมีการแทรกสอดแบบเสริมสร้าง และหักล้าง ซึ่งระยะทางแต่ละลำที่รังสีตอกกระทบบนระนาบมีความต่างกันเป็นจำนวนเต็มของความยาวคลื่นรังสีเอกซ์ ดังสมการที่ 2.1

$$2ds\sin\theta = n\lambda \quad (2.1)$$

โดย n คือ จำนวนเต็มที่เรียกว่าอันดับของการสะท้อน

λ คือ ความยาวคลื่นของรังสีเอกซ์ที่ใช้

d คือ ระยะห่างระหว่างผลึก

θ คือ มุมระหว่างรังสีตอกกระทบกับระนาบผลึก

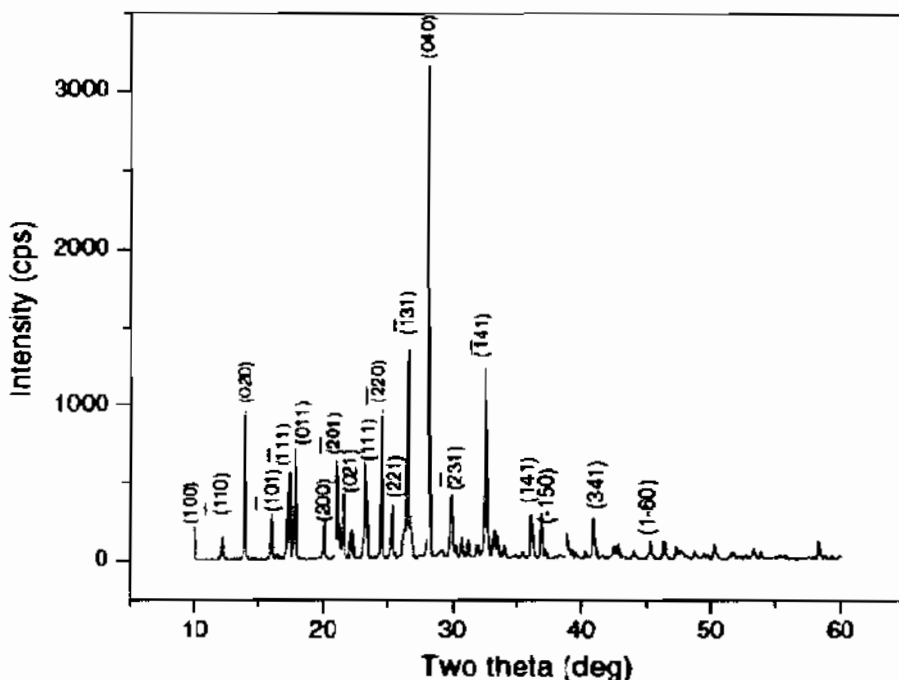
เมื่อใช้รังสีเอกซ์ที่มีความยาวคลื่นไม่เกลี่ยงกับระยะห่างของอัծอมภายในผลึก และหมุนผลึกทำมุนต่างๆ กับรังสีที่ตกกระทบ รังสีที่เลี้ยวเบนออกมานามีรูปแบบเฉพาะของสารแต่ละชนิด เทคนิคนี้เรียกรังสีเอกซ์ความยาวคลื่นเดียวที่กระทบชั้นสารตัวอย่างเป็นมุน θ ทำให้ดองเคลื่อนอุปกรณ์ การตรวจวัดสัญญาณรังสีเอกซ์ให้หมุนไปเป็นมุน 2θ เพื่อให้สามารถบันทึกรูปแบบการเลี้ยวเบนของผลึก ซึ่งจะแสดงถึงรูปแบบของแบรอคก์

เทคนิคการเลี้ยวเบนด้วยรังสีเอกซ์ แบ่งออกเป็นสองชนิด คือ เทคนิคที่ใช้ชั้นสารตัวอย่างเป็นผง (powder X-ray diffraction) และชั้นสารตัวอย่างเป็นผลึกเดียว (single-crystal X-ray diffraction)

1. powder X-ray diffraction สามารถวิเคราะห์ชนิดของวัสดุได้ เมื่อจากการเลี้ยวเบนของรังสีเอกซ์ จะทำให้เกิดสเปกตรัมที่เป็นลักษณะเฉพาะของแต่ละโครงสร้างผลึก

2. single-crystal X-ray diffraction เป็นเทคนิคที่สามารถวิเคราะห์โครงสร้างผลึกและผลที่ซึพารามิเตอร์ของเซลล์หน่วย

เครื่อง XRD จะทำการบันทึกความเข้มที่มุมต่างๆ โดยข้อมูลเหล่านี้จะถูกแสดงออกมาเป็นกราฟระหว่างความเข้มของรังสีที่สะท้อนออกมากับมุม 2θ จากข้อมูลที่ได้จะสามารถคำนวณหาค่าระยะห่างระหว่างร่องน้ำ (d) ได้ตามสมการของแบรกค์ และสามารถนำไปวิเคราะห์ลักษณะโครงสร้างผลึกได้



ภาพประกอน 2.6 สเปกตรัมการเลี้ยวเบนรังสีเอกซ์ของผลึก [6]

Balu และคณะ [6] ใช้สเปกตรัมการเลี้ยวเบนของรังสีเอกซ์ วิเคราะห์โครงสร้างของผลึก TGS เพื่อศึกษาการจัดเรียงตัวของโมเลกุลภายในผลึก TGS พบร่องน้ำที่เกิดการเลี้ยวเบนอยู่ในช่วง 10° - 60° โดยมีร่องน้ำที่สำคัญคือ (020) , $(\bar{1}11)$, (011) , $(\bar{2}01)$, (111) , $(\bar{2}20)$, $(\bar{1}31)$, (040) และ $(\bar{1}41)$ ดังภาพประกอน 2.6 โดยยอดสเปกตรัมการเลี้ยวเบนของร่องน้ำนี้แสดงถึงรูปแบบโครงสร้างผลึกแบบโมโนคลินิกของผลึก TGS

2.3.2 การวิเคราะห์โดย Fourier transform infrared spectroscopy

Fourier transform infrared spectroscopy เป็นเครื่องมือที่มีประสิทธิภาพในการวิเคราะห์จำแนกโมเลกุลสารประเภทต่างๆ ทั้งในเชิงคุณภาพและเชิงปริมาณที่ให้ผลการวิเคราะห์อย่างรวดเร็ว และมีความถูกต้องแม่นยำสูง โดยเทคนิค FT-IR เป็นเทคนิคที่ใช้วิเคราะห์พันธะภายในโมเลกุลต่างๆ โดย พันธะเหล่านี้ สามารถแสดงถึงหมู่ฟังก์ชันของโมเลกุลที่เป็นองค์ประกอบของผลึก เทคนิคนี้สามารถใช้ วิเคราะห์พันธ์สสารอินทรีย์และอนินทรีย์ โดยเป็นวิธีการวิเคราะห์ด้วยแสงเทคนิคนี้ โดยอาศัยปฏิสัมพันธ์ ระหว่างแสงกับพันธะในโมเลกุลของผลึก เทคนิคนี้จะใช้แสงในย่านความถี่อินฟราเรด เนื่องจากอาศัย การดูดกลืนแสงที่แตกต่างกันของแต่ละพันธะของโมเลกุลในการหาหมู่ฟังก์ชัน (functional groups) เมื่อแสงอินฟราเรดตกกระทบโมเลกุลจะทำให้เกิดอันตราริยา (interaction) ระหว่างแสงกับพันธะภายในโมเลกุล โดยที่แสงอินฟราเรดในบางช่วงที่มีความถี่ตรงกันกับความถี่ของการสั่นของพันธะ ในโมเลกุลจะถูกดูดกลืน เรียกว่า การเกิดเรโซโนนซ์ (resonance) ดังนั้น การวิเคราะห์หมู่ฟังก์ชันของสารตัวอย่าง จึงอาศัยการดูดกลืนแสงที่แตกต่างกันของแต่ละพันธะโมเลกุล ซึ่งแสงอินฟราเรดมีเลขค่า (wavenumber) ในช่วงระหว่าง $12,800$ ถึง 10 cm^{-1} หรือช่วงความยาวคลื่นระหว่าง $0.78\text{--}1,000\text{ }\mu\text{m}$ ช่วงของแสงอินฟราเรดแบ่งได้เป็น 3 ช่วง คือ

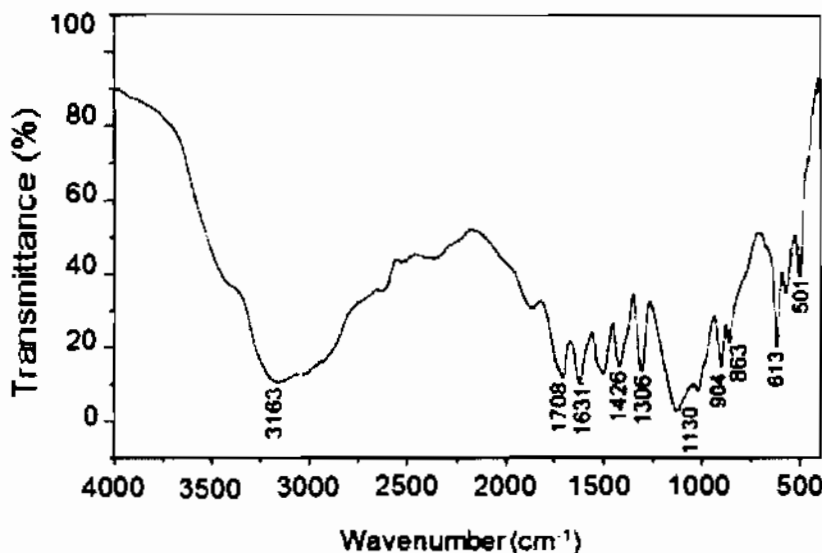
- ช่วงอินฟราเรดใกล้ (near IR region) เป็นช่วงที่อยู่ใกล้กับช่วงแสงที่ตามองเห็น พบร้า andan การดูดกลืน (absorption band) ที่ได้ค่อนข้างต่ำ มีประโยชน์ในการใช้วิเคราะห์สารประกอบอะโรมาติก (aromatic compounds)

- ช่วงอินฟราเรดกลาง (middle IR region) ช่วงนี้แบ่งออกเป็น group frequency region อยู่ระหว่าง $4,000\text{--}1,300\text{ cm}^{-1}$ ซึ่งスペกตรัมที่ได้ในช่วงนี้ส่วนใหญ่เกิดจากพันธะหมู่ฟังก์ชัน (functional groups) แต่ไม่ได้โครงสร้างที่สมบูรณ์และ fingerprint region อยู่ระหว่าง $1,300\text{--}200\text{ cm}^{-1}$ สเปกตรัมที่ได้ส่วนใหญ่สามารถนำไปวิเคราะห์หาโครงสร้างของโมเลกุลที่สมบูรณ์

- ช่วงอินฟราเรดไกล (far IR region) ช่วงนี้ไม่เหมาะสมกับในการวิเคราะห์พันธะของโมเลกุลเนื่องจากスペกตรัมช่วงนี้จะเกิดอันตราริยา กับการสั่นของโครงสร้างหรือการหมุนของโมเลกุลทั้งโมเลกุล ทำให้ไม่สามารถแสดงถึงโครงสร้างภายในของโมเลกุล ความยาวแสงช่วงนี้อยู่ระหว่าง $200\text{--}10\text{ cm}^{-1}$

สำหรับช่วงเลขค่าที่ใช้ประโยชน์ในการวิเคราะห์โครงสร้างโมเลกุลของสาร คือช่วง fingerprint region ซึ่งเป็นช่วงอินฟราเรดกลาง ระหว่าง $1,300\text{--}200\text{ cm}^{-1}$ โดยตอบสนองต่อการดูดกลืนเฉพาะของพันธะสารแต่ละชนิด โดยปกติสเปกตรัมในช่วงนี้จะซับซ้อน ดังนั้น การวิเคราะห์สเปกตรัมจึงนิยมอ้างอิงจากเอกสารวิจัยหรือไฟล์อ้างอิงมาตรฐาน จากนั้น เปรียบเทียบยอดการดูดกลืนของสเปกตรัมที่ได้จากการวัด เพื่อวิเคราะห์หาพันธะของหมู่ฟังก์ชัน สำหรับในโครงงานนี้จะใช้ข้อมูลจากการวิจัยเป็นข้อมูลอ้างอิงรวมกับข้อมูลการดูดกลืนแสงตามเอกสารอ้างอิง [9]

สำหรับศึกษาหมู่พังก์ชันของผลึก TGS ดังภาพประกอบ 2.7 จากลักษณะการดูดกลืนที่เกิดขึ้น พบว่า ยอดการดูดกลืน 1708 cm^{-1} 904 cm^{-1} และ 863 cm^{-1} แสดงหมู่พังก์ชันของ $-\text{COOH}$ ยอดการดูดกลืน 1306 cm^{-1} แสดงหมู่พังก์ชันของ $-\text{NH}_2$ ยอดสเปกตรัม 1426 cm^{-1} แสดงหมู่พังก์ชันของ $-\text{CH}_2$ ยอดสเปกตรัม 1130 cm^{-1} และ 613 cm^{-1} แสดงหมู่พังก์ชันของ $-\text{SO}_4$ เป็นต้น [7]



ภาพประกอบ 2.7 ตัวอย่างสเปกตรัมการส่งผ่านจากเครื่อง FT-IR ของผลึก TGS [7]

2.3.3 การวิเคราะห์ตัวอย่างด้วยเทคนิคสเปกโทรสโคปีการดูดกลืนรังสีเอกซ์

X-ray absorption spectroscopy (XAS) เป็นเทคนิคการวัดและวิเคราะห์สเปกตรัมของการดูดกลืนรังสีเอกซ์ของขั้นสารตัวอย่าง ดังแสดงในภาพประกอบ 2.9 สามารถอธิบายการเปลี่ยนแปลงโครงสร้างของผลึกซึ่งเป็นผลจากการเติมสารเจือ

เทคนิค XAS เป็นการศึกษาการดูดกลืนรังสีเอกซ์ ของอะตอมในช่วงพลังงานใกล้เคียงหรือสูงกว่าค่าพลังงานยึดเหนี่ยวของอิเล็กตรอนในอะตอม การดูดกลืนรังสีเอกซ์ของวัสดุจะทำให้เกิดปรากฏการณ์ photoelectric effect ซึ่งรังสีเอกซ์หรือฟ็อกอนจะถูกดูดกลืนโดยอิเล็กตรอนที่อยู่ในระดับพลังงานขั้นในของอะตอม ดังแสดงในภาพประกอบ 2.8 ใน การดูดกลืนรังสีเอกซ์นี้ พลังงานของรังสีเอกซ์จะต้องมีค่ามากกว่าพลังงานยึดเหนี่ยวในระดับขั้นพลังงานของอะตอม และอิเล็กตรอนที่หลุดออกมายังมีพลังงานจนนิ่วากับพลังงานส่วนเกินของรังสีเอกซ์ ที่มีค่ามากกว่าพลังงานยึดเหนี่ยวในระดับพลังงานของอะตอม สัมประสิทธิ์การดูดกลืนรังสีเอกซ์ (absorption coefficient ; μ) ที่บ่งบอกถึงความนำจะเป็นที่รังสีเอกซ์จะถูกดูดกลืน อธิบายได้ด้วยกฎของเบียร์ (Beer's Law) ดังสมการ 2.2

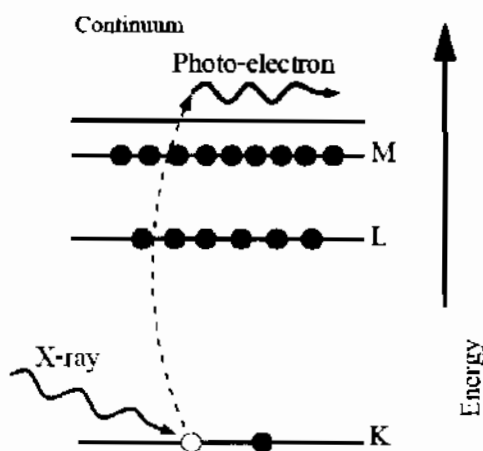
$$I = I_0 e^{-\mu x} \quad (2.2)$$

โดยที่ I_0 คือ ความเข้มของรังสีเอกซ์ที่ตกกระทบบนตัวอย่าง

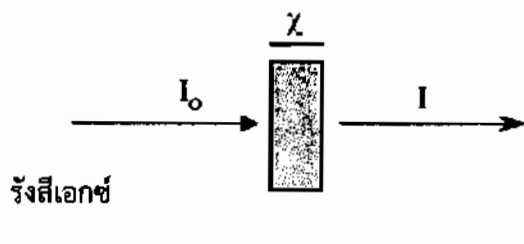
x คือ ความหนาของตัวอย่าง

μ คือ ลักษณะการดูดกลืนของรังสีเอกซ์

และ I คือ ความเข้มของรังสีเอกซ์ ที่ส่องออกมาจากตัวอย่าง ดังแสดงในภาพประกอบ 2.9



ภาพประกอบ 2.8 กลไกของกระบวนการดูดกลืนของรังสีเอกซ์ [12]



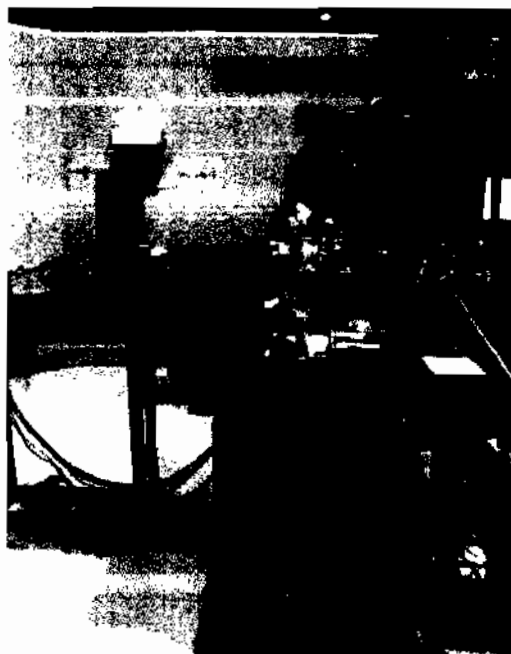
ภาพประกอบ 2.9 การวัดการดูดกลืนรังสีเอกซ์ [12]

แต่อย่างไรก็ตาม ในการวัดการดูดกลืนรังสีเอกซ์ของสารตัวอย่างในทางปฏิบัติสามารถกระทำได้ 2 วิธี คือ

1. การวัด XAS แบบหลุดผ่าน (Transmission – mode XAS)
2. การวัด XAS แบบเรืองแสง (Fluorescence – mode XAS)

ซึ่งในโครงงานนี้เลือกใช้วิธี XAS แบบเรืองแสง เพราะการวัดแบบเรืองแสงจะเข้ากับตัวอย่างที่มีปริมาณความเข้มข้นของสารเจือต่อ

เทคนิควิเคราะห์แบบ XANES เป็นหนึ่งในเทคนิคการตรวจสอบการเรืองแสงของอะตอมโลหะหนัก เป็นลักษณะสัญญาณล่วนหนึ่งของ XAS โดยมุ่งพิจารณาพลังงานของโฟตอนในช่วงจำกัดโดยมีความกว้างประมาณ 10-50 eV สัญญาณ XANES เกิดขึ้นเมื่อสารตัวอย่างถูกกระตุ้นด้วยลำแสงรังสีเอกซ์ ส่งผลให้อิเล็กตรอนในขั้นพลังงานระดับสิกคูกระดับต้นและเกิดการเปลี่ยนระดับพลังงานไปอยู่ในสถานะว่างเหนือพลังงานเพอร์เม จากนั้นอิเล็กตรอนตั้งกล่าวจะตกกลับไปสู่สถานะพื้นและเกิดการปลดปล่อยพลังงานออกมายในรูปของโฟตอน จากกระบวนการดังกล่าวทำให้เกิดรูปแบบการปลดปล่อยโฟตอนเฉพาะของแต่ละธาตุ ดังนั้นจึงทำให้สามารถใช้วัดปริมาณของธาตุโลหะหนักที่ถูกเจือในขั้นสารตัวอย่างได้ สำหรับในโครงงานนี้ใช้ XANES เพื่อตรวจสอบการเจือของอะตอม Cu และ Zn ในผสาน TGS ที่ปลูกได้



ภาพประกอบ 2.10 เครื่อง X-ray absorption spectroscopy

2.3.4 การวิเคราะห์เชิงความร้อน

การวิเคราะห์น้ำหนักภายในตัวอย่าง (thermogravimetry ; TG) เป็นการวิเคราะห์น้ำหนักที่เปลี่ยนแปลงในแต่ละช่วงอุณหภูมิของสารตัวอย่าง ในการวิเคราะห์ด้วยเทคนิคนี้ ผสานตัวอย่างจะถูกวางบนajanขนาดเล็ก ซึ่งเชื่อมต่อกับเครื่องซั่งละเอียดที่มีความไวต่อการเปลี่ยนแปลงสูง โดยอุปกรณ์ทั้งหมด

จะอยู่ในเตาที่สามารถควบคุมอุณหภูมิและบรรยากาศได้ บรรยากาศภายในอาจจะเป็นแก๊สเชื้อเพลิง เช่น ในไตรเจน หรือแก๊สที่มีความว่องไว เช่น ออกซิเจน โดยนำหัวนักของสารตัวอย่างที่เปลี่ยนแปลงจะเกิดขึ้นที่อุณหภูมิเฉพาะของสารแต่ละชนิด โดยนำหัวนักที่หายไปเกิดจากการระเหยของโมเลกุลขนาดเล็ก เช่น น้ำ รวมถึงการเปลี่ยนสถานะของผลึก และการสลายตัวของโมเลกุลที่ประกอบเป็นผลึก

การวิเคราะห์ดิฟเฟอเรนเซียล สแกนนิng คาลอริเมตري (differential scanning calorimetry ; DSC) เป็นกระบวนการวิเคราะห์การเปลี่ยนแปลงพลังงานความร้อนของวัสดุตัวอย่างเทียบกับอุณหภูมิที่เพิ่มขึ้น วิธีนี้เป็นการศึกษาการเปลี่ยนแปลงพลังงานความร้อน ซึ่งสามารถแบ่งออกเป็น 2 ประเภท คือ ปฏิกิริยาคายพลังงานและปฏิกิริยาดูดพลังงาน โดยมีหลักการทำงาน คือ การให้ความร้อนกับสารอ้างอิงที่บรรจุในถ้วยอลูมิเนียมในบรรยากาศในไตรเจน หลังจากนั้นทำการตรวจสอบบันทึกความร้อนของสารตัวอย่างที่เปลี่ยนแปลงตามอุณหภูมิ สำหรับวิธี DSC สารตัวอย่างและสารอ้างอิงจะได้รับความร้อนจากแหล่งพลังงานสองแหล่งแยกกัน และมีการบันทึกข้อมูลความแตกต่างของอุณหภูมิระหว่างสารตัวอย่างกับสารอ้างอิงเมื่อให้ความร้อน ถ้าอุณหภูมิของสารตัวอย่างต่ำกว่าอุณหภูมิของสารอ้างอิง แสดงว่า ระบบเกิดการเปลี่ยนแปลงแบบดูดความร้อน แต่ถ้าอุณหภูมิของสารตัวอย่างสูงกว่าสารอ้างอิง แสดงว่า ระบบเกิดการเปลี่ยนแปลงแบบคายพลังงาน [14]

ในโครงการนี้ใช้เทคนิคการวิเคราะห์เชิงความร้อน TG/DSC เพื่อศึกษาการเปลี่ยนเฟส และการเปลี่ยนแปลงจุดหลอมเหลวของผลึกที่ปัลส์ได้ในโครงการ เมื่อถูกเจือด้วยทองแดงและสังกะสี ในช่วงอุณหภูมิ 30-500 °C



ภาพประกอบ 2.11 เครื่องดิฟเฟอเรนเซียล สแกนนิng คาลอริเมตري

บทที่ 3

วิธีดำเนินการวิจัย

ในบทนี้จะกล่าวถึงสารเคมี และอุปกรณ์ที่ใช้ในการปลูกผลึก เนื่องจากโครงการนี้มีจุดประสงค์หลักเพื่อศึกษาผลึก TGS ดังนั้น จึงทำการทดลองเบื้องต้นเพื่อร่วบรวมข้อมูลที่จำเป็น เพื่อให้สามารถออกแบบการทดลองที่เหมาะสมสำหรับปลูกผลึก TGS ด้วยวิธีการระเหยด้วยความร้อนและใช้เงื่อนไขที่เหมาะสมดังกล่าวในขั้นตอนการปลูกผลึก TGS ทั้งกรณีผลึกบริสุทธิ์ รวมถึงกรณีผลึกที่ถูกเจือด้วย Cu 5% mol และ Zn 5% mol จากนั้นทำการศึกษาสมบัติต่างๆของผลึก ซึ่งจะนำผลที่ได้มาเปรียบเทียบคุณลักษณะและศึกษาสมบัติต่างๆ วิเคราะห์โครงสร้างโดยใช้เทคนิคการเลี้ยวเบนรังสีเอกซ์ และวิเคราะห์ผล XAS ด้วยเทคนิค XANES รวมทั้งอธิบายผลการศึกษาของหมู่ฟังก์ชันด้วยเทคนิค FT-IR ซึ่งจะได้กล่าวถึงรายละเอียดการวิเคราะห์สมบัติต่างๆ ในบทที่ 4 โดยเนื้อหาหลักของบทนี้จะเน้นรายละเอียดกระบวนการเตรียมสารตั้งต้นและเงื่อนไขที่ใช้ในการศึกษา

3.1 อุปกรณ์และสารเคมี

สารเคมีที่ใช้ในโครงการ

- ไตรไคลเซนซัลเฟต คุณภาพระดับ analytical ความบริสุทธิ์ >99.0% ยี่ห้อ ACROS ความสามารถในการละลายน้ำ 323.28 g/100 ml
- กรดซัลฟิวริก คุณภาพระดับ analytical มolar ค่าอนึ่งโมล 98.08 g/mol ยี่ห้อ MERCK ความสามารถในการแตกตัว 95-97% ความเข้มข้น 98%
- ซิงค์ซัลเฟต คุณภาพระดับ analytical ความบริสุทธิ์ 99.0% ยี่ห้อ MERCK ความสามารถในการละลายน้ำ 184.82 g/100 ml
- คอปเปอร์ซัลเฟต คุณภาพระดับ analytical ความบริสุทธิ์ 99.0% ยี่ห้อ CARLOERBA REAGENT ความสามารถในการละลายน้ำ 243 g/100 ml
- น้ำปราศจากไอออน (deionized water) หรือน้ำดีไอ (DI) สภาพความต้านทาน 18.2 MΩ-cm

อุปกรณ์ที่ใช้ในโครงการ

- บีกเกอร์
- อ่างควบคุมอุณหภูมิ
- หลอดทดลอง

4. ถุงพลาสติก
5. เครื่องกวนสาร
6. กระดาษกรอง
7. เครื่องควบคุมอุณหภูมิ
8. ข้อนตักสาร
9. โกร่งบดสาร
10. เครื่องซึ่งดิจิตอล
11. เครื่อง XAS รุ่น BL-8 (มหาวิทยาลัยเทคโนโลยีสุรนารี)
12. เครื่อง TG/DSC รุ่น Netzsch 449C Jupiter (มหาวิทยาลัยเทคโนโลยีสุรนารี)
13. เครื่อง XRD รุ่น D8 ADVANCE (มหาวิทยาลัยเทคโนโลยีสุรนารี)
14. เครื่อง XRD รุ่น Bruker's X-ray diffraction D8-discover
(มหาวิทยาลัยเทคโนโลยีสุรนารี)
15. เครื่อง FT-IR รุ่น PERKIN ELMER spectrum GX FT-IR system
(มหาวิทยาลัยมหาสารคาม)

3.2 การทดลองเบื้องต้น

กระบวนการปลูกผลึกโดยปกติจะได้รับอิทธิพลต่างๆ จากปัจจัยทางกายภาพได้แก่ พื้นที่ผิวเปิด พื้นที่ผิวของสารละลาย ความชื้น และ ความดัน ปัจจัยเหล่านี้หากอยู่ในสภาพที่ไม่เหมาะสมจะส่งผลต่อ การปลูกผลึก อาจทำให้เกิดการเจริญเติบโตช้าและมีขนาดเล็กเนื่องจากสารละลายอยู่ในโซนลากาย การปลูกผลึกแต่ละชนิดจำเป็นต้องใช้วิธีที่แตกต่างกันเพื่อให้เหมาะสมกับความสามารถในการละลายของสารเหล่านั้น ในโครงงานนี้ต้องการปลูกผลึก TGS บริสุทธิ์ ผลึก TGS ที่เจือด้วย Cu และ ผลึก TGS ที่เจือด้วย Zn อย่างไรก็ตาม ปัจจัยและเงื่อนไขต่างๆ สำหรับการปลูกผลึก TGS ไม่พบใน เอกสารการวิจัยที่สืบคัน ดังนั้น เพื่อให้สามารถออกแบบการทดลองการปลูกผลึก TGS ที่ถูกต้องและ เหมาะสมจึงได้ทำการศึกษาปัจจัยแวดล้อมต่างๆ ทางกายภาพที่อาจส่งผลต่อกระบวนการปลูกผลึก TGS โดยโครงงานนี้ ทำการทดลองเพื่อศึกษาตัวแปรทางกายภาพต่างๆ ได้แก่ พื้นที่ผิวเปิด ขนาดพื้นที่ผิวของ สารละลาย ชนิดของสาร อัตราการระเหย และอุณหภูมิ

3.2.1 การศึกษาปัจจัยพื้นที่ผิวเปิด

ปัจจัยพื้นที่ผิวเปิดเป็นปัจจัยที่ส่งผลต่ออัตราการระเหยของตัวทำละลายโดยตรง เพื่อให้สามารถ ออกแบบการทดลองที่เหมาะสมกับการปลูกผลึกด้วยวิธีการระเหยด้วยความร้อน โครงงานนี้จึง ทำการศึกษาปัจจัยพื้นที่ผิวเปิด

ในการศึกษาปัจจัยของขนาดพื้นที่ผิวเปิดต่ออัตราการระเหยของน้ำ เลือกใช้บีกเกอร์ขนาด 200 ml ซึ่งมีเส้นผ่านศูนย์กลาง (R) เท่ากับ 7.5 cm และมีรัศมี (r) เท่ากับ 3.75 cm ในการทดลองนี้จะคำนวณพื้นที่ผิวเปิดในการระเหยเป็นเปอร์เซ็นต์ของพื้นที่ผิวทั้งหมดของบีกเกอร์ โดยเปิดพื้นที่ผิวสำหรับการระเหยขนาด 0% 1% 2% 5% 10% และ 100% และใช้น้ำ DI ในการทดลอง โดยศึกษาเปรียบเทียบผลกระทบที่เกิดขึ้นที่อุณหภูมิห้องและที่อุณหภูมิ 49 °C

3.2.2 การศึกษาปัจจัยขนาดพื้นที่ผิวของสารละลาย

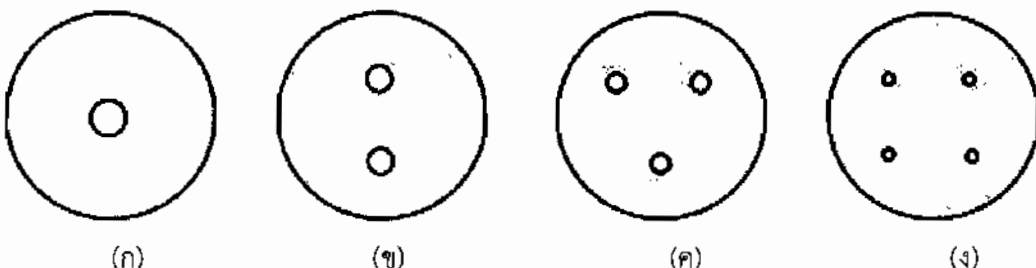
การศึกษาปัจจัยขนาดพื้นที่ผิวของสารละลาย เป็นการศึกษาประกอบไปด้วยขนาดของพื้นที่ผิวของสารละลาย โดยศึกษาขนาดและรูปแบบการกระจายตัวของพื้นที่ผิวเปิดมีผลต่ออัตราการระเหยอย่างไร

ในการศึกษาปัจจัยของขนาดพื้นที่ผิวของสารละลายต่ออัตราการระเหย ทำการเปิดพื้นที่ผิวสำหรับการระเหย 10% และใช้บีกเกอร์ที่มีขนาดต่างกัน คือ 200 500 800 และ 1,000 ml โดยใช้น้ำ DI ในการทดลองและศึกษาเปรียบเทียบผลกระทบที่เกิดขึ้นที่อุณหภูมิห้องและที่อุณหภูมิ 49 °C

3.2.3 การศึกษาปัจจัยตำแหน่งของพื้นที่ผิวเปิด

การศึกษาปัจจัยตำแหน่งของพื้นที่ผิวเปิด เป็นการศึกษาไปด้วยรูปแบบการกระจายตัวของพื้นที่ผิวเปิด

ในการศึกษาปัจจัยของตำแหน่งของพื้นที่ผิวเปิดต่ออัตราการระเหย ซึ่งการทดลองนี้ เลือกใช้บีกเกอร์ขนาด 200 ml โดยกำหนดตำแหน่งของพื้นที่ผิวเปิดออกเป็น 4 รูปแบบคือ เปิดพื้นที่ผิวเปิดจำนวน 1 2 3 และ 4 รู ตามลำดับ โดยควบคุมการเปิดพื้นที่ผิวรวมขนาด 10% ของพื้นที่ผิวทั้งหมดสำหรับการระเหยทั้ง 4 รูปแบบ ดังภาพประกอบ 3.1 และใช้น้ำ DI ในการทดลองโดยศึกษาเปรียบเทียบผลกระทบที่เกิดขึ้นที่อุณหภูมิห้องและที่อุณหภูมิ 49 °C



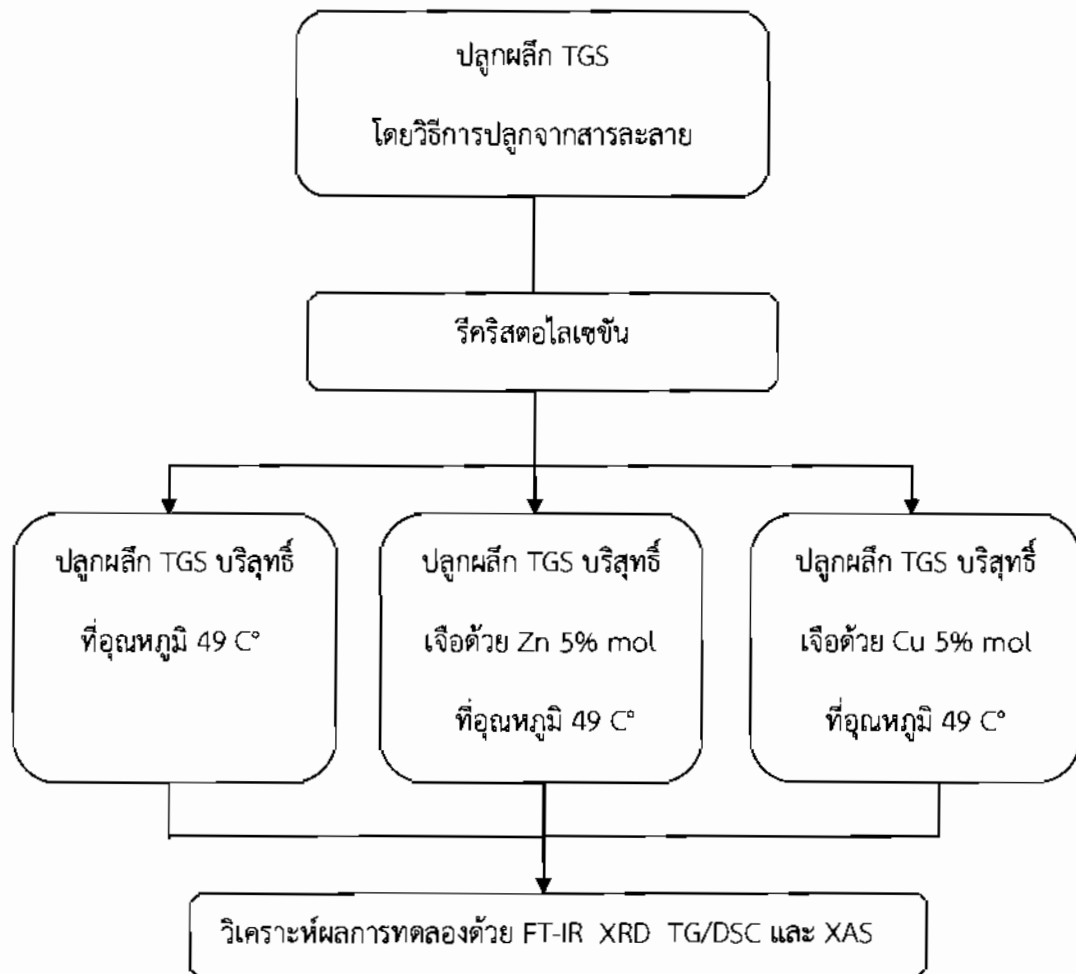
ภาพประกอบที่ 3.1 (ก) พื้นที่ผิวเปิดจำนวน 1 รู มีรัศมีเท่ากับ 1.18 cm

(ข) พื้นที่ผิวเปิดจำนวน 2 รู มีรัศมีเท่ากับ 0.59 cm

(ค) พื้นที่ผิวเปิดจำนวน 3 รู มีรัศมีเท่ากับ 0.39 cm

(ง) พื้นที่ผิวเปิดจำนวน 4 รู มีรัศมีเท่ากับ 0.29 cm

จากการทดลองเบื้องต้นพบว่า ปัจจัยขนาดพื้นที่ผิวเปิด ตัวแหน่งและระยะห่างของพื้นที่ผิวเปิด มีอุณหภูมิเป็นปัจจัยหลักที่ส่งผลต่ออัตราการระเหย ดังนั้น จึงทำการออกแบบการทดลองในการปลูกผลึกจริง โดยอ้างอิงจากเงื่อนไขจากการทดลองเบื้องต้น ในโครงงานนี้จะปลูกผลึก TGS บริสุทธิ์ โดยจะทำการรีคริสตอลไซเซชันผลึก TGS ที่อุณหภูมิ 60°C สองครั้ง จากนั้นจะทำการปลูกผลึกจริง ซึ่งแบ่งการปลูกผลึกออกเป็น 3 ขั้นตอน คือ ปลูก TGS บริสุทธิ์ ปลูกผลึก TGS ที่เจือด้วย Cu 5% mol และปลูกผลึก TGS ที่เจือด้วย Zn 5% mol ที่อุณหภูมิ 49°C โดยมีวิธีดำเนินงานตามขั้นตอน ดังแผนภาพประกอบ 3.2



ภาพประกอบ 3.2 ขั้นตอนการดำเนินงาน

3.3 ขั้นตอนการปลูกผลึกจากสารละลาย

3.3.1 การปลูกผลึก TGS เพื่อรีคริสตอลไซเซชัน

การปลูกผลึก TGS เพื่อรีคริสตอลไซเซชัน มีขั้นตอนในการปลูกดังนี้

1. ล้างบีกเกอร์ด้วยน้ำ DI 2 ครั้ง
2. เตรียมไกลซีนและกรดซัลฟิวริกในอัตราส่วน 3:1 โดยทำการซั่งสารไกลซีนปริมาณ 225 g และหุงกรดซัลฟิวริก 56 cm³ (ขนาดความลามารถในการแตกตัวของกรดซัลฟิวริก)
3. ทำการละลายไกลซีนในน้ำ DI ในอัตราส่วน คือ สารไกลซีน 225 g ต่อน้ำ DI ปริมาณ 1,070 ml โดยเติมสารไกลซีนที่ลับน้อยจนกว่าสารจะละลายหมด
4. เติมกรดซัลฟิวริก 56 cm³ ลงไปทีละน้อยจนกว่ากรดซัลฟิวริกหมด
5. ติดตั้งอุปกรณ์สำหรับการกรอง โดยนำสารละลายที่ได้ไปกรองด้วยกระดาษกรองจากนั้นนำสารละลายที่กรองเสร็จ ไปเก็บในอ่างควบคุมอุณหภูมิที่อุณหภูมิ 60 °C (พื้นที่ผิวน้ำเปิด 100%)
6. จดบันทึกผลการทดลอง

3.3.2 การรีคริสตอลไซเซชันผลึก TGS

1. ล้างบีกเกอร์ด้วยน้ำ DI 2 ครั้ง
2. นำผลึก TGS ที่ปลูกได้ มาบดให้ละเอียด
3. ซั่งสาร TGS ปริมาณ 100 g
4. ทำการละลายสาร TGS ในน้ำ DI ในอัตราส่วน สาร TGS 100 g ต่อน้ำ DI 370 ml
5. เติมสาร TGS ที่ลับน้อยจนกว่าสารจะหมด
6. ติดตั้งอุปกรณ์สำหรับการกรอง โดยนำสารละลายที่ได้ไปกรองด้วยกระดาษกรอง
7. นำไปเก็บในอ่างควบคุมอุณหภูมิที่อุณหภูมิ 60 °C
8. เปิดพื้นที่ผิวน้ำเปิด 100% จากนั้นดูอัตราการระเหย เมื่อน้ำระเหยออกไปประมาณ 150 ml จึงทำการปิดพื้นที่ผิวน้ำเปิด 10% (จากผลการทดสอบของการปลูกผลึก TGS เพื่อรีคริสตอลไซเซชัน พบว่า เมื่อสารละลายระเหยออก 40-45% จะเริ่มเกิดการแตกผลึก ดังนั้น ในการรีคริสตอลไซเซชันผลึก TGS เมื่อน้ำระเหยออก 40% (ความเข้มข้น 0.42 g/ml) จึงทำการลดพื้นที่ผิวน้ำเป็น 10% ทั้งนี้เพื่อลดระยะเวลา ในการเพิ่มความเข้มข้นของสารละลายให้อยู่ในบริเวณอิมตัวยิ่งยวดใกล้กับขอบระหว่างโซนกึ่งเสถียรกับโซนสาหابย)
9. ปล่อยให้เกิดการแตกผลึกพร้อมบันทึกผลการทดสอบ

3.3.3 การปัลอกผลึก TGS

จากข้อมูลการรีคิริสตอไอลเซชันผลึก TGS พบว่า ผลึกจะเริ่มเกิดที่ความเข้มข้น 0.45 g/ml ดังนั้น ในการปัลอกผลึกในตอนที่ 1-3 ช่วงแรกจะเร่งอุณหภูมิในการปัลอกผลึกเป็นอุณหภูมิ 60°C เพื่อเร่ง การระเหยของสารละลายจากความเข้มข้นเริ่มต้นประมาณ 0.25 g/ml เป็นความเข้มข้นประมาณ 0.42 g/ml จากนั้นลดอุณหภูมิเป็น 49°C เมื่อน้ำระเหยไปประมาณ 80 ml จึงลดพื้นที่ผิวน้ำเปิดเป็น 10%

ตอนที่ 1 ปัลอกผลึก TGS บริสุทธิ์

1. ล้างบีกเกอร์ด้วยน้ำ DI 2 ครั้ง
2. จากนั้นนำผลึก TGS ที่ปัลูกได้ โดยผ่านกระบวนการรีคิริสตอไอลเซชัน 2 ครั้ง นาบดให้ลักษณะเป็นเม็ด
3. ซึ่งสาร TGS ปริมาณ 50 g
4. ทำการละลายสาร TGS ในน้ำ DI ในอัตราส่วนสาร TGS 50 g ต่อน้ำ DI 200 ml
5. เติมสาร TGS ที่ลักษณะอยู่ในรูปเม็ด
6. ติดตั้งอุปกรณ์สำหรับการกรอง โดยนำสารละลายที่ได้ไปกรองด้วยกระดาษกรอง
7. ใช้กระบวนการเร่งการระเหยเช่นเดียวกับขั้นตอนที่ 8 ในการรีคิริสตอไอลเซชัน
8. นำไปเก็บในอ่างควบคุมอุณหภูมิที่อุณหภูมิ 49 °C
9. ปล่อยให้เกิดการตกผลึกพร้อมบันทึกผลการทดลอง

ตอนที่ 2 ปัลอกผลึก TGS ที่เจือด้วย Cu 5% mol

1. ล้างบีกเกอร์ด้วยน้ำ DI หักหมด 2 ครั้ง
2. จากนั้นนำผลึก TGS ที่ปัลูกได้ โดยผ่านกระบวนการรีคิริสตอไอลเซชัน 2 ครั้ง นาบดให้ลักษณะเป็นเม็ด
3. ซึ่งสาร TGS ปริมาณ 50 g และซึ่งสาร CuSO_4 1.23 g
4. ทำการละลายสาร TGS ในน้ำ DI ในอัตราส่วนสาร TGS 50 g ต่อน้ำ DI 200 ml
- เติมสาร TGS ที่ลักษณะอยู่ในรูปเม็ด
5. ทำการเจือสาร Cu โดยเติมสาร CuSO_4 1.23 g ที่ลักษณะอยู่ในรูปเม็ด
6. ติดตั้งอุปกรณ์สำหรับการกรอง โดยนำสารละลายที่ได้ไปกรองด้วยกระดาษกรอง
7. ใช้กระบวนการเร่งการระเหยเช่นเดียวกับขั้นตอนที่ 8 ในการรีคิริสตอไอลเซชัน
8. นำไปเก็บในอ่างควบคุมอุณหภูมิที่อุณหภูมิ 49 °C
9. ปล่อยให้เกิดการตกผลึกพร้อมบันทึกผลการทดลอง

ตอนที่ 3 ปัลอกผลึก TGS ด้วยการเจือ Zn 5% mol

1. ล้างบีกเกอร์ด้วยน้ำ DI ทั้งหมด 2 รอบ
2. จากนั้นนำผลึก TGS ที่ปัลูกได้ โดยผ่านกระบวนการรีคริสตอไลเซชัน 2 ครั้ง มาบดให้ละเอียด
3. ซึ่งสาร TGS ปริมาณ 50 g และซึ่งสาร $ZnSO_4$ 2.22 g
4. ทำการละลายสาร TGS ในน้ำ DI ในอัตราส่วน สาร TGS 50 g ต่อน้ำ DI 200 ml
- เติมสาร TGS ที่เหลืออยู่จนกว่าสารจะหมด
5. ทำการเจือสาร Zn โดยเติมสาร $ZnSO_4$ 2.22 g ที่เหลืออยู่จนกว่าสารจะหมด
6. ติดตั้งอุปกรณ์สำหรับการกรอง โดยนำสารละลายที่ได้ไปกรองด้วยกรดาษกรอง
7. ใช้กระบวนการเร่งการระเหยเข่นเดียวกับขั้นตอนที่ 8 ในการรีคริสตอไลเซชัน
8. นำไปเก็บในอ่างควบคุมอุณหภูมิที่อุณหภูมิ 49°C
9. ปล่อยให้เกิดการตกผลึกพร้อมบันทึกผลการทดลอง

3.4 ขั้นตอนการวิเคราะห์ผล

3.4.1 การวิเคราะห์หมู่ฟิงก์ชันของผลึก

เทคนิค FT-IR ใช้แสงในช่วงเลขคู่ 4,000-400 cm^{-1} ผลึกตัวอย่างจะถูกบดให้เป็นผงละเอียดแล้วนำไปผสมกับสาร KBr ด้วยอัตราส่วนของผลึกที่ปัลูกได้ต่อ KBr เป็น 1:10 โดยมวล จากนั้นนำไปอัดให้เป็นแผ่นบางด้วยแรงกด 6 ตันต่อตารางนิ้ว แล้วนำไปวัดด้วยเครื่อง FT-IR รุ่น PERKIN ELMER spectrum GX FT-IR system

3.4.2 การศึกษาการเลี้ยวเบนของรังสีเอกซ์

เทคนิค single-crystal X-ray diffraction ผลึกตัวอย่างถูกเตรียมให้มีขนาดประมาณ $0.2 \times 0.2 \times 0.4 \text{ mm}^3$ แล้วนำไปวัดด้วยเครื่อง XRD รุ่น D8 ADVANCE และ เทคนิค powder X-ray diffraction ผลึกตัวอย่างที่ปัลูกได้จะถูกบดให้เป็นผงละเอียด จากนั้นตักใส่โซลเดอร์ แล้วนำไปวัดด้วยเครื่อง XRD รุ่น Bruker's X-ray diffraction D8-discover

3.4.3 การศึกษาเชิงความร้อน

การศึกษาเชิงความร้อนด้วยเทคนิค TG/DSC ผลึกตัวอย่างจะถูกบดให้เป็นผงละเอียด จากนั้นเตรียมให้มีน้ำหนักประมาณ 3-5 mg แล้วนำไปใส่บนajanหลุมขนาดเล็ก ทำการวัดอัตราการสูญเสียมวลด้วยเครื่อง TG/DSC รุ่น Netzsch 449C Jupiter โดยศึกษาในช่วงอุณหภูมิ $30\text{-}500^{\circ}\text{C}$

3.4.4 การศึกษาการดูดกลืนของรังสีเอกซ์

เทคนิค XAS หลักตัวอย่างจะถูกนำไปชัดด้วยเจลเพชร (diamond gel) ให้มีลักษณะเป็นแผ่นบาง โดยมีขนาดพื้นที่ประมาณ $0.5 \times 1 \text{ cm}^2$ จากนั้นนำไปวัดด้วยเครื่อง XAS โดยศึกษาที่ช่วงพลังงาน 8,000–10,000 eV

บทที่ 4

ผลการทดลองและการอภิปรายผล

ในบทนี้จะกล่าวถึงผลการทดลองเบื้องต้น ผลการรีเคริสตอลайเซชันฟลีก ผลของการปลูกฟลีก และอภิปรายผล การศึกษาการปลูกฟลีกและสมบัติพื้นฐานของฟลีก ฟลีก TGS บริสุทธิ์ ฟลีก TGS ที่เจือด้วย Cu 5% mol และ ฟลีก TGS ที่เจือด้วย Zn 5% mol ซึ่งจะนำผลที่ได้มาเปรียบเทียบ คุณลักษณะและวิเคราะห์สมบัติต่างๆ ของฟลีกได้แก่ การศึกษาหนูพิงก์ชันด้วยเทคนิค FT-IR การศึกษา การเลี้ยวเบนของรังสีเอกซ์ การวิเคราะห์เชิงความร้อน และการศึกษาการดูดกลืนรังสีเอกซ์

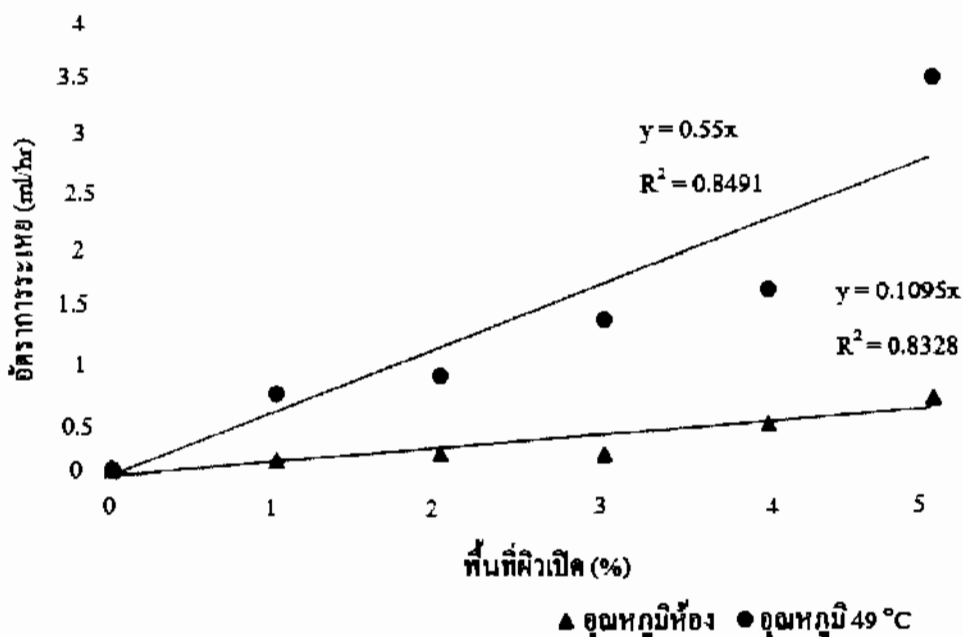
4.1 ผลการทดลองเบื้องต้น

4.1.1 ผลการศึกษาปัจจัยพื้นที่ผิวเปิด

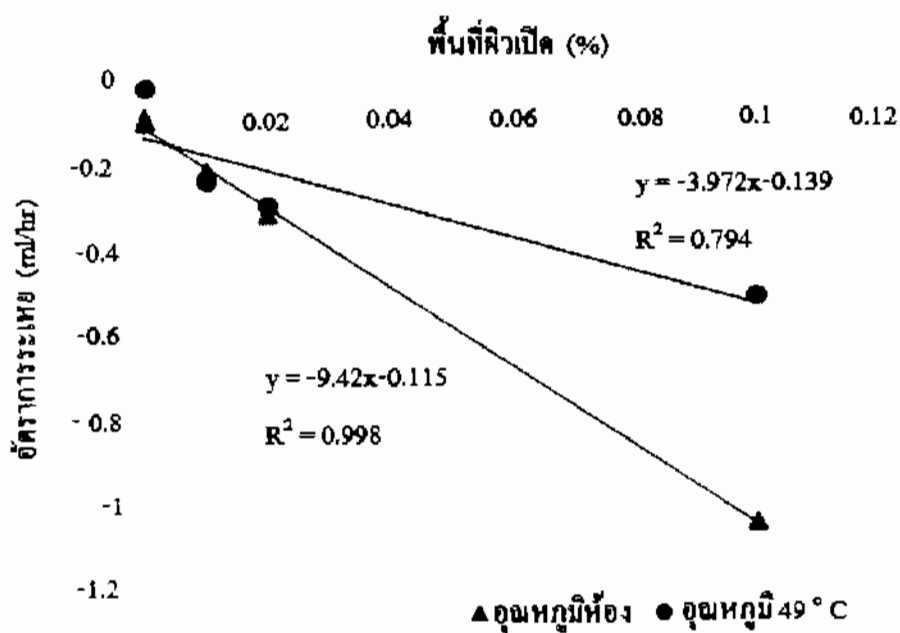
ภาพประกอบ 4.1 แสดงผลการศึกษาปัจจัยของขนาดพื้นที่ผิวเปิดต่ออัตราการระเหยของน้ำ พบว่า เมื่อขนาดพื้นที่ผิวเปิดเพิ่มขึ้น อัตราการระเหยจะเพิ่มขึ้นในลักษณะเชิงเส้นทั้งกรณีที่ทดลอง ที่อุณหภูมิห้องและที่อุณหภูมิ 49 °C โดยพื้นที่ผิวเปิดขนาดเล็กจะส่งผลให้เกิดการถ่ายเทไอน้ำไปสู่ สิ่งแวดล้อมได้น้อย ทำให้มีปริมาณไอน้ำมากในพื้นที่ว่างเหนือสารละลาย ดังนั้น อัตราการระเหยของ ไมเลกุลน้ำจากสารละลายจะมีค่าน้อย ในทางตรงกันข้าม เมื่อพื้นที่ผิวเปิดมีขนาดใหญ่ จะทำให้เกิดการ ถ่ายเทไอน้ำไปสู่สิ่งแวดล้อมได้มาก ทำให้มีปริมาณไอน้ำน้อยในพื้นที่ว่างเหนือสารละลาย ดังนั้น อัตรา การระเหยของไมเลกุลน้ำจากสารละลายจึงมีค่ามาก

เมื่อพิจารณาผลของอุณหภูมิต่อการระเหยของไมเลกุลน้ำ พบว่า ความชันระหว่างอัตราการ ระเหยกับพื้นที่ผิวเปิดที่อุณหภูมิ 49 °C มีค่า 0.55 ml/hr ในขณะที่ ความชันระหว่างอัตราการระเหย กับพื้นที่ผิวเปิดที่อุณหภูมิห้อง มีค่า 0.11 ml/hr แสดงให้เห็นว่า เมื่ออุณหภูมิเพิ่มขึ้นจะส่งผลให้อัตราใน การระเหยเพิ่มขึ้น แต่อย่างไรก็ตาม ในโครงงานนี้จะศึกษาการระเหยของน้ำที่อุณหภูมิ 49 °C เท่านั้น เพราะอุณหภูมิที่ 49 °C เป็นอุณหภูมิคิรี (Curie temperature) ซึ่งเป็นอุณหภูมิที่สาร TGS เกิดการ เปลี่ยนเฟสและแสดงสมบัติเพอร์โටอิเล็กทริก จึงใช้อุณหภูมนี้เป็นเงื่อนไขในการปลูกฟลีก

จากการประกอบ 4.1 เมื่อพิจารณาลักษณะความแปรปรวนของการระเหยที่อุณหภูมิห้อง พบว่า เมื่อเปรียบเทียบกับเส้นแนวโน้มจุดข้อมูลมีความคลาดเคลื่อนต่ำ แสดงว่าการระเหยที่ อุณหภูมิห้องจะมีความแปรปรวนต่ำ ในขณะที่อุณหภูมิ 49 °C พบว่า จุดข้อมูลมีความคลาดเคลื่อนออก จำกัดแนวโน้มสูงและไม่เป็นเส้น แสดงว่าเมื่ออุณหภูมิสูงขึ้น จะทำให้มีความแปรปรวนของการ ระเหยเพิ่มขึ้น ทั้งนี้อาจเป็นเพราะที่อุณหภูมิสูงพังงานความร้อนมีการกระจายตัวที่ไม่สม่ำเสมอเมื่อ เทียบกับอุณหภูมิห้อง จึงทำให้เกิดความแปรปรวนสูงในกระบวนการเปลี่ยนสถานะของน้ำจากของเหลว เป็นก๊าซ จากภาพประกอบ 4.2 สามารถหาความสัมพันธ์ได้ดังสมการ



ภาพประกอบ 4.1 ความสัมพันธ์ระหว่างอัตราการระเหยกับพื้นที่ผิวน้ำ



ภาพประกอบ 4.2 ความสัมพันธ์ระหว่างอัตราการระเหยกับพื้นที่ผิวน้ำ

$$y = (0.66)(1 - 0.891(e^{-9.425 \left(\frac{A_{open}}{A_{beaker}} \right)})) \quad (4.1)$$

$$y = (3.36)(1 - 0.870(e^{-3.72 \left(\frac{A_{open}}{A_{beaker}} \right)})) \quad (4.2)$$

จากสมการ 4.1 ความสัมพันธ์พื้นที่ผิวเปิดต่ออัตราการระเหยที่อุณหภูมิห้อง และ สมการ 4.2 ความสัมพันธ์พื้นที่ผิวเปิดต่ออัตราการระเหยที่อุณหภูมิ 49°C พบว่า สมการที่ได้มีรูปแบบความสัมพันธ์ เป็นไปตามสมการ 4.3

$$y = y_0 (1 - k e^{-\alpha \frac{A}{A_0}}) \quad (4.3)$$

โดยที่ A คือ ขนาดพื้นที่ผิวเปิด และ A_0 คือ ขนาดพื้นที่ผิวของสารละลาย

จากสมการ 4.3 จะสังเกตได้ว่า ค่า k ที่อุณหภูมิห้องมีค่าเท่ากับ 0.891 และที่อุณหภูมิ 49°C มีค่าเป็น 0.870 ซึ่งเป็นค่าที่ใกล้เคียงกัน แสดงให้เห็นว่า ค่า k เป็นค่าที่มีแนวโน้มไม่ขึ้นกับอุณหภูมิ ในขณะที่ y_0 ที่อุณหภูมิห้องจะมีค่า 0.66 และที่อุณหภูมิ 49°C มีค่าเป็น 3.36 ซึ่งแสดงให้เห็นว่าค่า y_0 เป็นค่าที่ขึ้นอยู่กับอุณหภูมิ ในขณะที่ค่า α ที่อุณหภูมิห้องมีค่าเป็น 9.425 และที่อุณหภูมิ 49°C มีค่าเป็น 3.72 แสดงว่าค่า α ขึ้นกับอุณหภูมิ ดังนั้น จากความสัมพันธ์ของสมการ 4.3 พบว่า เมื่ออุณหภูมิเปลี่ยนไปจะส่งผลต่อค่า y_0 และ α

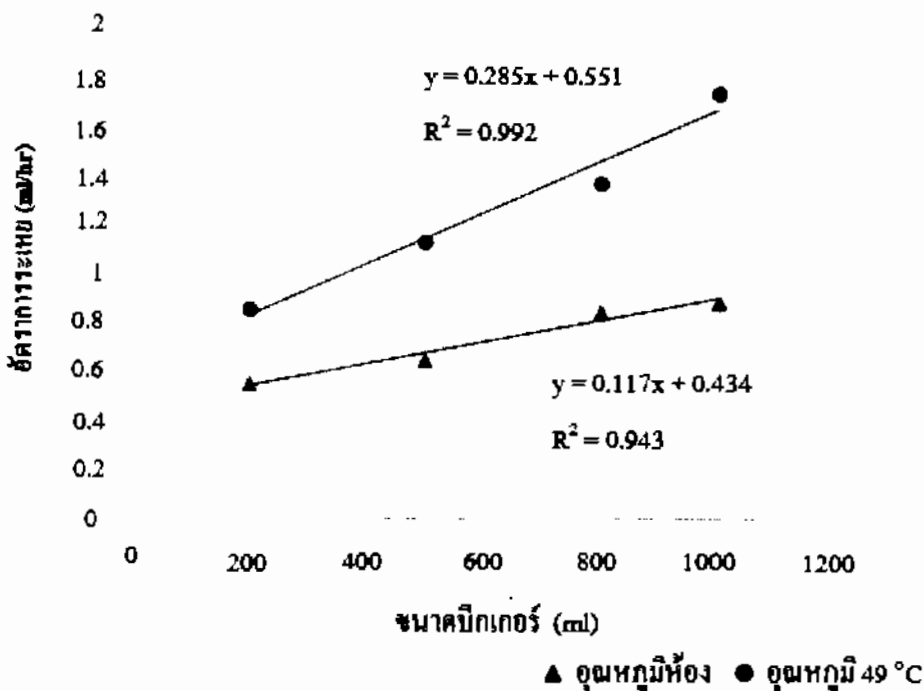
เนื่องไปในการทำโครงการนี้ ต้องการศึกษาผลลัพธ์ที่ปสุกที่อุณหภูมิคุรี (49°C) ซึ่งหากมีอัตราในการระเหยเร็วสูงจะส่งผลให้ผลลัพธ์ปสุกได้มีขนาดเล็ก จากข้อมูลที่ได้ พบว่า ที่อุณหภูมิ 49°C อัตราในการระเหยมีค่าสูงสุดอยู่ที่ 3.36 ml/hr ดังนั้น เพื่อควบคุมการระเหยให้อยู่ในระดับที่ไม่สูงเกินไป จึงเลือกใช้พื้นที่ผิวเปิดที่ทำให้เกิดการระเหยส่งผลให้ความเข้มข้นของสารละลายเปลี่ยนแปลงด้วยอัตราที่ต่ำกว่า $0.5\%/\text{hr}$ ซึ่งจะทำให้ไม่เกิดการแตกผลลัพธ์ขนาดเล็กจำนวนมาก พบว่า จากสมการ 4.2 พื้นที่ผิวเปิดประมาณ 10% จะทำให้มีอัตราการระเหยประมาณ 1.39 ml/hr หรือความเข้มข้นของสารละลายจะมีอัตราการเปลี่ยนแปลงประมาณ $0.35\%/\text{hr}$

4.1.2 ผลการศึกษาปัจจัยขนาดพื้นที่ผิวของสารละลาย

ภาพประกอบ 4.3 แสดงผลการศึกษาปัจจัยของขนาดพื้นที่ผิวของสารละลายต่ออัตราการระเหยของน้ำเปรียบเทียบผลกระทบที่เกิดขึ้นที่อุณหภูมิห้องและที่อุณหภูมิ 49°C พบว่า อัตราในการระเหยจะเพิ่มขึ้นในลักษณะเชิงเส้น โดยความข้นในกรณีสารละลายที่อุณหภูมิห้อง

มีค่า 0.117 ml/hr ในขณะที่ ความชันในการเส้นทางการระบายที่อุณหภูมิ 49°C มีค่า 0.285 ml/hr สามารถกล่าวได้ว่า อัตราการระเหยมีลักษณะเพิ่มขึ้นตามขนาดพื้นที่ผิวของสารละลาย โดยขนาดพื้นที่ผิวของสารละลายเพิ่มขึ้น อัตราการระเหยจึงเพิ่มขึ้นตาม เนื่องจากขนาดพื้นที่ผิวของสารละลายกว้างขึ้นทำให้พื้นที่ผิวในการเปลี่ยนสถานะเพิ่มขึ้น อัตราในการระเหยจึงเพิ่มสูงขึ้น แต่เมื่อขนาดพื้นที่ผิวของสารละลายน้อยลง พื้นที่ผิวในการเปลี่ยนสถานะลดลง ทำให้อัตราการระเหยลดลง

เนื่องจากสารไกลซีนมีราคาแพง และสามารถปลูกผลิตได้ยากขนาดใหญ่ของ TGS ดังนั้น เพื่อให้สามารถลดปริมาณสารที่ใช้ในการปลูกผลักด้วยอัตราการระเหยที่เหมาะสม ในการศึกษางานวิจัยนี้ จึงเลือกใช้บีกเกอร์ขนาด 800 ml ซึ่งมีอัตราในการระเหยใกล้เคียงกับอัตราการระเหยที่ $1,000 \text{ ml}$ แต่ใช้สารในปริมาณน้อยกว่าบีกเกอร์ขนาด $1,000 \text{ ml}$



ภาพประกอบ 4.3 ความสัมพันธ์ระหว่างอัตราการระเหยกับขนาดพื้นที่ผิวของสารละลาย

หมายเหตุ : บีกเกอร์ขนาด 200 ml มีพื้นที่ผิวสารละลายเท่ากับ 44.15 cm^2

: บีกเกอร์ขนาด 400 ml มีพื้นที่ผิวสารละลายเท่ากับ 75.50 cm^2

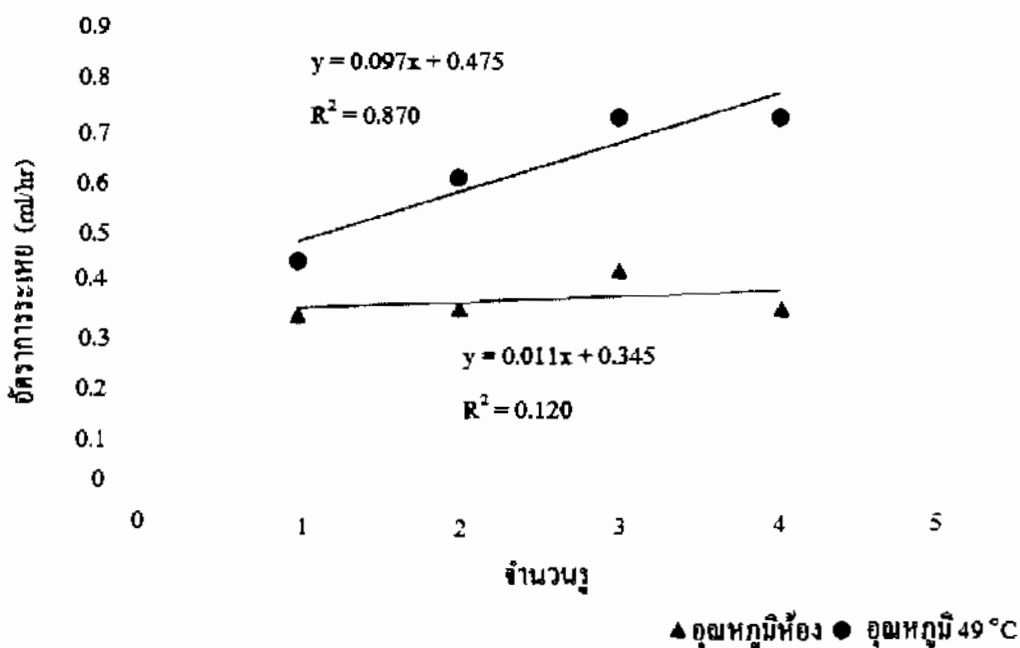
: บีกเกอร์ขนาด 800 ml มีพื้นที่ผิวสารละลายเท่ากับ 103.81 cm^2

: บีกเกอร์ขนาด 1000 ml มีพื้นที่ผิวสารละลายเท่ากับ 118.76 cm^2

4.1.3 ผลการศึกษาปัจจัยตำแหน่งของพื้นที่ผิวเปิด

ภาพประกอบ 4.4 แสดงผลการการศึกษาปัจจัยของตำแหน่งของพื้นที่ผิวเปิดต่ออัตราการระเหยของน้ำเปรียบเทียบผลกระทบที่เกิดขึ้นที่อุณหภูมิห้องและที่อุณหภูมิ 49°C พบว่า มีอัตราในการระเหยที่ใกล้เคียงกันซึ่งกราฟมีลักษณะเป็นเส้นตรง โดยมีความชันในกรณีการละลายที่อุณหภูมิห้อง มีค่า 0.011 mL/hr ในขณะที่ ความชันในกรณีการละลายที่อุณหภูมิ 49°C มีค่า 0.097 mL/hr ความชันของเส้นกราฟทั้ง 2 กรณีมีค่าเข้าใกล้ศูนย์จึงทำให้มีเลี้ยวกราฟลักษณะเป็นเส้นตรง และดังให้เห็นว่า ในการกำหนดตำแหน่งและระยะห่างของพื้นที่ผิวเปิดมีขนาดพื้นที่ผิวเปิดที่เท่ากันและประกอบกับอ่อนน้ำเป็นของเหลว จึงทำให้สามารถเกิดการถ่ายเทกับสิ่งแวดล้อมได้ทุกตำแหน่งของพื้นที่ผิวเปิด ทำให้อัตราการระเหยมีค่าใกล้เคียงกัน

แต่อย่างไรก็ตาม ในโครงการนี้จะเลือกใช้ การเปิดพื้นที่ผิวที่มีลักษณะตามภาพประกอบ 3.1 (๑) เนื่องจากมีการกระจายตัวอย่างสม่ำเสมอและเท่ากัน โดยการเปิดพื้นที่ผิวลักษณะนี้ จะทำให้มีการระเหยได้ทั่วถึงทุกจุด และลดสิ่งเจือปนขนาดใหญ่ เนื่องจากใช้รูขนาดเล็ก เพราะเมื่อพื้นที่ผิวเปิดมีขนาดใหญ่จะทำให้สิ่งเจือปนเข้าไปปนเปื้อนได้ง่ายกว่ากรณีพื้นที่ผิวเปิดที่มีรูขนาดเล็ก



ภาพประกอบ 4.4 ความสัมพันธ์ระหว่างอัตราการระเหยกับขนาดตำแหน่งของพื้นที่ผิวเปิด

4.2 ผลการรีคิริสตอยไลเซชันพลีก

จากการรีคิริสตอยไลเซชันพลีก TGS เพื่อให้พลีกมีความบริสุทธิ์ขึ้นและมีลักษณะโปร่งใส ข้อมูลที่ได้จากการสังเกตอัตราในการระเหยที่ทำให้เกิดการตกพลีก พบว่า ในกรณีสารละลายเริ่มต้น 370 ml บรรจุในบิกเกอร์ขนาด 800 ml เมื่อสารละลายระเหยประมาณ 140–150 ml จะเริ่มพบการตกพลีกภายในสารละลาย ดังนั้น พลีก TGS จะเริ่มเกิดที่ความเข้มข้นประมาณ 0.45 g/ml ที่อุณหภูมิ 60 °C แต่อย่างไรก็ตาม ไม่สามารถเตรียมสารละลายให้อยู่ในช่วงสภาวะสารอิมตัวอย่างวดได้โดยตรง ดังนั้น จึงต้องเตรียมสารละลายที่สภาวะอิมตัว จากนั้นปล่อยให้ตัวทำละลายระเหยออก จนความเข้มข้นเพิ่มขึ้น และสารละลายอยู่ในสภาวะอิมตัวอย่างวด ทั้งนี้ขึ้นต่อการรีคิริสตอยไลเซชันพลีก TGS ใช้ระยะเวลาทั้งหมด 28 วัน โดยพลีกที่ปลูกได้มีลักษณะโปร่งใสและมีขนาดเล็ก ซึ่งมีขนาดเฉลี่ยประมาณ $19 \times 10 \times 2.5 \text{ mm}^3$ เนื่องจากในการรีคิริสตอยไลเซชัน ใช้กระบวนการปลูกพลีก TGS ที่อุณหภูมิ 60 °C ทำให้มีอัตราในการระเหยเร็ว ส่งผลให้พลีกมีขนาดเล็ก



ภาพประกอบ 4.5 การปลูกพลีกไตรีกลซีนที่อุณหภูมิ 60 °C

4.3 ผลของการปลูกพลีก TGS บริสุทธิ์ และอภิปรายผล

ผลการปลูกพลีก TGS บริสุทธิ์ ดังภาพประกอบ 4.6



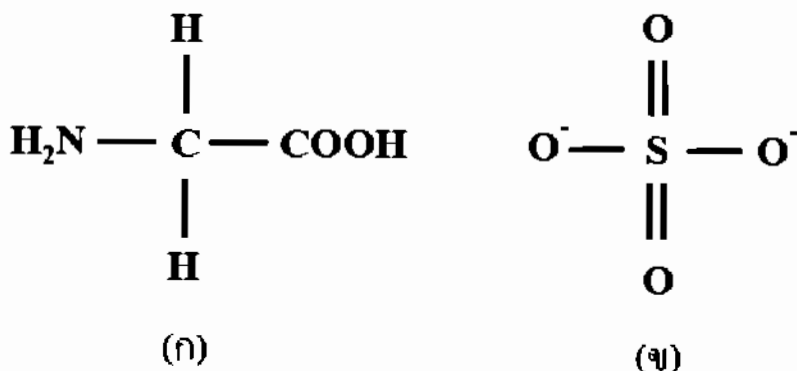
ภาพประกอบ 4.6 ภาพถ่ายลักษณะภายนอกของพลีก TGS บริสุทธิ์

จากการประกอบ 4.6 เป็นภาพที่ได้จากการปลูกหลัก TGS บริสุทธิ์ในการทดลองใช้ระยะเวลาทั้งหมด 47 วัน โดยผลลัพธ์เริ่มเกิดที่ความเข้มข้นประมาณ 0.45 g/ml (ใช้บีบีเกอร์ขนาด 300 ml และมีสารละลายเริ่มต้น 200 ml) ซึ่งผลลัพธ์ที่ปลูกได้มีขนาด $45 \times 18 \times 4.7 \text{ mm}^3$ มีน้ำหนักก่อนอบ 4.580 g และน้ำหนักหลังอบ 4.572 g นอกจากนี้ ผลลัพธ์ที่ได้มีลักษณะผิวเรียบ平整 ใส

4.3.1 การวิเคราะห์หมู่ฟังก์ชันของผลึก TGS บริสุทธิ์

เพื่อคึกคักของคุณประกอบของผลึกที่ปลูกได้ จึงทำการวิเคราะห์โมเลกุลที่ประกอบภายในผลึกที่ปลูกได้ โดยใช้เทคนิค FT-IR เพื่อวิเคราะห์พันธะในโมเลกุล โดยผลการวัดที่ได้จะถูกนำมาเปรียบเทียบ สเปกตรัมการคุ้ดกลืนแสงอินฟราเรดจากการวิจัยของ Balu [6]

ผลการวัดสเปกตรัมการส่องผ่านอินฟราเรดของผลึก TGS บริสุทธิ์ ที่เลขคิลีนต่างๆ แสดงดังภาพประกอบ 4.8 (ก) เส้นสเปกตรัมที่ได้แสดงการดูดกลืนแสงอินฟราเรด ซึ่งการดูดกลืนที่เกิดขึ้นเป็นผลมาจากการอันตราริยาระหว่างแสงกับพื้นธรหของโมเลกุล ดังนั้น ในการพิจารณาอย-dot การดูดกลืนเหล่านี้ จึงวิเคราะห์โดยอ้างอิงจากโครงสร้างพื้นฐานของโมเลกุลใกล้ชิด และซัลเฟต โครงสร้างของโมเลกุล ดังกล่าวแสดงดังภาพประกอบ 4.7 (ก) และ (ข)



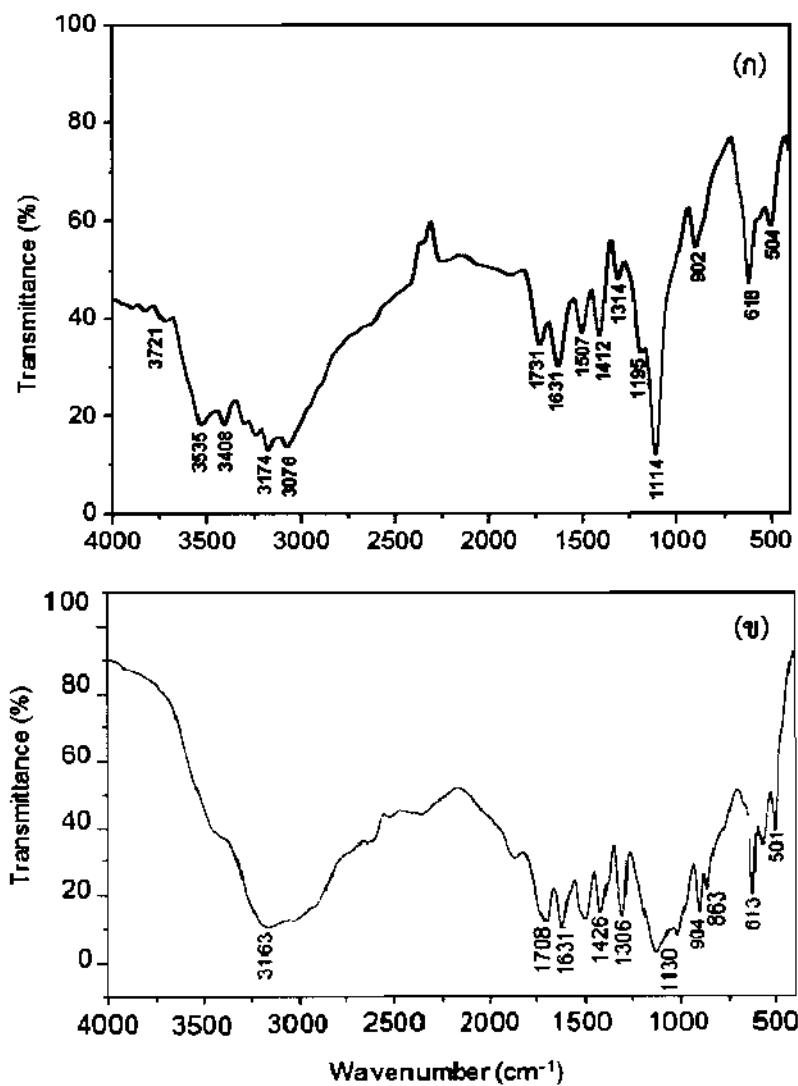
ภาคประกอบ 4.7 (ก) โครงสร้างโน้มเล็กน้อยลึกซึ้ง

(ข) โครงสร้างไม้เล็กสีล้วน

โครงสร้างโมเลกุลของไอกลีนประกอบไปด้วยหมู่ฟังก์ชันที่สำคัญ ได้แก่ หมู่คาร์บอซิลิก : -COOH (carboxylic group) หมู่อะมีโน : -NH₂ (amino group) และหมู่ไฮโดรคาร์บอน : C-H (hydrocarbon group) ในการวิเคราะห์หมู่คาร์บอซิลิกจะประกอบไปด้วยพันธะ C=O พันธะ C-O และพันธะ O-H สำหรับการวิเคราะห์หมู่อะมีโนจะประกอบไปด้วยพันธะ N-H และพันธะ C-N

การวิเคราะห์หมู่ไฮโดรคาร์บอนจะประกอบไปด้วยพันธุ์ C-H นอกจากนี้ ภาพประกอบ 4.7 (ข) แสดงโครงสร้างไม่เลกุลของชั้นเพทซึ่งประกอบด้วยพันธุ์ S-O และพันธุ์ S=O ซึ่งพันธุ์เหล่านี้จะมีการดูดกลืนเฉพาะที่แต่ละเลขคิ่น ดังนั้น ตำแหน่งยอดการดูดกลืนที่ตำแหน่งเลขคิ่นต่างๆ จะถูกใช้วิเคราะห์โครงสร้างของโมเลกุลภายใต้แสง

スペกตรัมที่ได้ในภาพประกอบ 4.8 (ก) จะถูกนำมาเปรียบเทียบกับスペกตรัมจากงานวิจัยของ Balu และคณะ [6] ตั้งภาพประกอบ 4.8 (ข) ผลการเปรียบเทียบแสดงดังตาราง 4.1 โดยการกำหนดพันธุ์ที่ดูดกลืนแสงอ้างอิงตามข้อมูลในเอกสารอ้างอิง [9]



ภาพประกอบ 4.8 สเปกตรัม FT-IR ของฟลีก TGS บริสุทธิ์

(ก) กรณีที่ปลูกได้จากโครงงาน

(ข) กรณีจากงานวิจัยของ Balu [6]

ตาราง 4.1 ตำแหน่งเลขค่าสัมบัณฑ์ของการสั่นจากพันธะของหมุนฟังก์ชันของสาร TGS บริสุทธิ์

หมุนฟังก์ชัน	พันธะ [9]	เลขค่าสัมบັບ (cm ⁻¹) TGS บริสุทธิ์	
		การทดลอง	งานวิจัย Balu [6]
-COOH	C=O (1690-1760 cm ⁻¹)	1731	1708
	C-O (1050-1300 cm ⁻¹)	1195	-
	O-H (3500-3650 cm ⁻¹)	3535	-
	C-C (800-1250 cm ⁻¹)	902	904 863
	H bond (2500-2700 cm ⁻¹)	-	-
-NH ₂	N-H (3300-3500 cm ⁻¹)	3408 3174	-
	C-N (1180-1360 cm ⁻¹)	1314	1306
-CH ₂	C-H (1340-1470 cm ⁻¹)	1412	1426
-SO ₄	S-O (1075-1125 cm ⁻¹)	1114 618	1130 613
	S=O (1030-1075 cm ⁻¹)	-	-

ตาราง 4.1 แสดงการคุณภาพของพันธะของหมุนฟังก์ชันต่างๆ โดยแต่ละช่วงบอกถึง การคุณภาพของพันธะของหมุนฟังก์ชันดังต่อไปนี้ ยอด 3408 cm⁻¹ และยอด 3174 cm⁻¹ เป็นยอด การคุณภาพของพันธะ N-H ลำหรับยอด 1314 cm⁻¹ เป็นยอดการคุณภาพของพันธะ C-N การ คุณภาพของพันธะ C=O ยอด 1195 cm⁻¹ เป็นการคุณภาพของพันธะ O-H และยอด 902 cm⁻¹ เป็นยอดการคุณภาพของพันธะ C-C ในขณะที่ยอด 3535 cm⁻¹ เป็นยอดการคุณภาพของพันธะ O-H และยอด 902 cm⁻¹ เป็นยอดการคุณภาพของ

พันธะ C-C ยอดการคูดกลืนแสงที่ต่ำແเน่งเหล่านี้แสดงถึงการคูดกลืนแสงของหมู่คาร์บอซิลิก แต่ทั้งนี้ไม่พบการคูดกลืนแสงในช่วงเลขค่านิ้ว 2500-2700 cm^{-1} ของ H bond ในหมู่คาร์บอซิลิก แสดงว่าไกลเซ็นไม่จับพันธะกับไกลเซ็น โดยไกลเซ็นจับพันธะกับ SO_4 จึงทำให้หมู่คาร์บอซิลิกไม่เกิดพันธะไอโอดีเจน ขณะที่ยอด 1412 cm^{-1} เป็นยอดการคูดกลืนแสงของพันธะ C-H ในหมู่ฟังก์ชันไฮโดรคาร์บอน จากรายการคูดกลืนที่พบเหล่านี้แสดงถึงพันธะในหมู่ฟังก์ชันของโมเลกุลไกลเซ็นครบ ดังนั้น สามารถยืนยันได้ว่าผลึกที่ปูลูกได้ในโครงงานนี้ มีองค์ประกอบโมเลกุลเป็นไกลเซ็น นอกจากนี้ ในหมู่ฟังก์ชันชัลเฟตพียอด 1114 cm^{-1} และยอด 618 cm^{-1} เป็นยอดการคูดกลืนแสงของพันธะ S-O แต่ไม่พบการคูดกลืนแสงของพันธะ S=O แสดงว่าการจับพันธะระหว่างไกลเซ็นและ SO_4 ทำให้เกิดการขัดขวางการสันของพันธะ S=O ดังนั้น จึงไม่พบยอดการคูดกลืนของพันธะ S=O อีกต่อไป สำหรับของโมเลกุลของไกลเซ็น และชัลเฟตที่พบ สามารถยืนยันได้ว่าผลึกที่ปูลูกในโครงงานนี้มีองค์ประกอบโมเลกุลเป็นผงสี TGS

4.3.2 การศึกษาการเลี้ยวเบนของรังสีเอกซ์ของผลึก TGS บริสุทธิ์

สำหรับการศึกษาโครงสร้างของผลึกที่ปูลูกได้ในโครงงานนี้ เทคนิคการเลี้ยวเบนของรังสีเอกซ์ ถูกใช้เพื่อศึกษาและพิชพารามิเตอร์ และระยะที่เกิดจากมุมการเลี้ยวเบน ผลึกที่ปูลูกได้ถูกนำมาตรวจสอบโดยเทคนิค single-crystal X-ray diffraction และเทคนิค powder X-ray diffraction

1. เทคนิค single-crystal X-ray diffraction

เทคนิคนี้ใช้เคราะห์ลักษณะโครงสร้างภายในของผลึกที่ปูลูกในโครงงานนี้ ผลที่ได้ถูกนำมาเปรียบเทียบกับงานวิจัยของ Balu และคณะ [6] แสดงดังตาราง 4.2

ตาราง 4.2 และพิชพารามิเตอร์ของ TGS บริสุทธิ์ ที่ปูลูกได้เทียบกับงานวิจัยของ Balu [6]

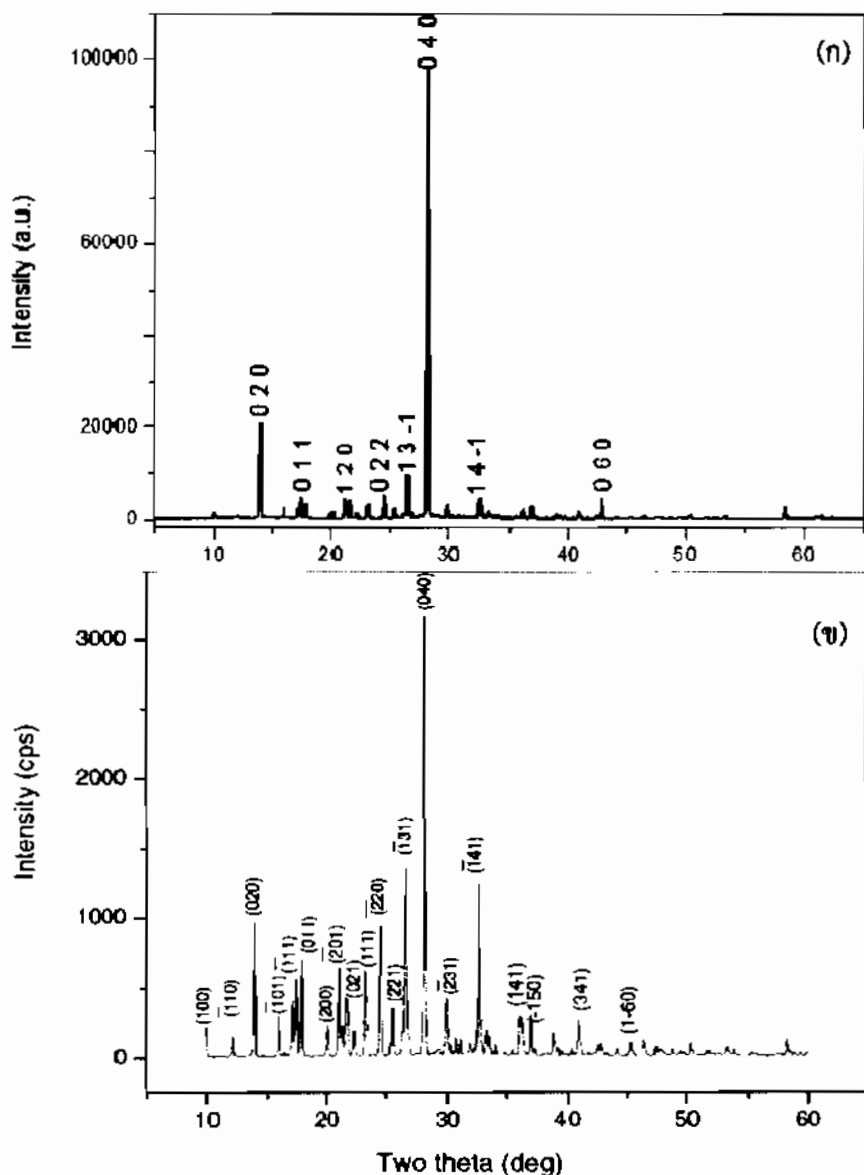
ผลึก TGS	ความยาวด้าน			ขนาดมุม		
	a (nm)	b (nm)	c (nm)	α	β	γ
งานวิจัย	0.915	1.262	0.572	90°	105.59°	90°
การทดลอง	0.916	1.264	0.572	90°	105.54°	90°

ตาราง 4.2 แสดงผลพิชพารามิเตอร์ของ TGS บริสุทธิ์ ที่ปูลูกได้เทียบกับงานวิจัยของ Balu [6] แสดงผลพิชพารามิเตอร์ของเซลล์หน่วย โดยที่แต่ละด้านประกอบด้วยความยาวแกน ดังต่อไปนี้ ด้าน a ยาว 0.916 nm สำหรับด้าน b ยาว 1.264 nm ขณะที่ด้าน c ยาว 0.572 และขนาดมุมของระยะ โดยที่มุม $\alpha = 90^\circ$ ขณะที่มุม $\beta = 105.54^\circ$ และมุม $\gamma = 90^\circ$ จากผลพิชพารามิเตอร์เหล่านี้ความยาวด้าน $a \neq b \neq c$ ที่ประกอบด้วยมุม $\alpha = \gamma = 90^\circ \neq \beta$ แสดงว่าผลึกที่ปูลูกในโครงงาน

มีโครงสร้างผลลัพธ์แบบโมโนคลินิก เมื่อเทียบกับงานวิจัยของ Balu และคณะ [6] พบร่วมกันแล้วที่พารามิเตอร์ต่างกัน ซึ่งแสดงว่าผลลัพธ์ที่ปลูกได้มีเซลล์หน่วยตรงกับกรณีผลลัพธ์ TGS มาตรฐาน

2. เทคนิค powder X-ray diffraction

ผลของスペกตรัมการเลี้ยงเบนที่ได้ถูกนำมาเปรียบเทียบกับงานวิจัยของ Balu และคณะ [6] ดังภาพประกอบ 4.9



ภาพประกอบ 4.9 สเปกตรัมการเลี้ยงเบนของรังสีเอกซ์ของผลลัพธ์ TG5 บริสุทธิ์
 (ก) กรณีที่ปลูกได้จากการทดลอง
 (ข) กรณีจากงานวิจัยของ Balu [6]

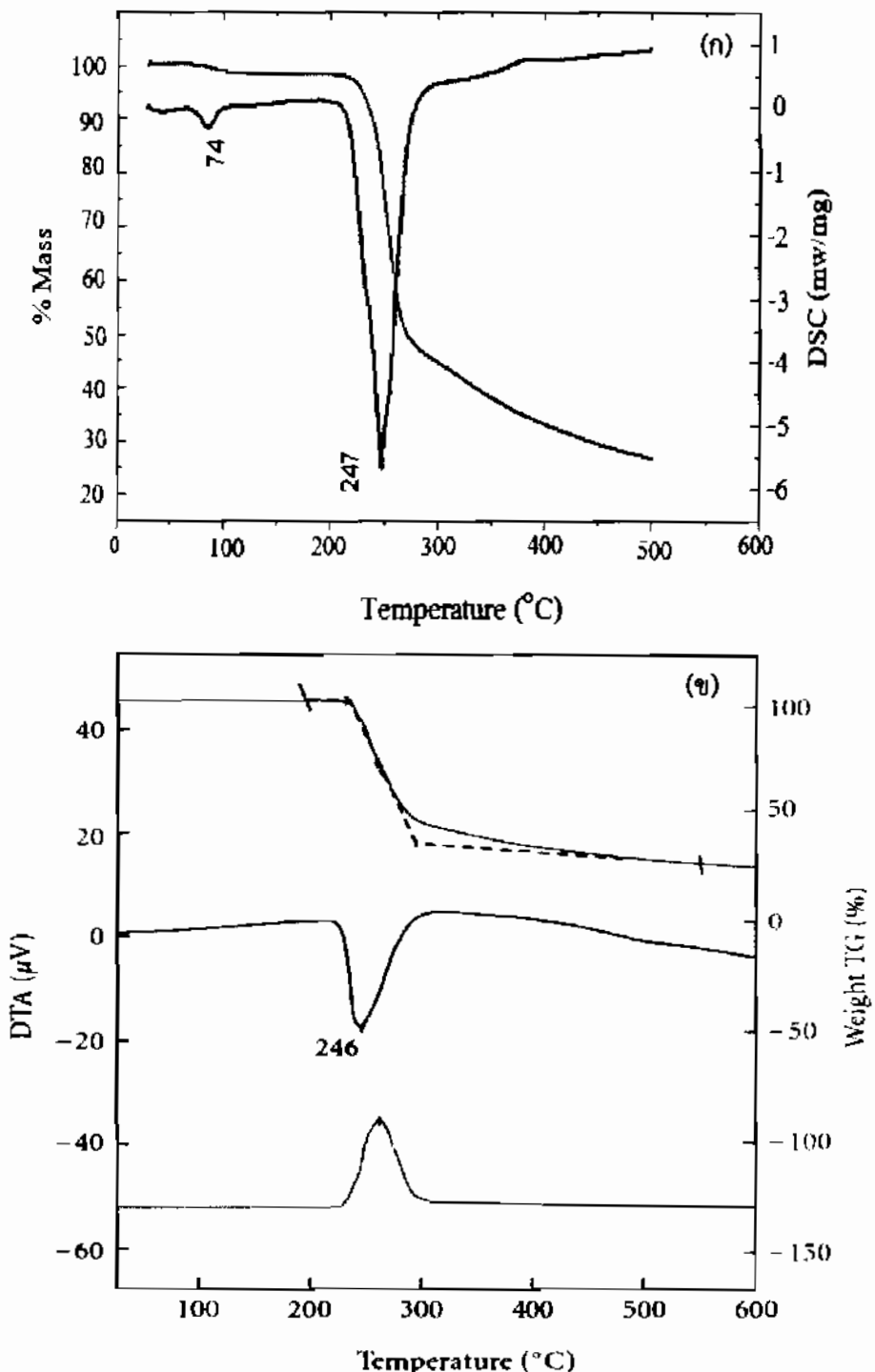
ผลการวัดสเปกตรัมการเลี้ยวเบนของผลึกที่มุ่งต่างๆ ระนาบที่เกิดจากการเลี้ยวเบน ขึ้นกับขนาดและองค์ประกอบของเซลล์หน่วย ขึ้นสารตัวอย่างจะมีระนาบที่เกิดจากมุมการเลี้ยวเบนเฉพาะสำหรับแต่ละผลึก ดังนั้น ระนาบที่เกิดจากการเลี้ยวเบนสามารถใช้ระบุโครงสร้างผลึกที่ปลูกได้ในโครงงาน

สเปกตรัมการเลี้ยวเบนรังสีเอกซ์ของผลึก TGS ที่ปลูกในโครงงาน แสดงดังภาพประกอบ 4.9 (ก) พบรนาบที่การเลี้ยวเบนของผลึกเกิดขึ้นในมุมการเลี้ยวเบนต่างๆ ดังนี้ ระนาบ (020) เกิดขึ้นที่มุม 14° ระนาบ (011) เกิดขึ้นที่มุม 17° สำหรับระนาบ (120) เกิดขึ้นที่มุม 21° ระนาบ (022) เกิดขึ้นที่มุม 24° สำหรับระนาบ (13\bar{1}) เกิดขึ้นที่มุม 26° ระนาบ (040) เกิดขึ้นที่มุม 28° ขณะที่ระนาบ (14\bar{1}) เกิดขึ้นที่มุม 32° และสำหรับระนาบ (060) เกิดขึ้นที่มุม 42° จากรนาบที่การเลี้ยวเบนเหล่านี้ถูกนำมาเปรียบเทียบกับงานวิจัยของ Balu และคณะ [6] ดังภาพประกอบ 4.9 (ข) แสดงให้เห็นถึงระนาบที่เกิดจากมุมการเลี้ยวเบนมีระนาบที่ต่างกัน แต่จำนวนยอดที่เกิดการเลี้ยวเบนพบน้อยกว่าในงานวิจัย Balu และคณะ [6] ทั้งนี้อาจเป็นเพราะยอดหลักที่พบมีความเข้มแสงที่สูง ดังนั้น จึงส่งผลให้พบเฉพาะระนาบที่สำคัญของผลึก TGS เท่านั้น จากรนาบที่พบเหล่านี้ สามารถยืนยันได้ว่าโครงสร้างของผลึกที่ปลูกได้ในโครงงาน มีโครงสร้างเป็นผลึก TGS

4.3.3 เทคนิคการวิเคราะห์เชิงความร้อนของผลึก TGS บริสุทธิ์

สำหรับการศึกษาเชิงความร้อนของผลึกที่ปลูกได้ในโครงงานเป็นการวิเคราะห์พฤติกรรมของผลึกตัวอย่างภายใต้การเปลี่ยนแปลงอุณหภูมิของสิ่งแวดล้อม ผลึกตัวอย่างถูกเตรียมให้มีขนาดประมาณ 5.495 mg เพื่อวิเคราะห์โดยเทคนิค DSC และเทคนิค TG ในช่วงอุณหภูมิระหว่าง $30-500^\circ\text{C}$ ผลของการวิเคราะห์ที่ได้จะถูกนำมาเปรียบเทียบกับงานวิจัย Farhana และ Jiban [14] ดังภาพประกอบ 4.10

ผลการวิเคราะห์การเปลี่ยนแปลงพลังงานความร้อนของผลึกเทียบกับอุณหภูมิที่เพิ่มขึ้น พบว่า มีการเปลี่ยนแปลงมวลที่ช่วงอุณหภูมิ ดังต่อไปนี้ ที่อุณหภูมิ 74°C น้ำหนักที่สูญเสียไปเกิดจากการระเหยของน้ำ ทั้งนี้ผลึกที่ปลูกได้มีจุดหลอมเหลวคงที่ที่อุณหภูมิ 247°C โดยมีสักษณะยอดของเส้นกราฟที่ขัดเจน แต่จากงานวิจัย Farhana และ Jiban มีจุดหลอมเหลวที่อุณหภูมิ 246°C ในขณะที่ผลการทดลองพบว่า อุณหภูมิของจุดหลอมเหลวที่เพิ่มขึ้น อาจเกิดจากการคลาดเคลื่อนในการวัดและเงื่อนไขในการทดสอบแตกต่างกัน ในขณะที่การเปลี่ยนแปลงที่อุณหภูมินากกว่า 270°C น้ำหนักที่สูญเสียไปในช่วงนี้เกิดจากกระบวนการสลายตัวของผลึก



ภาพประกอบ 4.10 การวิเคราะห์เชิงความร้อนของผลึก TGS บรูซิท

(ก) กรณีที่ปลูกได้จากโครงงาน

(ข) กรณีจากการวิจัยของ Farhana และ Jiban [14]

4.4 ผลของการปัลอกผลึก TGS ที่เจือด้วย Cu

ผลการปัลอกผลึก TGS เจือด้วย Cu 5% mol ดังภาพประกอบ 4.11



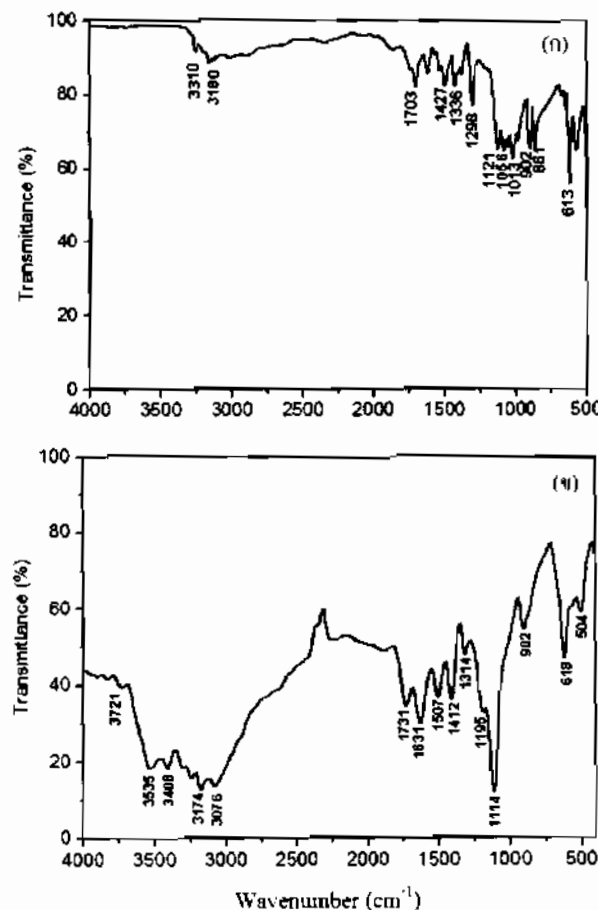
ภาพประกอบ 4.11 ภาพถ่ายลักษณะภายนอกของผลึก TGS เจือด้วย Cu 5% mol

จากภาพประกอบ 4.11 เป็นภาพที่ได้จากการปัลอกผลึก TGS เจือด้วย Cu 5% mol ในการทดลองใช้ระยะเวลาทั้งหมด 49 วัน โดยผลึกจะเริ่มเกิดที่ความเข้มข้นประมาณ 0.45 g/ml (ใช้บีบิกเกอร์ขนาด 300 ml และมีการละลายเริ่มต้น 200 ml) ผลึกที่ปัลูก้าได้มีขนาด $20 \times 10 \times 6.4 \text{ mm}^3$ มีน้ำหนักก้อนอบ 3.985 g และมีน้ำหนักหลังอบ 3.981 g นอกจากนี้ผลึกที่ได้มีลักษณะเป็นลีพ้าไปร่องใส ผิวไม่เรียบ

4.4.1 การวิเคราะห์หมุนผิง์ชันของผลึก TGS ที่เจือด้วย Cu

スペクトรัมที่ได้ในภาพประกอบ 4.12 (ก) จะถูกนำมาเปรียบเทียบกับスペกตรัมของผลึก TGS บริสุทธิ์ ดังภาพประกอบ 4.12 (ข) โดยการกำหนดพันธะที่คุณลักษณะของอังตุมามูลในเอกสารอ้างอิง [9] ผลการเปรียบเทียบแสดงดังตาราง 4.3 แสดงスペกตรัมการคุณลักษณะของอินฟราเรดของผลึก TGS ที่เจือด้วย Cu ซึ่งแต่ละช่วงบอกถึงการคุณลักษณะของพันธะของหมุนผิง์ชันดังต่อไปนี้ ยอด 1336 cm^{-1} เป็นยอดการคุณลักษณะของพันธะ C-N ในขณะที่ยอด 3310 cm^{-1} เป็นยอดการคุณลักษณะของพันธะ N-H การคุณลักษณะที่ตำแหน่งเหล่านี้แสดงถึงการคุณลักษณะของหมู่อะมิโนสำหรับยอด 1703 cm^{-1} เป็นยอดการคุณลักษณะของพันธะ C=O นอกจากนี้ยอด 1298 cm^{-1} เป็นการคุณลักษณะของพันธะ C-O สำหรับยอด 1013 cm^{-1} ยอด 902 cm^{-1} และยอด 861 cm^{-1} เป็นยอดการคุณลักษณะของพันธะ C-C ยอดการคุณลักษณะที่ตำแหน่งเหล่านี้เป็นการคุณลักษณะใน

หมู่คาร์บอซิลิก แต่ไม่พบพันธะ O-H ในหมู่คาร์บอซิลิก อาจเกิดจากการแตกตัวของหมู่คาร์บอซิลิกให้ H⁺ ลักษณะดังกล่าวทำให้การรวมตัวของโมเลกุลไกลเซ็นกับไอออนชัลเฟตจากเกิดพันธะที่แตกต่างจาก การเกิดพันธะปกติภายในโมเลกุล TGS และไม่พบการดูดกลืนแสงในช่วงเลขค่า $2500\text{-}2700\text{ cm}^{-1}$ ของ H bond ในหมู่คาร์บอซิลิก แสดงว่าไกลเซ็นไม่จับพันธะกับไกลเซ็น โดยไกลเซ็นจับพันธะกับ SO₄ จึงทำให้หมู่คาร์บอซิลิกไม่เกิดพันธะไฮโดรเจน ขณะที่ยอด 1427 cm^{-1} เป็นยอดการดูดกลืนของพันธะ C-H ในหมู่พังก์ชันไฮโดรคาร์บอน อีกทั้งยังพบการดูดกลืนแสงในหมู่ชัลเฟต โดยพบยอด 1121 cm^{-1} และยอด 613 cm^{-1} เป็นการดูดกลืนแสงของพันธะ S-O ในขณะที่ยอด 1056 cm^{-1} เป็นการ ดูดกลืนของพันธะ S=O ทั้งนี้ในผลึกบริสุทธิ์มีพบการดูดกลืนของพันธะ S=O ในหมู่ชัลเฟต เป็นไปได้ว่า ไกลเซ็นมีการจับพันธะกับ SO₄ จึงอาจขัดขวางการสันของ S=O แต่เมื่อมีการเจือ Cu ทำให้อะตอมของ Cu อาจเข้าไปแทรกในโครงผลึก TGS ล่งผลให้การจับพันธะของไกลเซ็นกับ SO₄ อ่อนลง จึงพบยอดการ ดูดกลืนของพันธะ S=O จากองค์ประกอบโมเลกุลของไกลเซ็นและชัลเฟตที่พบสามารถยืนยันได้ว่าผลึกที่ ปลูกในโครงงานนี้มีองค์ประกอบโมเลกุลเป็นผลึก TGS



ภาพประกอบ 4.12 สเปกตรัม FT-IR ของผลึก TGS

(ก) กรณีที่ถูกเจือ Cu 5% mol

(ข) กรณีของสารบริสุทธิ์

ตาราง 4.3 ตำแหน่งเลขค่าส์ของการสั่นจากพันธะของหมู่พังก์ชันของ TGS บริสุทธิ์ และ ผลึก TGS ที่เจือด้วย Cu

หมู่พังก์ชัน	พันธะ [9]	เลขค่าส์ (cm^{-1})	
		TGS เจือ Cu 5% mol	TGS บริสุทธิ์
-COOH	C=O (1690-1760 cm^{-1})	1703	1731
	C-O (1050-1300 cm^{-1})	1079 1298	1195
	O-H (3500-3650 cm^{-1})	-	3535
	C-C (800-1250 cm^{-1})	1013 902 861	902
	H bond (2500-2700 cm^{-1})	-	-
-NH ₂	N-H (3300-3500 cm^{-1})	3310	3408 3174
	C-N (1180-1360 cm^{-1})	1336	1314
-CH ₂	C-H (1340-1470 cm^{-1})	1427	1412
-SO ₄	S-O (1075-1125 cm^{-1})	1121 613	1114 618
	S=O (1030-1075 cm^{-1})	1056	-

4.4.2 การศึกษาการเลี้ยวเบนของรังสีเอกซ์ผลึก TGS ที่เจือด้วย Cu

สำหรับการศึกษาโครงสร้างของผลึก TGS ที่เจือด้วย Cu ที่ปัจจุบันได้ในโครงงานนี้ เทคนิคการเดี้ยวเบนของรังสีเอกซ์ ถูกใช้เพื่อศึกษาและติดตามรูปแบบที่เกิดจากมุมการเลี้ยวเบน ผลึกที่ปัจจุบันนำมาตรวจสอบโดยเทคนิค single-crystal X-ray diffraction และเทคนิค powder X-ray diffraction

1. เทคนิค single-crystal X-ray diffraction

ลักษณะโครงสร้างภายในของผลึกที่ปัจจุบันได้ในโครงงานนี้ ถูกวิเคราะห์ด้วยเทคนิค single-crystal X-ray diffraction ผลึกตัวอย่างถูกเตรียมให้มีขนาดประมาณ $0.05 \times 0.10 \times 0.10 \text{ mm}^3$ ผลที่ได้ถูกนำมาเปรียบเทียบกับผลึก TGS บริสุทธิ์ ลดลงดังตาราง 4.4

ตาราง 4.4 ผลตพิชพารามิเตอร์ของผลึกบริสุทธิ์ เทียบกับผลึกที่เจือด้วย Cu

ผลึก TGS	ความยาวด้าน			ขนาดมุม		
	a (nm)	b (nm)	c (nm)	α	β	γ
บริสุทธิ์	0.916	1.264	0.572	90°	105.54°	90°
เจือ Cu 5% mol	1.831	2.528	0.572	90°	105.52°	90°

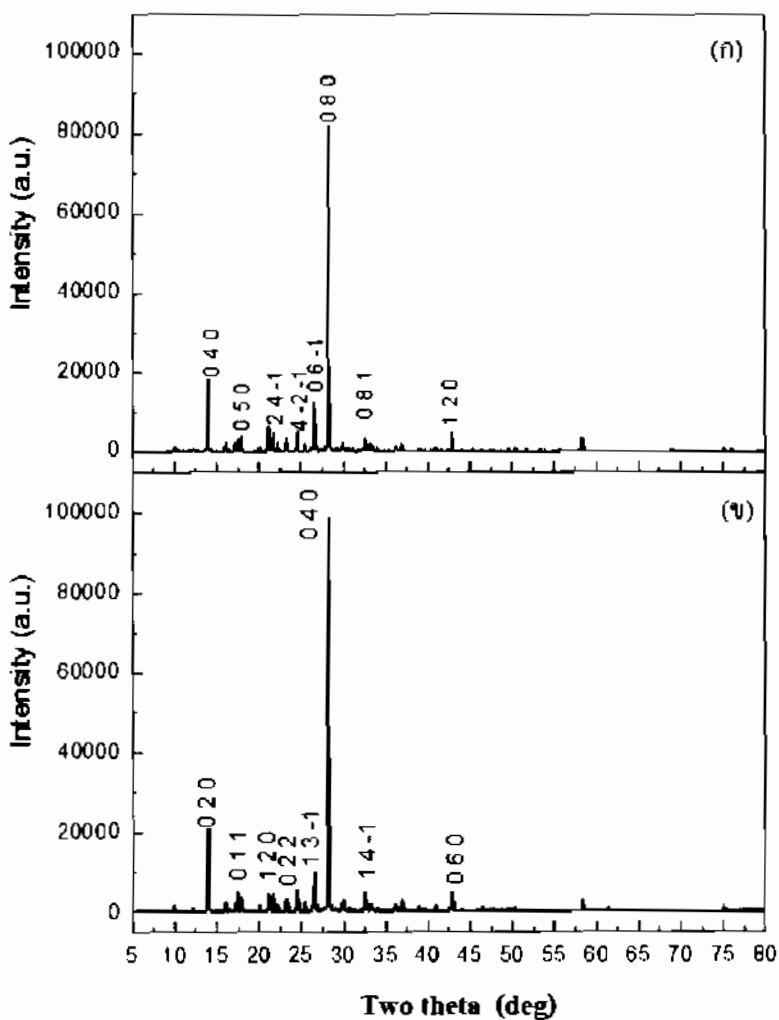
ตาราง 4.4 แสดงผลตพิชพารามิเตอร์ของเซลล์หน่วย โดยที่แต่ละด้านบอกถึงความยาวแกนดังต่อไปนี้ ด้าน a ยาว 1.831 nm สำหรับด้าน b ยาว 2.528 nm และด้าน c ยาว 0.572 nm และมุม $\alpha = 90^\circ$ มุม $\beta = 105.52^\circ$ และมุม $\gamma = 90^\circ$ จากผลตพิชพารามิเตอร์เหล่านี้ ความยาวด้าน $a \neq b \neq c$ ที่ประกอบด้วยมุม $\alpha = \gamma = 90^\circ \neq \beta$ แสดงว่าผลึกที่ปัจจุบันได้ในโครงงานนี้ มีโครงสร้างผลึกแบบโมโนคลินิก แต่อย่างไรก็ตาม ผลึก TGS ที่เจือด้วย Cu มีความยาวด้าน a และ b ที่แตกต่างจากผลึก TGS บริสุทธิ์ โดยมีขนาดเพิ่มขึ้นเป็นสองเท่า แสดงว่าอะตอม Cu อาจเข้าไปแทรกหรือแทนที่ในโครงผลึก ซึ่งอาจล่องผลต่อตำแหน่งหรือลักษณะการรวมตัวของโมเลกุลไกลเซอินกับโมเลกุลชัลเฟต ทำให้ขนาดของผลตพิชพารามิเตอร์เกิดการเปลี่ยนแปลง แต่อย่างไรก็ตาม เพื่อยืนยันตำแหน่งของ Cu ในโครงผลึก TGS จำเป็นต้องทำการศึกษาเพิ่มเติมต่อไป

2. เทคนิค powder X-ray diffraction

การวิเคราะห์ด้วยเทคนิค powder X-ray diffraction สำหรับเทคนิคนี้การเตรียมขั้นตัวอย่างผลึกที่ปัจจุบันได้ในโครงงานจะถูกบดให้เป็นผง โดยพิจารณาขนาดเสี้ยวเบนในช่วง $5^\circ - 80^\circ$ ในการศึกษาโครงสร้างของผลึกที่ปัจจุบันได้ในโครงงาน ผลของสเปกตรัมการเสี้ยวเบนที่ได้ถูกนำมาเปรียบเทียบกับ TGS บริสุทธิ์ ดังภาพประกอบ 4.13

ภาพประกอบ 4.13 แสดงสเปกตรัมการเสี้ยวเบนของผลึก พบร้า มีรูปแบบที่สำคัญเกิดขึ้นที่มุมการเสี้ยวเบนดังนี้ รูปแบบ (040) เกิดขึ้นที่มุม 14° รูปแบบ (050) เกิดขึ้นที่มุม 17° รูปแบบ (24 $\bar{1}$) เกิดขึ้นที่มุม 21° รูปแบบ (42 $\bar{1}$) เกิดขึ้นที่มุม 23° รูปแบบ (06 $\bar{1}$) เกิดขึ้นที่มุม 26° รูปแบบ (080) เกิดขึ้นที่มุม 28° รูปแบบ (081) เกิดขึ้นที่มุม 32° และรูปแบบ (112 0) เกิดขึ้นที่มุม 43° เมื่อเทียบกับ

ผลึก TGS บริสุทธิ์ พบว่า ผลึก TGS ที่เจือด้วย Cu มีมุมที่เกิดจากการเลี้ยวเบนตรงกัน แต่รูนาบหักจากการเลี้ยวเบนแตกต่างจาก TGS บริสุทธิ์ อาจเป็นไปได้ว่า อะตอมของ Cu มีการแทรกตัวอยู่ในโครงสร้างผลึกของ TGS ทำให้รูนาบของผลึก TGS ที่เจือด้วย Cu แตกต่างจากผลึก TGS บริสุทธิ์ โดยมีขนาดผลึกเป็นสองเท่า จึงทำให้รูนาบเปลี่ยนไป ส่งผลให้ลักษณะโครงสร้างขยายใหญ่ขึ้นและผิดเพี้ยน แต่อย่างไรก็ตาม จากการศึกษาด้วยเทคนิค FT-IR เมื่อวิเคราะห์การสัมผัสนะพันธุ์ในหมู่ฟังก์ชัน พบร่วมยอดที่เกิดขึ้นมีตำแหน่งใกล้เคียงกับมุมเลี้ยวเบนในกรณี TGS บริสุทธิ์ ดังนั้น จึงสามารถยืนยันได้ว่า การเจือด้วย Cu ไม่ส่งผลกระทบต่อลักษณะการจัดเรียงตัวของเบซิลในโครงผลึก ทำให้ได้ผลึกที่มีลักษณะเชิงโครงสร้างใกล้เคียงกับผลึก TGS บริสุทธิ์



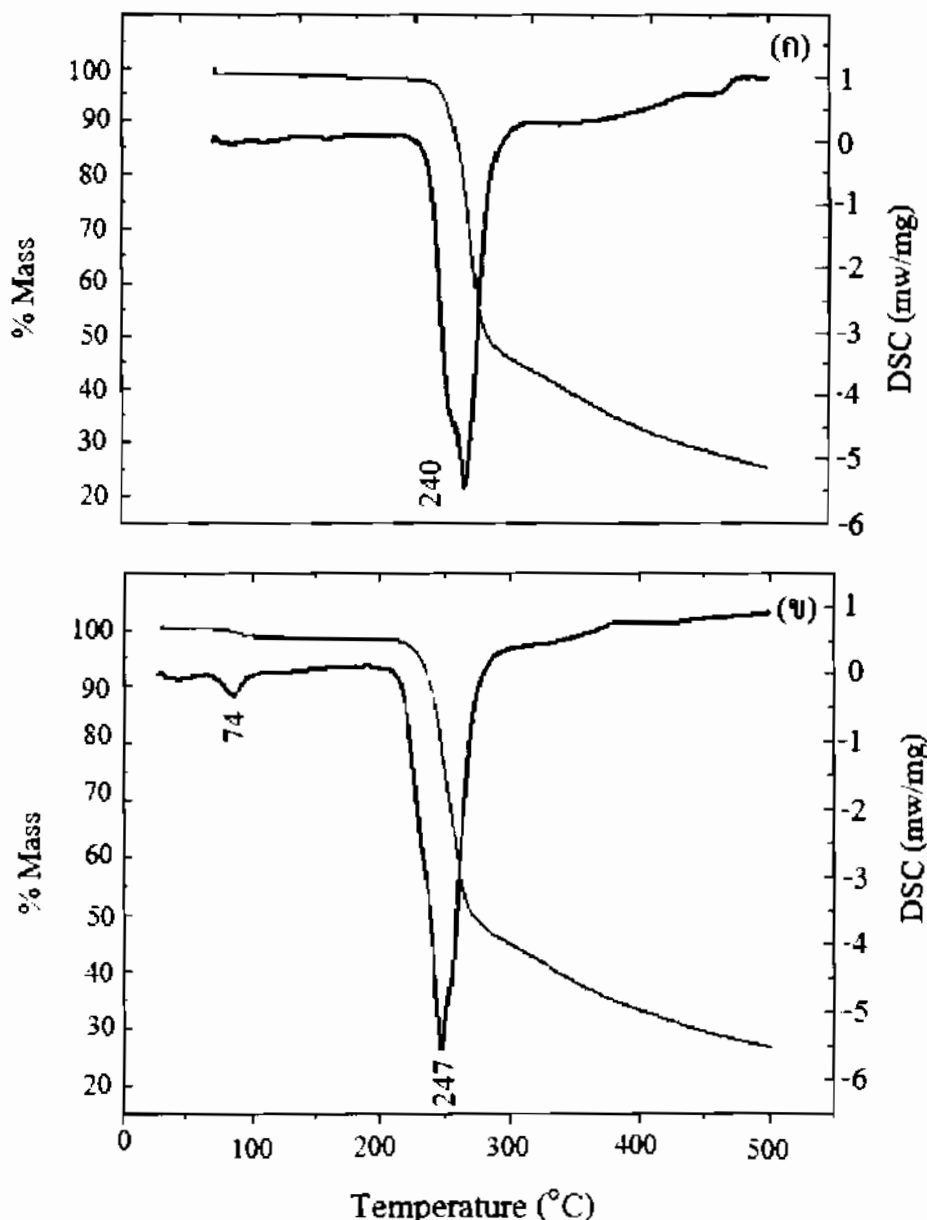
ภาพประกอบ 4.13 สเปกตรัม XRD ของผลึก TGS

(ก) กรณีที่ถูกเจือ Cu 5% mol

(ข) กรณีของสารบริสุทธิ์

4.4.3 เทคนิคการวิเคราะห์เชิงความร้อนของผลึก TGS ที่เจือด้วย Cu

สำหรับการวิเคราะห์เชิงความร้อนในโครงงานนี้ เป็นการศึกษาการเปลี่ยนแปลงพฤติกรรมของ ขั้นสาร การเปลี่ยนเฟส และการเปลี่ยนแปลงจุดหลอมเหลวของผลึก TGS ที่เจือด้วย Cu ผลึกตัวอย่าง จะถูกเตรียมให้มีน้ำหนัก 4.829 mg โดยศึกษาที่อุณหภูมิ $30\text{-}500^\circ\text{C}$ ผลการวิเคราะห์เชิงความร้อนที่ได้ ถูกนำมาเปรียบเทียบกับผลึก TGS บริสุทธิ์ ดังภาพประกอบ 4.14



ภาพประกอบ 4.14 การวิเคราะห์เชิงความร้อนของผลึก TGS

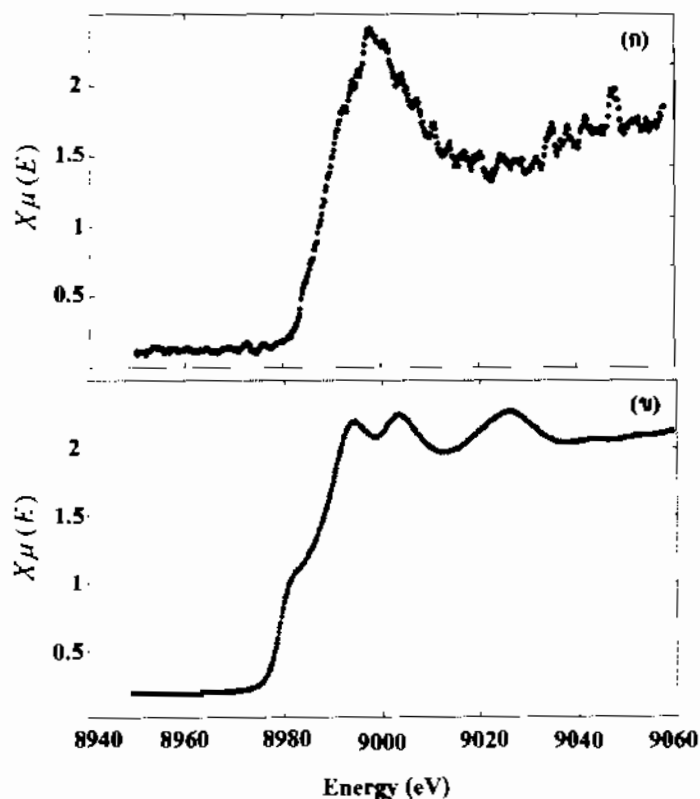
(ก) กรณีที่ถูกเจือ Cu 5% mol

(ข) กรณีของสารบริสุทธิ์

ภาพประกอบ 4.14 แสดงการวิเคราะห์เชิงความร้อนของผลึก พบร่วมที่ช่วงอุณหภูมิต่ำกว่า 200 °C ไม่พบการสูญเสียมวล ซึ่งแตกต่างจากการณีของผลึก TGS บริสุทธิ์ที่มีน้ำหนักที่สูญเสียจากการระเหยของน้ำ ในขณะที่พบร่วมเปลี่ยนแปลงเหล็ที่อุณหภูมิ 240 °C เกิดจากการเปลี่ยนสถานะของผลึก จากของแข็งเป็นของเหลว และที่อุณหภูมิมากกว่า 270 °C น้ำหนักที่สูญเสียไปในช่วงนี้เกิดจากปฏิกิริยา การสลายตัวของผลึก เมื่อเทียบกับการวิเคราะห์เชิงความร้อนของผลึก TGS บริสุทธิ์ พบร่วม การเจือส่งผลให้อุณหภูมิที่เปลี่ยนสถานะลดลง แสดงว่าอัตโนมัติการเจือเข้าไปแทรกในโครงสร้างของผลึกให้การยึดเหนี่ยวของโมเลกุลภายในโครงสร้างไม่แข็งแรง

4.4.4 การศึกษาการคุณภาพลีนของรังสีเอกซ์ของผลึก TGS ที่เจือด้วย Cu

การศึกษาหาลักษณะโครงสร้างที่เกิดขึ้นเมื่อมีการเจือสาร Cu ในผลึก TGS โดยใช้เครื่อง X-ray absorption spectroscopy (XAS) ในโครงงานนี้ใช้การวัด XAS แบบเรืองแสง (fluorescence-mode XAS) ผลึกตัวอย่างถูกเตรียมให้มีขนาดพื้นที่ผิว $0.5 \times 1 \text{ cm}^2$ ผลของスペกตรัมการคุณภาพลีนรังสีเอกซ์แสดงดังภาพประกอบ 4.15



ภาพประกอบ 4.15 สเปกตรัมการคุณภาพลีนรังสีเอกซ์แบบ XANES ของผลึก TGS

(ก) กรณี TGS เจือ Cu 5% mol

(ข) ค่าการเรืองแสงมาตรฐานของ Cu

จากภาพประกอบ 4.15 แสดงสเปกตรัมการเรืองแสงเนื่องจากการดูดกลืนรังสีเอกซ์ของพลีก TGS ที่เจือด้วย Cu 5% mol พบว่า มีการเรืองแสงอะตอมของ Cu ในช่วงพลังงาน 8950–9060 eV เมื่อเทียบกับสเปกตรัมมาตรฐานของ Cu ดังนั้น สามารถยืนยันได้ว่าการเจือ CuSO₄ ในปริมาณความเข้มข้น 5 % mol จะเกิดการแทรกตัวของ Cu ในโครงสร้างของพลีก TGS

4.5 ผลของการปููกพลีก TGS ที่เจือด้วย Zn และอภิปรายผล

ผลการปููกพลีก TGS เจือด้วย Zn 5% mol แสดงดังภาพประกอบ 4.16



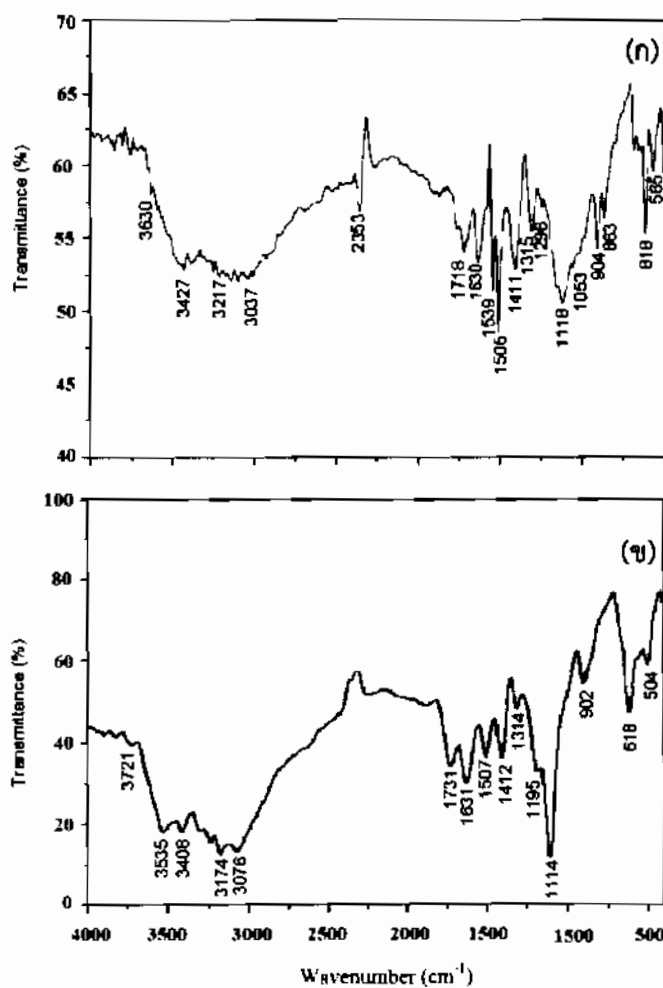
ภาพประกอบ 4.16 ภาพถ่ายลักษณะภายนอกของพลีก TGS เจือด้วย Zn 5% mol

จากภาพประกอบ 4.16 เป็นภาพที่ได้จากการปููกพลีก TGS เจือด้วย Zn 5% mol ในการทดลองใช้ระยะเวลาห้องหมุดในการเกิดพลีก 51 วัน โดยพลีกจะเกิดที่ความเข้มข้นประมาณ 0.45 g/ml (ใช้บีกเกอร์ขนาด 300 ml และมีสารละลายเริ่มต้น 200 ml) มีขนาด 20x10x3.5 mm³ มีน้ำหนัก ก้อนอบ 2.662 g และมีน้ำหนักหลังอบ 2.632 g นอกจากนี้พลีกได้มีลักษณะผิวนิ่มเรียบ โปร่งใส

4.5.1 การวิเคราะห์หมู่ฟังก์ชันของพลีก TGS ที่เจือด้วย Zn

ผลการวิเคราะห์พลีก TGS ที่เจือด้วย Zn ได้เส้นสเปกตรัมดังภาพประกอบ 4.17 (ก) เมื่อเปรียบเทียบกับสเปกตรัมของพลีก TGS บริสุทธิ์ ดังภาพประกอบ 4.17 (ข) ผลการเปรียบเทียบแสดงดังตาราง 4.5 โดยการกำหนดพันธะที่ดูดกลืนแสงอ้างอิงตามข้อมูลในเอกสารอ้างอิง [9] ตาราง 4.5 แสดงสเปกตรัมการดูดกลืนแสงอินฟราเรดของพลีก TGS ที่เจือด้วย Zn 5% mol พบยอดสเปกตรัมเกิดขึ้นในช่วงเลขคู่นี่ดังนี้ ยอด 3427 cm⁻¹ เป็นการดูดกลืนแสงของพันธะ N-H และ ยอด 1315 cm⁻¹ เป็นการดูดกลืนแสงของพันธะ C-N พันธะเหล่านี้แสดงการดูดกลืนแสงในหมู่อะมิโน สำหรับที่ยอด 3630 cm⁻¹ เป็นการดูดกลืนแสงของพันธะ O-H ยอด 1718 cm⁻¹ เป็นการดูดกลืนแสงของพันธะ C=O ขณะที่ยอด 904 cm⁻¹ และ ยอด 863 cm⁻¹ เป็นการดูดกลืนแสงของพันธะ C-C สำหรับยอด

1296 cm^{-1} เป็นการคุณลักษณะพันธะ C-O พันธะเหล่านี้เป็นการคุณลักษณะของพันธะในหมู่คาร์บอซิลิก แต่ไม่พบการคุณลักษณะในช่วงเลขคลื่น $2500\text{-}2700\text{ cm}^{-1}$ ของ H bond ในหมู่คาร์บอซิลิก แสดงว่าไกลซินไม่จับพันธะกับไกลซิน โดยไกลซินจับพันธะกับ SO_4 จึงทำให้หมู่คาร์บอซิลิกไม่เกิดพันธะไฮโดรเจน สำหรับที่ยอด 1411 cm^{-1} เป็นการคุณลักษณะของพันธะ C-H ของหมู่ไฮดร็อการ์บอน นอกจากนี้ พabayot 1118 cm^{-1} และยอด 618 cm^{-1} เป็นการคุณลักษณะของพันธะ S-O ขณะที่ยอด 1053 cm^{-1} เป็นการคุณลักษณะของพันธะ S=O ในหมู่ชัลเฟต์ ทั้งนี้มีลักษณะที่ไม่พบ การคุณลักษณะพันธะ S=O ในหมู่ชัลเฟต์ เป็นไปได้ว่าไกลซินมีการจับพันธะกับ SO_4 จึงอาจขัดขวางการสันของ S=O แต่เมื่อมีการเพิ่ม Zn จึงอาจทำให้อะตอนของ Zn อาจเข้าไปแทรกในโครงผลึก TGS ส่งผลให้การจับพันธะของไกลซินกับ SO_4 อ่อนลง จึงพบยอดการคุณลักษณะของพันธะ S=O อย่างไรก็ตาม ยอดคุณลักษณะเหล่านี้แสดงถึงพันธะในหมู่พังก์ขันของไกลซินและชัลเฟตครับ ดังนั้น สามารถยืนยันได้ว่าผลึกที่ปููกได้ในโครงงานเป็นผลึก TGS



ภาพประกอบ 4.17 สเปกตรัม FT-IR ของผลึก TGS

(ก) กรณีที่ถูกเพิ่ม Zn 5% mol

(ข) กรณีของสารบาริสุทธิ์

ตาราง 4.5 ตำแหน่งเลขค่าส์ของการสั่นจากพันธะของหมู่ฟังก์ชันของสาร TGS เจือด้วย Zn

หมู่ฟังก์ชัน	พันธะ [9]	เลขค่าส์ (cm^{-1})	
		TGS เจือ Zn 5% mol	TGS บริสุทธิ์
-COOH	C=O (1690-1760 cm^{-1})	1718	1731
	C-O (1050-1300 cm^{-1})	1296	1195
	O-H (3500-3650 cm^{-1})	3630	3535
	C-C (800-1250 cm^{-1})	904 863	902
	H bond (2500-2700 cm^{-1})	-	-
-NH ₂	N-H (3300-3500 cm^{-1})	3427	3408 3174
	C-N (1180-1360 cm^{-1})	1315	1314
-CH ₂	C-H (1340-1470 cm^{-1})	1411	1412
-SO ₄	S-O (1075-1125)	1118 618	1114 618
	S=O (1030-1075 cm^{-1})	1053	-

4.5.2 การศึกษาการเลี้ยวเบนของรังสีเอกซ์ของผลึก TGS ที่เจือด้วย Zn

สำหรับการศึกษาโครงสร้างของผลึก TGS ที่เจือด้วย Zn เทคนิคการเลี้ยวเบนของรังสีเอกซ์จึงถูกใช้เพื่อศึกษาผลติดพารามิเตอร์ และระนาบที่เกิดจากมุ่งการเลี้ยวเบนรังสีเอกซ์ ผลึกที่ปัลอกได้ถูกนำมาตรวจสอบโดยเทคนิค single-crystal X-ray diffraction และเทคนิค powder X-ray diffraction

1. เทคนิค single-crystal X-ray diffraction

การศึกษาลักษณะโครงสร้างภายในของผลึก TGS ที่เจือด้วย Zn วิเคราะห์ด้วยเทคนิค single-crystal X-ray diffraction ผลึกตัวอย่างถูกเตรียมให้มีขนาดประมาณ $0.1 \times 0.1 \times 0.38 \text{ mm}^3$ ผลึกได้ถูกนำมาเปรียบเทียบกับผลึก TGS บริสุทธิ์ แสดงดังตาราง 4.6

ตาราง 4.6 ผลติดพารามิเตอร์ของผลึกบริสุทธิ์ เทียบกับผลึกที่เจือด้วย Zn

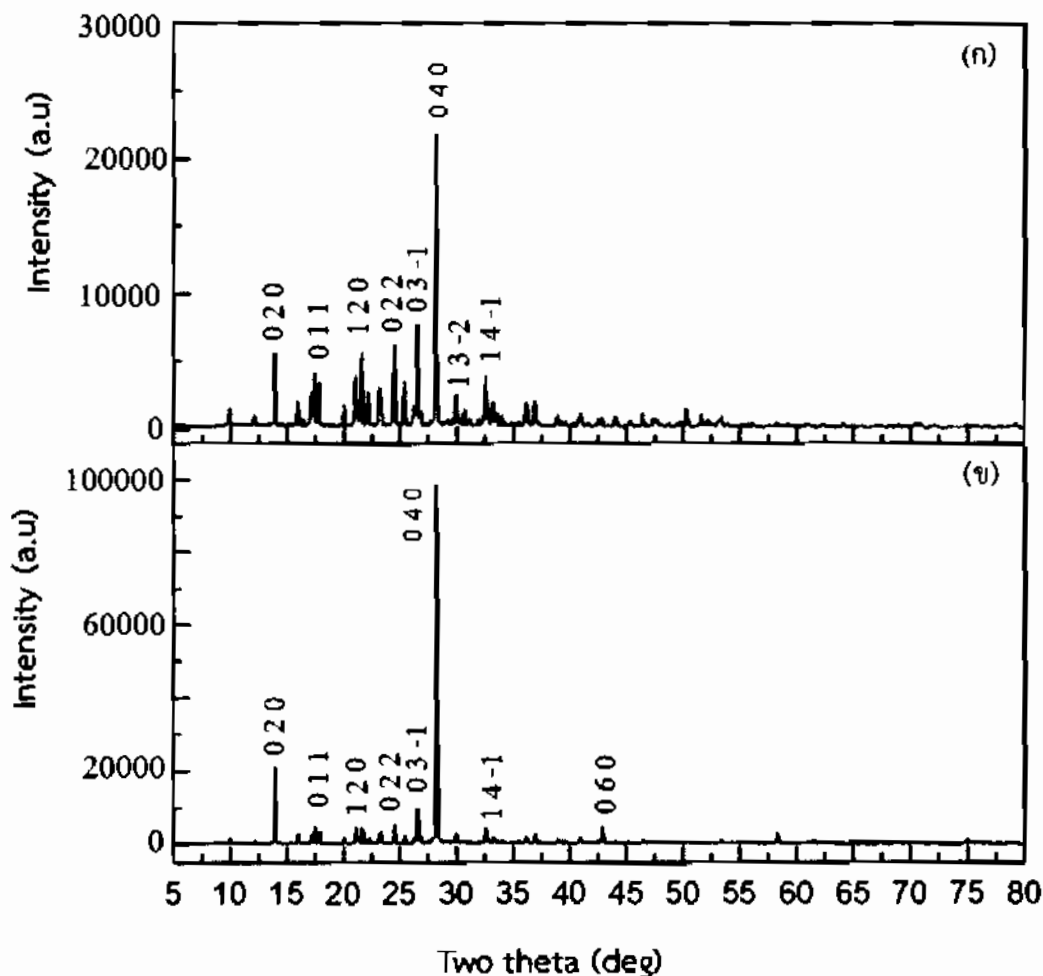
ผลึก TGS	ความยาวด้าน			ขนาดมุม		
	a (nm)	b (nm)	c (nm)	α	β	γ
บริสุทธิ์	0.916	1.264	0.572	90°	105.54°	90°
เจือ Zn 5% mol	0.916	1.266	0.573	90°	105.56°	90°

ตารางที่ 4.6 แสดงผลติดพารามิเตอร์ของเซลล์หน่วย โดยที่แต่ละด้านมีความยาวแกนดังต่อไปนี้ ด้าน a ยาว 0.916 nm ด้าน b ยาว 1.266 nm ขณะที่ด้าน c ยาว 0.573 และขนาดมุมของระบบ โดยที่มุม $\alpha = 90^\circ$ ขณะที่มุม $\beta = 105.56^\circ$ และมุม $\gamma = 90^\circ$ จากผลติดพารามิเตอร์ที่ได้แสดงความยาวด้าน $a \neq b \neq c$ ที่ประกอบด้วยมุม $\alpha = \gamma = 90^\circ \neq \beta$ ดังนั้น ผลึกที่ปูนได้ในโครงงานนี้จึงมีโครงสร้างผลึกแบบไม่คลินิก จากแสดงพารามิเตอร์ที่วัดได้มีเมื่อเทียบกับผลึก TGS บริสุทธิ์ ที่ปูนได้ในโครงงาน พบร้า ค่าผลติดพารามิเตอร์มีขนาดเท่ากัน ดังนั้น การเจือด้วย Zn จึงไม่ส่งผลต่อโครงสร้างของผลึก TGS

2. เทคนิค powder X-ray diffraction

ในการศึกษาโครงสร้างของผลึกที่ปูนได้ในโครงงาน ผลของสเปกตรัมการเลี้ยวเบนที่วัดได้ถูกนำมาเปรียบเทียบกับผลการวัดของผลึก TGS บริสุทธิ์ ที่ปูนในโครงงาน ดังภาพประกอบ 4.18 โดยผลการวัดสเปกตรัมการการเลี้ยวเบนของผลึกที่มุมต่างๆ ระบบที่เกิดจากการเสี้ยวน์ขึ้นกับตำแหน่งและขนาดภายในอะตอมของเซลล์หน่วย ดังนั้น จึงสามารถใช้ระบบที่เกิดจากการเลี้ยวเบนเพื่อบุนโครงสร้างผลึกที่ปูนในโครงงานได้ สเปกตรัมการเลี้ยวเบนของผลึก TGS ที่เจือด้วย Zn แสดงดังภาพประกอบ 4.18 (ก) พบร้า มีระบบที่เกิดจากมุมการเลี้ยวเบนต่างๆ ดังนี้ ระบบ (020) เกิดขึ้นที่มุม 14° ระบบ (011) เกิดขึ้นที่มุม 17° สำหรับระบบ (120) เกิดขึ้นที่มุม 21° ระบบ (022) เกิดขึ้นที่

มุม 24° ระนาบ $(03\bar{1})$ เกิดขึ้นที่มุม 26° ขณะที่ระนาบ (040) เกิดขึ้นที่มุม 28° ระนาบ $(13\bar{2})$ เกิดขึ้นที่มุม 30° และระนาบ $(14\bar{1})$ เกิดขึ้นที่มุม 32° จากกระบวนการที่พับเหล่านี้ เมื่อเทียบกับกระบวนการการเลี้ยวเบนของผลึก TGS บริสุทธิ์ พบว่า ระนาบที่เกิดจากมุมการเลี้ยวเบนตรงกัน ทั้งนี้อาจเป็นเพราะการเจือสาร Zn ในปริมาณความเข้มข้นที่ต่ำ จึงไม่ส่งผลกระทบต่อโครงสร้างโดยรวมของผลึก ทำให้โครงสร้างของผลึกที่ปลูกได้มีโครงสร้างเหมือนกับผลึก TGS บริสุทธิ์



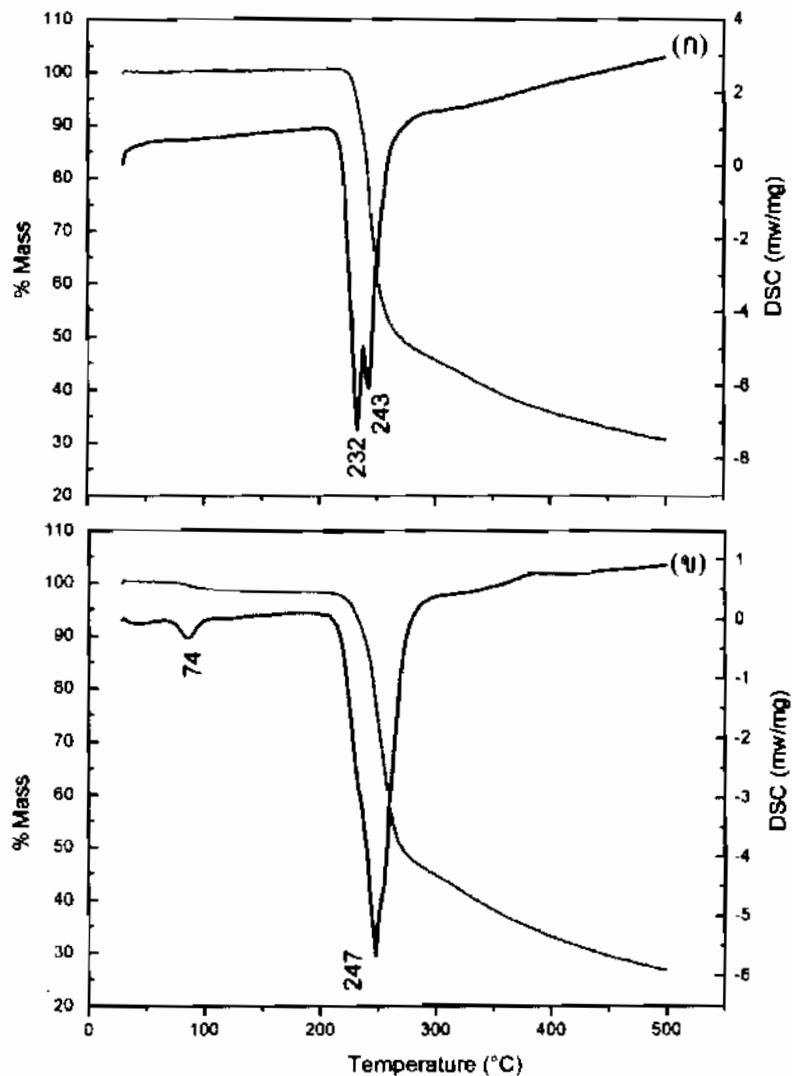
ภาพประกอบ 4.18 สเปกตรัม XRD ของผลึก TGS

(g) กรณีที่ถูกเจือ Zn 5% mol

(h) กรณีของสารบริสุทธิ์

4.5.3 เทคนิคการวิเคราะห์เชิงความร้อนของผลึก TGS ที่เจือด้วย Zn

สำหรับการศึกษาการเปลี่ยนเฟส และการเปลี่ยนแปลงจุดหลอมเหลวของผลึก TGS ที่เจือด้วย Zn ผลึกตัวอย่างถูกเตรียมให้มีขนาดประมาณ 3.55 mg เพื่อนำมาตรวจสอบด้วยเทคนิค TG/DSC ผลที่ได้แสดงดังภาพประกอบ 4.19



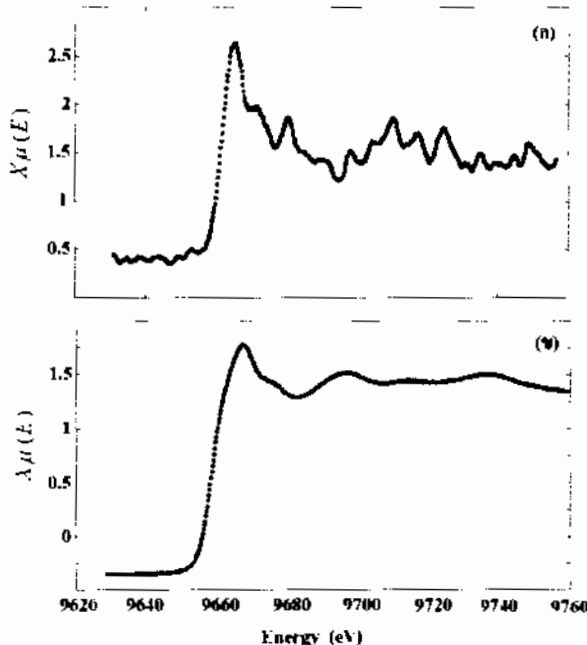
ภาพประกอบ 4.19 การวิเคราะห์เชิงความร้อนของผลึก TGS

- (ก) กรณีที่ถูกเจือ Zn 5% mol
- (ข) กรณีของสารบริสุทธิ์

ภาพประกอบ 4.19 แสดงผลการวิเคราะห์เชิงความร้อนของพลีก พบร้า ที่ช่วงอุณหภูมิต่ำกว่า 200 °C ไม่มีน้ำหนักที่สูญเสียไปซึ่งแตกต่างจากพลีก TGS บริสุทธิ์ที่มีน้ำหนักที่สูญเสียจากการระเหยของน้ำ ในขณะที่พบร้าเปลี่ยนแปลงเพลสที่อุณหภูมิ 232 °C และ 243 °C ซึ่งเกิดจากการเปลี่ยนสถานะของพลีกจากของแข็งเป็นของเหลว จุดสมดุลเหลวที่ปราศจากน้ำ 2 จุดอาจเป็นผลมาจากการกระจายตัวของ Zn ในพลีก TGS ไม่สม่ำเสมอ ส่งผลให้ความเข้มข้นของสารเจือ Zn มีค่าไม่คงที่ทั่วชิ้นพลีก สำหรับที่อุณหภูมิมากกว่า 270 °C น้ำหนักที่สูญเสียไปในช่วงนี้เกิดจากการสลายตัวของพลีก แต่อย่างไรก็ตาม เมื่อเปรียบเทียบกับผลการวิเคราะห์เชิงความร้อนของพลีก TGS ที่เจือด้วย Cu พบร้าความเข้มข้นของสารเจือ Cu มีการกระจายตัวสม่ำเสมอทั่วชิ้นพลีกทำให้มีจุดสมดุลเดียว และเมื่อเทียบกับการวิเคราะห์เชิงความร้อนของพลีก TGS บริสุทธิ์ พบร้า การเจือส่งผลให้อุณหภูมิที่เปลี่ยนสถานะลดลง แสดงว่าอัตราการสลายตัวของสารเจือเข้าไปมากในโครงสร้างส่วนใหญ่ของโมเลกุลภายในโครงสร้างมีค่าลดลง

4.5.4 การศึกษาการดูดกลืนรังสีเอกซ์ของพลีก TGS ที่เจือด้วย Zn

การศึกษาหาลักษณะโครงสร้างที่เกิดขึ้นเมื่อมีการเจือสาร Zn ในพลีก TGS โดยใช้เครื่อง X-ray absorption spectroscopy (XAS) ในโครงงานนี้ใช้การวัด XAS แบบเรืองแสง (fluorescence-mode XAS) พลีกตัวอย่างถูกเตรียมให้มีขนาด $0.5 \times 1 \text{ cm}^2$ ผลของスペกตรัมการดูดกลืนรังสีเอกซ์แสดงดังภาพประกอบ 4.20



ภาพประกอบ 4.20 สเปกตรัมการดูดกลืนรังสีเอกซ์ของพลีก TGS

(g) กรณีพลีก TGS เจือ Zn 5% mol

(x) ค่าการเรืองแสงมาตรฐานของ Zn

จากภาพประกอบ 4.20 แสดงスペกตรัมการเรืองแสงการดูดกลืนรังสีเอกซ์ของผลึก TGS ที่เจือด้วย $ZnSO_4$ 5% mol พบรการเรืองแสงอะตอมของ Zn ในช่วงพลังงาน 9630-9760 eV เมื่อเทียบกับスペกตรัมมาตรฐานของ Zn พบร้า มีスペกตรัมการดูดกลืนที่ใกล้เคียงกัน ดังนั้น สามารถยืนยันได้ว่า การเจือ $ZnSO_4$ ในปริมาณความเข้มข้น 5% mol จะเกิดการแทรกตัวของ Zn ในโครงสร้างของผลึก TGS

บทที่ 5

สรุปผลการทดลองและข้อเสนอแนะ

จากการศึกษาการปลูกผลึกและการกำหนดลักษณะเฉพาะของผลึก TGS บริสุทธิ์ ผลึก TGS ที่ถูกเจือด้วย Cu และผลึก TGS ที่ถูกเจือด้วย Zn โดยใช้วิธีปลูกผลึกจากการละลายที่อุณหภูมิ 49 °C โดยการนำผลึกที่ปูนได้ไปวิเคราะห์คุณสมบัติด้วยเทคนิค FT-IR XRD TG/DSC และ XAS ในการทดลองนี้สามารถสรุปผลโดยมีรายละเอียดดังนี้

5.1 สรุปผลการทดลองผลึก TGS บริสุทธิ์

จากการทดลองเบื้องต้นได้เงื่อนไขสำหรับการปลูกผลึกจริงที่อุณหภูมิ 49 °C และความเข้มข้นที่ผลึกเริ่มเกิดที่ประมาณ 0.45 g/ml นำมาสู่การปลูกผลึกจริง โดยโครงงานนี้ใช้วิธีการปลูกผลึกจากการละลาย โดยเร่งอัตราการระเหยเพื่อเร่งกระบวนการระเหยตัวทำละลายจึงปลูกผลึกที่อุณหภูมิ 60 °C ในอ่างควบคุมอุณหภูมิ จากความเข้มข้นเริ่มต้น 0.25 g/ml ให้สารละลายมีความเข้มข้นประมาณ 0.42 g/ml จากนั้นลดอุณหภูมิปลูกผลึก TGS เป็น 49 °C และทำการลดพื้นที่ผิวเปิดเป็น 10% ซึ่งใช้ระยะเวลาทั้งหมดในการเกิดผลึก 47 วัน มีขนาด $45 \times 18 \times 4.7 \text{ mm}^3$ และมีน้ำหนัก 4.57 g

ผลึก TGS ที่ปูนได้จากเงื่อนไขข้างต้น มีลักษณะผิวเรียบ โปร่งใส ซึ่งมีลักษณะคล้ายคลึงกับผลึกที่ปูนจากการระเหยด้วยความร้อนคงที่ ดังนั้น การปลูกผลึก TGS ที่เร่งอุณหภูมิในขณะปลูก ไม่ส่งผลต่อลักษณะทางกายภาพของผลึก TGS บริสุทธิ์ นอกจากนั้น พบว่า ผลึกที่ปูนได้มีองค์ประกอบโมเลกุลเป็น TGS โดยพบทุกหมู่พิنج์ชันตามโครงสร้างของโมเลกุลของไกลซีนและโครงสร้างของโมเลกุลของชัลไฟฟ์ ซึ่งแสดงผลจากการวิเคราะห์ด้วยเทคนิค FT-IR และผลึก TGS ที่ปูนได้มีโครงสร้างผลึกแบบโมโนคลินิก โดยมีผลตั้งพารามิเตอร์ $a \neq b \neq c$ มุม $\alpha = \gamma = 90^\circ$ และ $\beta = 105.54^\circ$ ซึ่งแสดงจากผลการวัดการเลี้ยวเบนของรังสีเอกซ์ ทั้งนี้ผลึกที่ปูนได้มีจุดหลอมเหลวคงที่ที่อุณหภูมิ 247 °C โดยมีลักษณะยอดของเส้นกราฟที่ขัดเจน แต่จากเอกสารอ้างอิง [15] มีจุดหลอมเหลวที่อุณหภูมิ 246 °C ความแตกต่างของจุดหลอมเหลวที่เกิดขึ้นอาจเนื่องจากความคลาดเคลื่อนจากการวัดและความแตกต่างของเงื่อนไขในการทดสอบ

5.2 สรุปผลการทดลองผลึก TGS ที่ถูกเจือด้วย Cu

จากการศึกษาการปลูกผลึก TGS ที่เจือด้วย Cu 5% mol โดยใช้เงื่อนไขในการปลูกผลึก เช่นเดียวกันกับการปลูกผลึก TGS บริสุทธิ์ พบว่า สามารถเจือผลึก CuSO_4 ในปริมาณ 5% mol ได้ ซึ่ง

ผลึกที่ปููกได้มีลักษณะเป็นสิ่ฟ้าโปร่งใส ผิวไม่เรียบ ขนาด $20 \times 10 \times 6.4 \text{ mm}^3$ และ มีน้ำหนัก 3.32 g

ผลึก TGS ที่เจือด้วย Cu 5% mol ที่ปููกได้มีผลการวิเคราะห์ด้วยเทคนิค XAS ที่แสดงให้เห็นว่าการเจือ CuSO₄ ในปริมาณความเข้มข้น 5% mol เกิดการแทรกตัวของ Cu ในโครงสร้างของผลึก TGS แต่ไม่ทำให้เกิดปฏิกิริยาเป็นสารตัวใหม่ ผลจากการศึกษาด้วยเทคนิค FT-IR แสดงให้เห็นว่าในการเจือด้วย Cu ไม่มีผลกระทบต่อโครงสร้างหลักของโมเลกุลองค์ประกอบของผลึก TGS แต่ใน การเจือ Cu จะส่งผลให้จุดหลอมเหลวของผลึก TGS เกิดการเปลี่ยนแปลง โดยผลึก TGS ที่เจือด้วย Cu จะมี อุณหภูมิที่เปลี่ยนสถานะลดลงจากผลึก TGS บริสุทธิ์ และผลจากการเลี้ยวเบนของรังสีเอกซ์ แสดงให้เห็นว่าผลึก TGS เจือด้วย Cu ที่ปููกได้มีโครงสร้างเป็นแบบโนโนคลินิก โดยมีแลตทิซพารามิเตอร์ $a \neq b \neq c$ มุม $\alpha = \gamma = 90^\circ$ ในขณะที่มุม $\beta = 105.52^\circ$ และมีมุมการเลี้ยวเบนตรงกับผลึก TGS บริสุทธิ์ แต่มีขนาดความยาวด้าน a และ b ที่แตกต่างจากผลึก TGS บริสุทธิ์ โดยมีขนาดเพิ่มขึ้น เป็นสองเท่า ทั้งนี้อาจเป็นไปได้ว่าในการเจือ Cu อาจทำให้ Cu เข้าไปแทรกหรือแทนที่ในโครงสร้าง อย่างไรก็ตามเพื่อยืนยันตำแหน่งของ Cu ในโครงสร้าง TGS จึงจำเป็นต้องทำการศึกษาต่อไป

5.3 สรุปผลการทดลองผลึก TGS ที่เจือด้วย ZnSO₄ 5% mol

จากการทดลองปููกผลึก TGS ที่เจือด้วย ZnSO₄ 5% mol โดยใช้เงินไขในการปููกผลึก เช่นเดียวกันกับการปููกผลึก TGS บริสุทธิ์ พบว่า สามารถปููกผลึกได้จริง แต่การเจือสาร ZnSO₄ ปริมาณ 5% mol ในผลึก TGS ไม่ได้ส่งผลต่อโครงสร้างของผลึก ส่วนรับลักษณะผลึกที่ปููกได้มีผิวเรียบ โปร่งใส ขนาด $20 \times 10 \times 3.5 \text{ mm}^3$ และ มีน้ำหนักหนัก 2.63 g

ผลึกที่ปููกได้ในโครงงาน พบว่า การเจือสาร ZnSO₄ ในผลึก TGS ไม่ส่งผลให้โครงสร้างผลึก TGS เกิดการเปลี่ยนแปลง แต่อย่างไรก็ตาม ผลการวิเคราะห์ด้วยเทคนิค XAS ผลึกที่ปููกได้พบว่ามี Zn แทรกตัวอยู่ในโครงสร้างของผลึก TGS แต่ไม่ทำให้เกิดปฏิกิริยาเป็นสารใหม่ โดยผลการศึกษาด้วย เทคนิค FT-IR เส้นสเปกตรัมการดูดกลืนแสงอินฟราเรดที่เกิดขึ้น แสดงการดูดกลืนของหมุนฟังก์ชันคาร์บอนซิลิก อะมิโน ไฮโดรคาร์บอน และชัลไฟด์ โดยหมุนฟังก์ชันเหล่านี้เป็นองค์ประกอบโมเลกุลของไกลเชิน และชัลไฟด์ ทั้งนี้ผลึกที่ปููกได้จึงมีองค์ประกอบเป็นโมเลกุล TGS และพบว่า มีแลตทิซพารามิเตอร์ $a \neq b \neq c$ มุม $\alpha = \gamma = 90^\circ$ และ $\beta = 105.56^\circ$ แสดงว่ามีโครงสร้างผลึกแบบโนโนคลินิก จากการ วิเคราะห์โครงสร้างผลึกด้วยเทคนิคการเลี้ยวเบนรังสีเอกซ์ ดังนั้น และจากการศึกษาด้วยเทคนิค TG/DSC มีจุดหลอมเหลวไม่คงที่ที่อุณหภูมิ 243°C และ 232°C โดยผลึก TGS ที่ปููกเจือด้วย Zn มีจุด หลอมเหลวลดลง ประกอบกับสารเจือ Zn มีการกระจายตัวไม่สม่ำเสมอในผลึก TGS ส่งผลให้มีจุด หลอมเหลวไม่คงที่

5.4 ปัญหาจากการทดลองและข้อเสนอแนะ

ปัญหา

- ในโครงงานนี้ไม่มีข้อมูลความสามารถในการละลายสารตั้งภาพประกอบ 2.4 ของผลึก TGS ทำให้ไม่สามารถทราบข้อมูลความสามารถในการละลายของผลึก TGS ที่จะทำให้ผลึกเกิดในบริเวณโซนกึ่งเสถียรได้

- ผลของการเจือ Zn และ Cu ในปริมาณความเข้มข้น 5% mol ไม่สามารถยืนยันได้ว่าในการเจือ Zn และ Cu นั้นเข้าไปแทรกหรือแทนที่ในตำแหน่งใดของโครงสร้าง TGS ได้อย่างชัดเจน

ข้อเสนอแนะ

- ควรทำการทดลองเบื้องเพิ่มเติม เพื่อศึกษาความสามารถในการละลายของ TGS ซึ่งถ้าหากทราบข้อมูลความสามารถในการละลายของ TGS จะทำให้สามารถควบคุมผลึกให้เกิดในโซนกึ่งเสถียรและช่วยให้สามารถออกแบบการทดลองเพื่อลดระยะเวลาในการปลุกได้

- ควรเจือสาร Zn และ Cu ในปริมาณที่เพิ่มขึ้น ซึ่งมีความเป็นไปได้ว่าจะส่งผลต่อลักษณะทางกายภาพที่ซัดเจนขึ้น และควรศึกษาสมบัติทางเฟอร์โรอิเล็กทริกของผลึก TGS ที่เจือด้วย Cu เมื่อจากสาร CuSO_4 มีสมบัติเฟอร์โรอิเล็กทริก อาจเป็นไปได้ว่าในการเจือสาร Cu จะช่วยปรับปรุงคุณสมบัติเฟอร์โรอิเล็กทริกของผลึก TGS ได้ ทั้งนี้ผลของการวัดการเลี้ยวเบนของรังสีเอกซ์ พบว่า มีผลที่ซับซ้อนและต้องเพิ่มขึ้นเป็นสองเท่า ซึ่งการศึกษาเพิ่มเติมอาจจะนำไปสู่การค้นพบคุณสมบัติที่น่าสนใจทางเฟอร์โรอิเล็กทริกของ TGS ที่เจือด้วย Cu

เอกสารอ้างอิง

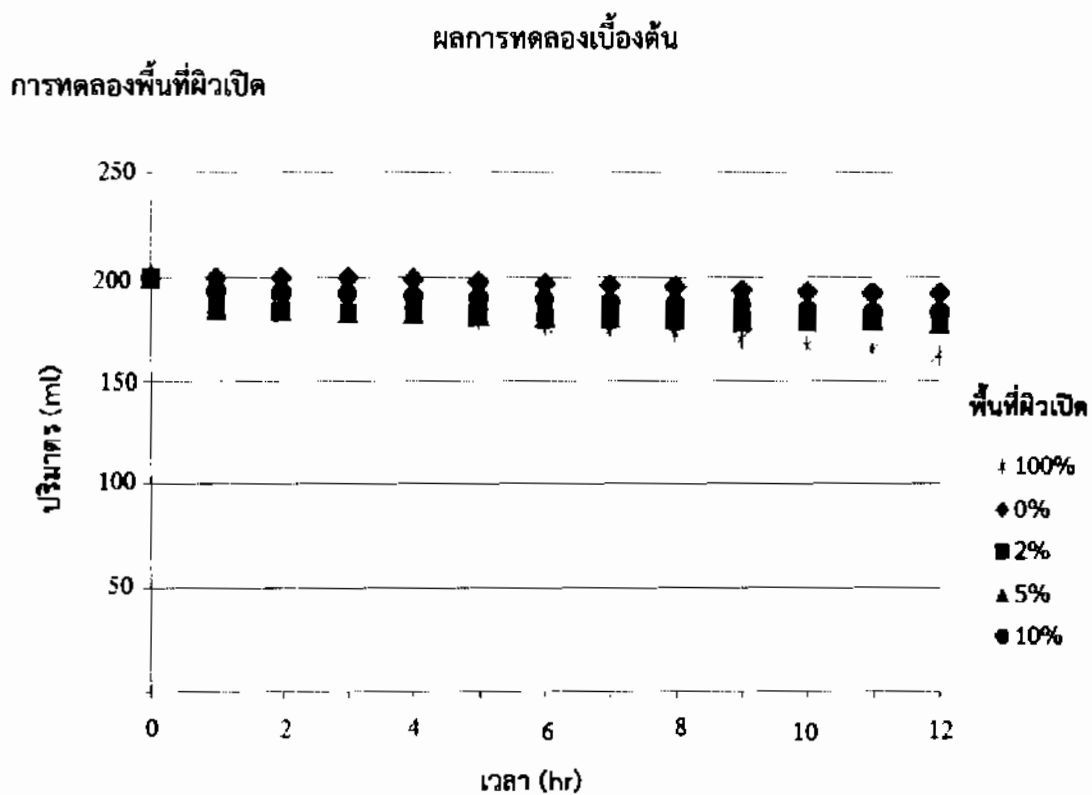
เอกสารอ้างอิง

- [1]. Balamurugan N, Lenin M, Bhagavannarayana G, Ramasamy P. Growth of TGS crystals using uniaxially solution-crystallization method of Sankaranarayanan-Ramasamy. *Crystal research and technology* 2007; 42: 151-156.
- [2]. Chemla DS, Zyss J. Nonlinear optical properties of organic molecules and crystals. 1st ed. London: Academic; 1987. p. 305-308.
- [3]. Sethuraman A, Ran SY, Jeong KS. Solid state communications. *Journal of crystal growth* 2009; 55: 23-187.
- [4]. Richard J, Tilley D. Crystals and crystal structures. 1st ed. New York: John wiley & sons; 2006. p. 2-3.
- [5]. Cwikiel K, Fugiel B, Mierzwa M. Quasi-stable states of TGS ferroelectric induced by an electric field perpendicular to the ferroelectric axis. *Physica B: condensed matter* 2001; 29: 361-368.
- [6]. Balu T, Rajasekaran TR, Murugakoothan P. Studies on the growth structural optical and mechanical properties of ADP admixed TGS crystals. *Current applied physics* 2009; 9: 432-440.
- [7]. Sankaranarayanan K, Ramasamy P. Unidirectional seeded single crystal growth from solution of benzophenone. *Journal of crystal growth* 2005; 280: 467-473.
- [8]. Renugadevi R, Kanchana G, Kesavasamy R. Growth and characterization of triglycine sulphate (TGS) single crystals. *Elixir crystal growth* 2013; 55: 303-305.
- [9]. Skoog A, Holler F, Stanley R. Principles of instrumental analysis. 6th ed. New York: Saunders college publishing; 2007. p. 278-279.
- [10]. Saha JK, Podder J. Crystallization of zinc sulphate single crystals and its structural, thermal and optical characterization. *Journal of Bangladesh academy of sciences* 2001; 35: 203-210.
- [11]. Jonathan NS, Kraytsberg A, Ein-Eli Y. Copper sulfates as cathode materials for Li Batteries. *Journal of power sources* 2011; 196: 1461-1468.
- [12]. Wantana K, Pongjagr T, Panidtha S, Supat K, Jitrin C, Prayoon S. X-ray absorption spectroscopy beamline at the siam photon laboratory. *Synchrotron radiation* 2007; 879: 860-863.

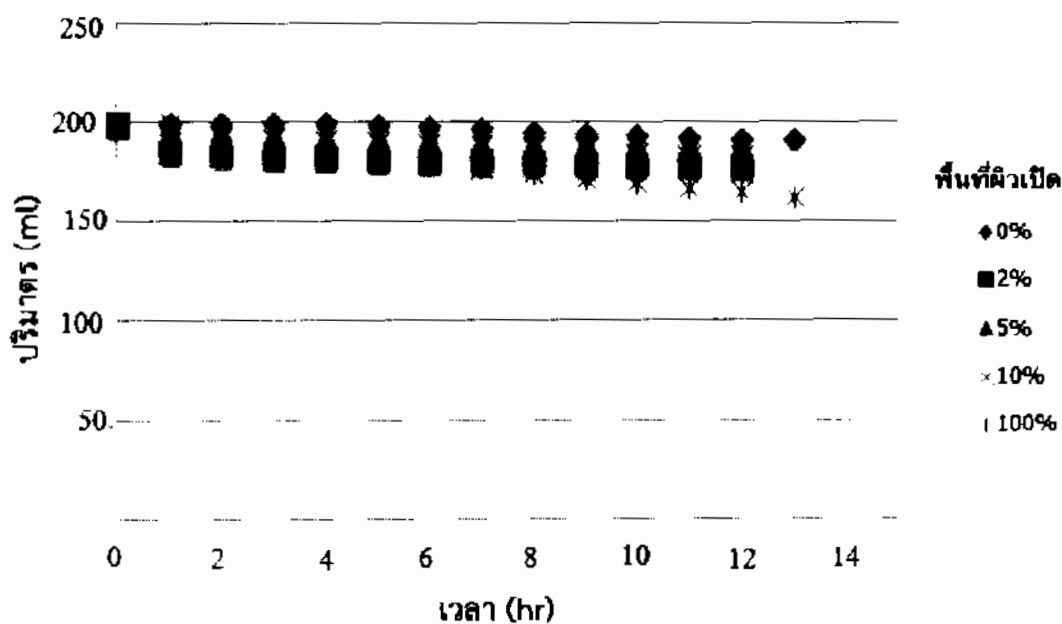
- [13]. Ronald NM . The use of differential scanning calorimetry and differential thermal analysis in studies of model and biological membranes. Chemistry and physics of lipids 1982; 30: 229-259.
- [14]. Farhana K, Jiban P. Synthesis, growth, and electrical transport properties of pure and LiSO₄-doped triglycine sulphate crystal. International journal of optics 2012; 6: 1-6.

ภาคผนวก

ภาคผนวก ๑

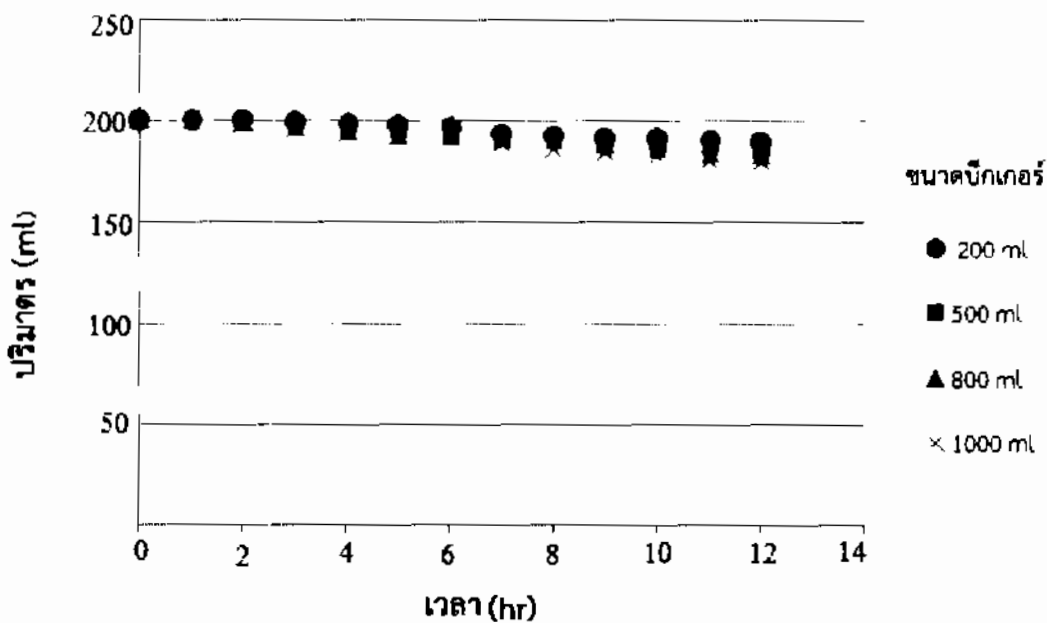


ภาพประกอบ ก.1 อัตราการระเหยที่อุณหภูมิห้องในกรณีศึกษาผลของพื้นที่ผิวเปิด



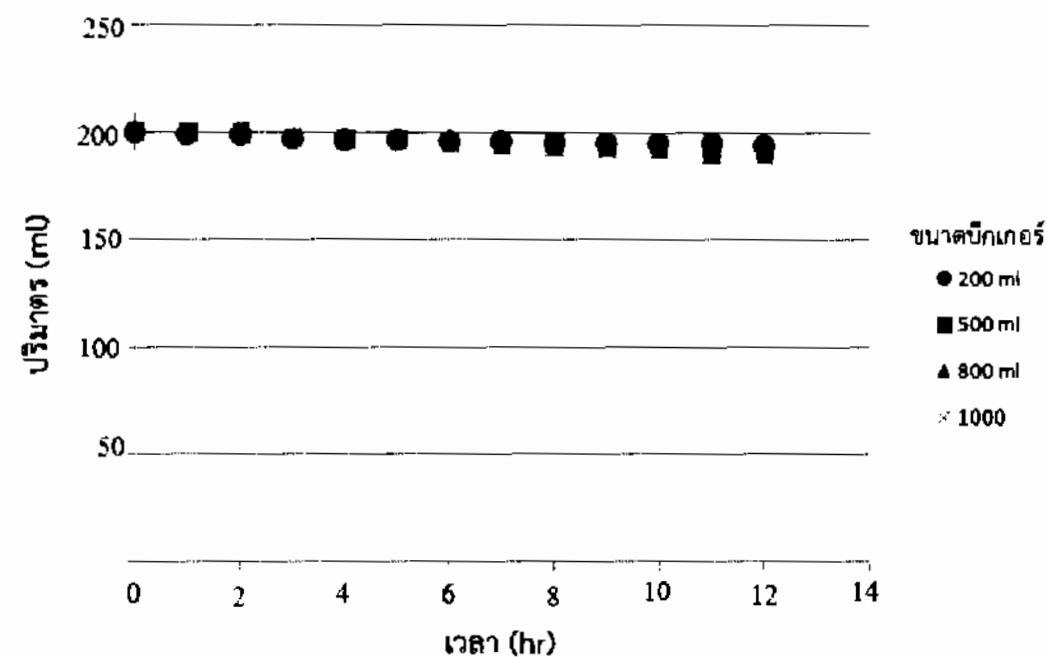
ภาพประกอบ ก.2 อัตราการระเหยที่อุณหภูมิ 49 °C ในกรณีศึกษาผลของพื้นที่ผิวเปิด

การทดลองจำนวนพื้นที่ผิวเปิด



ภาพประกอบ ก.3 อัตราการระเหยที่อุณหภูมิ 49°C ในกรณีศึกษาผลของขนาดบีกเกอร์

การทดลองขนาดบีกเกอร์



ภาพประกอบ ก.4 อัตราการระเหยของน้ำที่อุณหภูมิห้องในกรณีศึกษาผลของขนาดบีกเกอร์

สารเคมีและอุปกรณ์ในการทดลอง



ภาพประกอบ ก.5 ไอลซีน



ภาพประกอบ ก.6 กรดซัลฟิวริก



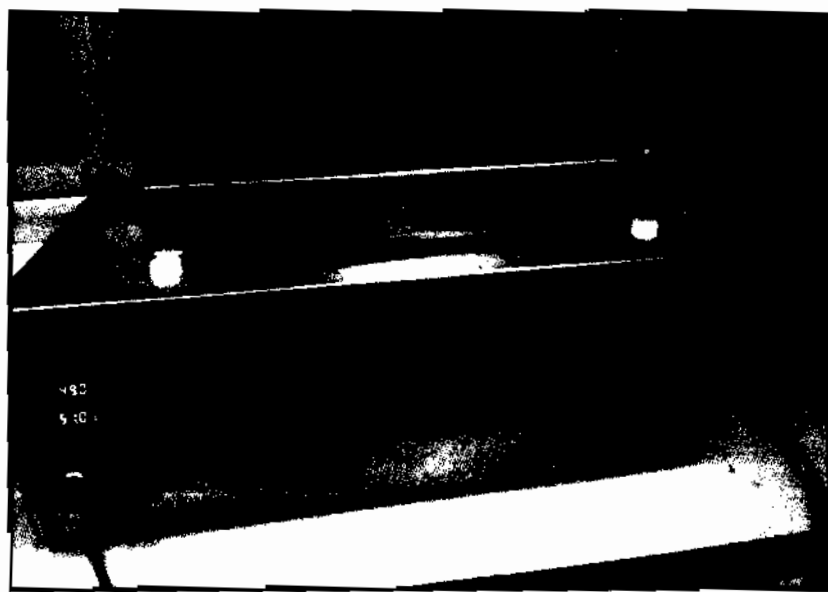
ภาพประกอบ ก.7 ซิงค์ซัลเฟต



ภาพประกอบ ก.8 คอเปเปอร์ซัลเฟต



ภาพประกอบ ก.9 เครื่องงานสาร



ภาพประกอบ ก.10 อ่างความคุณลักษณะ

ภาคผนวก ช

การคำนวณปริมาตร H_2SO_4 เมื่อใช้ไกลซีน 25g

ไกลซีน = 25 g

มวลโมเลกุลของไกลซีน = 75.07 g/mol

ความเข้มข้นของกรดซัลฟิวริก = 98%

ความสามารถในการแทรกตัว 95-97 %

มวลต่อหนึ่งมลของกรดซัลฟิวริก = 98.08 g/mol

ความหนาแน่นของกรดซัลฟิวริก = 1.84 g/cm³

จากสูตร

$$\text{mol} = \frac{\text{Mass(g)}}{\text{Molecular Mass}}$$

$$= \frac{25(\text{g})}{75.07(\text{g/mol})}$$

จะได้ไกลซีน

$$= 0.33 \text{ mol}$$

คำนวณหาอัตราส่วน 3:1 มล ของ H_2SO_4

$$\text{mol} = \frac{0.33}{3}$$

จะได้

$$\text{mol} = 0.11$$

คำนวณปริมาณ H_2SO_4 ในหน่วยกรัม

$$(0.11\text{mol}) \cdot (98.08\text{g/mol}) = 10.88 \text{ g}$$

คำนวณปริมาตร H_2SO_4 ในหน่วยมลลิลิตร

$$\frac{10.88(\text{g})}{1.84(\text{g/ml})} = 5.91 \text{ ml}$$

คำนวณค่าความเข้มข้นของ H_2SO_4

$$\frac{5.91 \text{ ml}}{0.98} = 6.03 \text{ ml}$$

คำนวณค่าขดเซย์การแทรกตัว

$$\frac{6.03(\text{ml})}{0.95} = 6.35 \text{ ml}$$

ดังนั้น จะได้ปริมาตรของ H_2SO_4 เท่ากับ 6.35 ml

การคำนวณเปอร์เซ็นต์ในการเจือสาร $ZnSO_4$ 5% mol เมื่อใช้ TGS 50 กรัม

$$TGS = 50 \text{ g}$$

$$\text{มวลโมเลกุลของ TGS} = 323.28 \text{ g/mol}$$

$$\text{มวลโมเลกุลของ } ZnSO_4 = 287.54 \text{ g/mol}$$

$$\text{จากสูตร} \quad mol = \frac{Mass(g)}{MolecularMass}$$

$$= \frac{50(g)}{323.28(g / mol)}$$

$$= 0.154 \text{ mol}$$

$$\text{คำนวณปริมาณในการเจือ } Zn \text{ 5% mol} \quad X = \frac{(5) \cdot (0.154)mol}{100}$$

$$X = 0.0077 \text{ mol}$$

คำนวณปริมาณ 5% mol ในหน่วยกรัม จะได้

$$5\% = (0.0077 \text{ mol}) \cdot (287.54 \text{ g / mol})$$

$$5\% = 2.22 \text{ g}$$

ตั้งน้ำ้ ไปร์เซ็นต์ในการเจือสาร $ZnSO_4$ 5% mol = 2.22 g

การคำนวณเปอร์เซ็นต์ในการเจือสาร CuSO_4 5% mol เมื่อใช้ TGS 50 กรัม

$$\text{TGS} = 50 \text{ g}$$

$$\text{มวลโมเลกุลของ TGS} = 323.28 \text{ g/mol}$$

$$\text{มวลโมเลกุลของ } \text{CuSO}_4 = 159.62 \text{ g/mol}$$

จากสูตร

$$mol = \frac{\text{Mass(g)}}{\text{Molecular Mass}}$$

$$= \frac{50(\text{g})}{323.28(\text{g / mol})}$$

$$= 0.154 \text{ mol}$$

คำนวณปริมาณในการเจือ Cu 5% mol

$$X = \frac{(5) \cdot (0.154 \text{ mol})}{100}$$

$$X = 0.0077 \text{ mol}$$

คำนวณปริมาณ 5% mol ในหน่วยกรัม จะได้

$$5\% = (0.0077 \text{ mol}) \cdot (159.62 \text{ g / mol})$$

$$5\% = 1.23 \text{ g}$$

ดังนั้น เปอร์เซ็นต์ในการเจือสาร CuSO_4 5% mol = 1.23 g



การคำนวณหาพื้นที่ผิวเปิดต่ออัตราการระเหยที่อุณหภูมิห้อง

จากการทดลองเบื้องต้น สามารถสร้างความสัมพันธ์ระหว่างพื้นที่ผิวเปิดต่ออัตราการระเหยที่อุณหภูมิห้อง ได้ดังนี้

จากสมการเส้นตรง

$$y = y_0(1 - e^{-\alpha x}) \quad (1)$$

จัดรูปสมการใหม่ จะได้

$$1 - \frac{y}{y_0} = e^{-\alpha x}$$

จากนั้น นำ \ln ลงในสมการที่ 2 ทั้งสองข้างจะได้

$$\ln\left(1 - \frac{y}{y_0}\right) = \ln e^{-\alpha x} \quad (2)$$

จากสมการที่ 2 จะได้

$$\ln\left(1 - \frac{y}{y_0}\right) = -\alpha x \ln e \quad (3)$$

กำหนดให้

$$y = -\alpha x \quad (4)$$

จากการทดสอบได้ความชัน

$$y = -9.425x - 0.115 \quad (5)$$

นำสมการที่ 5 แทนลงในสมการที่ 3 จะได้

$$\ln\left(1 - \frac{y}{y_0}\right) = (-9.425 - 0.115) \ln e \quad (6)$$

จากนั้น แปลงฟังก์ชันลอการิทึมเป็นฟังก์ชันเอกซ์โพเนนเชียล

$$e^{\ln\left(1 - \frac{y}{y_0}\right)} = e^{-9.425x - 0.115} \quad (7)$$

จากสมการที่ 7 จะได้

$$\left(1 - \frac{y}{y_0}\right) = e^{-9.425x - 0.115} \quad (8)$$

$$\left(1 - \frac{y}{y_0}\right) = (e^{-9.425x}) \cdot (e^{0.115}) \quad (9)$$

เมื่อ $e^{0.115}$ เท่ากับ 0.891 จะได้ $(1 - \frac{y}{y_0}) = 0.891 \cdot (e^{-9.425x})$ (10)

จัดรูปสมการใหม่ จะได้ $y = ((1 - 0.891) \cdot e^{-9.425x}) y_0$ (11)

เมื่อ y_0 คือ อัตราการระเหยพื้นที่ผิวเปิด $10\% = 0.66$ จะได้

$$y = ((1 - 0.891) \cdot e^{-9.425(\frac{A_{oper}}{A_{beaker}})}) \cdot 0.66 \quad (12)$$

ดังนั้น สมการความสัมพันธ์พื้นที่ผิวเปิดต่ออัตราการระเหย คือ $y = y_0(1 - Ke^{-\alpha \frac{A}{A_0}})$ (13)

โดยที่ A_{oper} (A) คือ ขนาดพื้นที่ผิวเปิด

A_{beaker} (A_0) คือ ขนาดพื้นที่ผิวของสารละลายน้ำ



ประวัติย่อผู้ที่มาโครงการ



ประวัติย่อผู้ทำโครงการ

ชื่อ นามสกุล	นางสาวศิริพร พิมพ์ใสดา
วัน เดือน ปีเกิด	วันที่ 5 เมษายน 2534
จังหวัด และประเภทที่เกิด	อำเภอนาแก้ว จังหวัดหนองบัวลำภู
ประวัติการศึกษา	พ.ศ. 2549 สำเร็จการศึกษาระดับมัธยมศึกษาปีที่ 3 จากโรงเรียนคำแสณวิทยาสรรค์ อำเภอนาแก้ว จังหวัดหนองบัวลำภู พ.ศ. 2552 สำเร็จการศึกษาระดับมัธยมศึกษาปีที่ 6 จากโรงเรียนคำแสณวิทยาสรรค์ อำเภอนาแก้ว จังหวัดหนองบัวลำภู พ.ศ. 2557 สำเร็จการศึกษาระดับปริญญาตรีวิทยาศาสตรบัณฑิต ^(วท.บ.) สาขาวิชารัฐศาสตร์ มหาวิทยาลัยมหาสารคาม
ที่อยู่ที่สามารถติดต่อได้	บ้านเลขที่ 65 หมู่ที่ 18 ตำบลส่องแสง อำเภอนาแก้ว จังหวัดหนองบัวลำภู 39170
เบอร์โทรศัพท์	088-3037231
E-mail	som-13974@hotmail.com



ประวัติย่อผู้ทำโครงการ



ชื่อ นามสกุล	นางสาวสาลินี สันวัง
วัน เดือน ปีเกิด	วันที่ 1 กุมภาพันธ์ 2535
จังหวัด และประเภทที่เกิด	อำเภอรัตนบุรี จังหวัดสุรินทร์
ประวัติการศึกษา	พ.ศ. 2549 สำเร็จการศึกษาระดับมัธยมศึกษาปีที่ 3 จากโรงเรียนรัตนบุรี อำเภอรัตนบุรี จังหวัดสุรินทร์ พ.ศ. 2552 สำเร็จการศึกษาระดับมัธยมศึกษาปีที่ จากโรงเรียนรัตนบุรี อำเภอรัตนบุรี จังหวัดสุรินทร์ พ.ศ. 2557 สำเร็จการศึกษาระดับปริญญาตรีวิทยาศาสตรบัณฑิต (วท.บ.) สาขาวิชสิ่งแวดล้อมมหาวิทยาลัยมหาสารคาม
ที่อยู่ที่สามารถติดต่อได้	บ้านเลขที่ 159/1 หมู่ที่ 14 ตำบลสเปต อำเภอรัตนบุรี จังหวัดสุรินทร์ 32130
เบอร์โทรศัพท์	044-144195, 087-8639316
E-mail	mini_nub@hotmail.com